



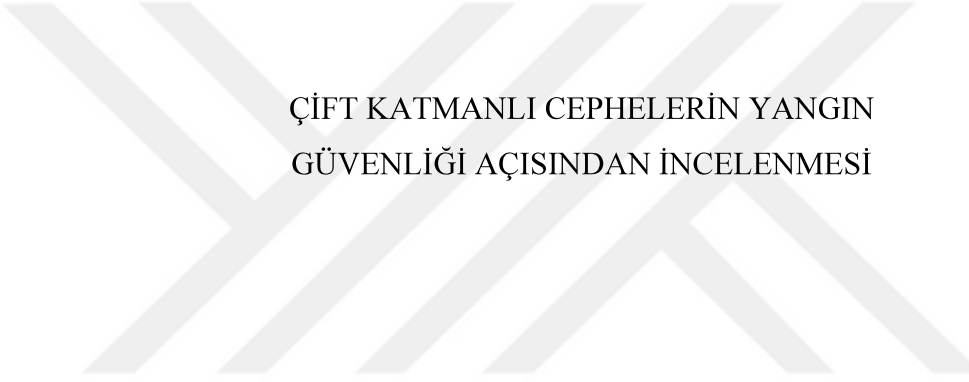
**ÇİFT KATMANLI CEPHELERİN YANGIN  
GÜVENLİĞİ AÇISINDAN İNCELEMESİ**

**EYLEM EZGİ AŞLAR**

**Eylül 2021**

ÇANKAYA ÜNİVERSİTESİ  
FEN BİLİMLERİ ENSTİTÜSÜ  
MİMARLIK ANA BİLİM DALI

YÜKSEK LİSANS TEZİ



ÇİFT KATMANLI CEPHELERİN YANGIN  
GÜVENLİĞİ AÇISINDAN İNCELENMESİ

EYLEM EZGİ AŞLAR

Eylül 2021

## ÖZET

### ÇİFT KATMANLI CEPHELERİN YANGINGÜVENLİĞİ AÇISINDAN İNCELEMESİ

AŞLAR, Eylem Ezgi

Fen Bilimleri Enstitüsü, Mimarlık Bölümü

Tez Danışmanı: Doç. Dr. Gülsu ULUKAVAK HARPİTLUGİL

Eylül 2021, 134 sayfa

**Anahtar Kelimeler:** Çift Katmanlı Cephelerde Yangın, Yangın Yayılımı, Yangın Güvenliği, Yangın Simülasyonu, Pyrosim,

Yapılı çevrede insan sağlığı, konforu ve güvenliği öncelikli öneme sahiptir. Güvenlik önlemleri içerisinde en önemli risklerin başında yangın riski gelmektedir. Bu nedenle yangın riski, yayılımı ve güvenliği konusu yapı tasarım aşamasından itibaren dikkat edilmesi gereken başlıca konular arasında yer alan kriterlerden biri olarak kabul edilir.

Bu çalışma kapsamında 3 boyutlu olarak tasarlanan aynı kat yüksekliğine, farklı plan ve cephe türüne sahip yapı modellerinin yangın simülasyon programında analiz edilmiştir. Elde edilen veriler üzerinden cephe ve plan tiplerine göre yangın anında ortaya çıkan duman ve alev yayılım sonuçları tablolar halinde sunulmuştur.

Elde edilen veriler sonucunda bu konu üzerinde ülkemizde daha detaylı çalışmalar yapılması gereği, yapının karar aşamasından uygulama aşamasına kadar simülasyonların dikkate alınarak projelendirme yapılması gereği ve yönetmeliklerin gerek tasarım gerek uygulama aşamasında iyi bir kılavuz olması adına geliştirilmesi gereği değerlendirilmektedir.

## **ABSTRACT**

### **FIRE SAFETY EXAMINATION OF DOUBLE SKIN FACADES**

AŞLAR, Eylem Ezgi

M.S.c., Department of Architecture

Supervisor: Doç. Dr. Gülsu ULUKAVAK HAPUTLUGİL

September 2021, 134 pages

**Keywords:** Fire on double skin facades, Fire spread, Fire Security, Fire Simulation, Pyrosim,

Human health, comfort and safety are of primary importance in the built environment. Fire risk is one of the most important one among security measures. For this reason, the issue of fire risk, spread and safety are considered as one of the criteria that should be considered from the building design stage.

Within the scope of this study, building models with the same floor height, different plan and facade types designed in 3D were analyzed in the fire simulation program. The results of the smoke and flame spread during the fire are presented in tables according to the facade and plan types based on the data obtained.

As a result of the data obtained, it is evaluated that more detailed studies should be carried out in our country on this subject, that the project should be designed by considering the simulations from the decision stage to the implementation stage, and that the regulations should be developed in order to be a good guide in both the design and implementation stages.

## **TEŞEKKÜR**

Yüksek lisans eğitimim süresince çalışmalarımda desteğini bana gösteren danışmanım Doç. Dr. Gülsu ULUKAVAK HARPUTLUGİL'e Tez içeriğimin gelişimi sürecinde fikirlerine danıştığım Dr. Evser CİVELEK'e, yüksek lisans eğitimime başlamam için destekleyen Yüksek Mimar Sevilay ZAMUR KOÇAK'a, şu anda bulduğum yere gelmem için maddi ve manevi desteğini gösteren babam Şahabettin AŞLAR'a, annem Ayşe AŞLAR'a ve aileme tüm kalbimle teşekkür ve minnetlerimi sunarım.

Eylem Ezgi AŞLAR



## **İÇİNDEKİLER**

|   |      |
|---|------|
| <b>ÖZET.....</b>  | iv   |
| <b>ABSTRACT .....</b>   | v    |
| <b>TEŞEKKÜR .....</b>   | vi   |
| <b>İÇİNDEKİLER .....</b>  | viii |
| <b>TABLOLAR .....</b>   | x    |
| <b>ŞEKİLLER .....</b>   | xii  |
| <b>SİMGELER VE KISALTMALAR .....</b>  | xv   |
| <b>BİRİNCİ BÖLÜM.....</b>   | 1    |
| <b>1. GİRİŞ .....</b>   | 1    |
| <b>İKİNCİ BÖLÜM.....</b>  | 4    |
| <b>2.LİTERATÜR TARAMASI VE İLGİLİ KAVRAMLAR.....</b>                                      | 4    |
| <b>2.1. LİTERATÜR ÖZETİ.....</b>  | 4    |
| <b>2.2 YANGIN İLE İLGİLİ KAVRAMLAR.....</b>   | 6    |
| 2.2.1 Tanimlar, Kavramlar, Büyüklükler.....   | 6    |
| 2.2.2 Yangın Yayılmı Yolları .....  | 8    |
| 2.2.3 Yangın Tipi (dahili, harici) .....  | 9    |
| 2.2.4 Yangın Ürünleri (ısı, duman, gaz, alev).....  | 10   |
| 2.2.5 Yangın Güvenlik Önlemleri (aktif güvenlik önlemleri, pasif güvenlik önlemleri)..... | 10   |
| <b>2.3 AKILLI CEPHE İLE İLGİLİ KAVRAMLAR.....</b>   | 10   |
| 2.3.1 Tek Katmanlı Cephe .....  | 11   |
| 2.3.1.1 Basit Cepheler .....  | 12   |
| 2.3.1.2 Giydirme Cepheler .....   | 12   |
| 2.3.2 Çift Katmanlı Cephe .....   | 13   |
| 2.3.3 Kombine Cephe .....   | 22   |
| 2.3.4 Cephe Örnekleri.....  | 23   |
| <b>2.4 CEPHE TÜRLERİ VE YANGIN ÖRNEKLERİ.....</b>   | 23   |
| 2.4.1 Tek Katmanlı Cephe ve Yangın.....   | 23   |
| 2.4.2 Çift Katmanlı Cephe ve Yangın.....  | 25   |

|   |            |
|---|------------|
| 2.4.3 Cephe Yangın Örnekleri .....                            | 26         |
| <b>2.5 TASARIM SÜRECİNDE YANGIN YÖNETMELİĞİ VE CEPHELER .</b> | <b>28</b>  |
| 2.5.1 Yangın Yönetmeliği Değerlendirme.....                   | 31         |
| <b>ÜÇÜNCÜ BÖLÜM .....</b>                                     | <b>33</b>  |
| <b>3. METERYAL VE METOD .....</b>                             | <b>33</b>  |
| <b>3.1 Modelin Tanımlanması.....</b>                          | <b>35</b>  |
| <b>3.2 Bilgisayar Ortamında Modelin Oluşturulması.....</b>    | <b>49</b>  |
| 3.2.1 A Tipi Senaryoların Bilgisayar Modellemesi .....        | 50         |
| 3.2.2 B Tipi Senaryoların Bilgisayar Modellemesi .....        | 52         |
| <b>DÖRDÜNCÜ BÖLÜM .....</b>                                   | <b>55</b>  |
| <b>4. BULGULAR VE HİPOTEZİN SINANMASI.....</b>                | <b>55</b>  |
| <b>BEŞİNİ BÖLÜM .....</b>                                     | <b>90</b>  |
| <b>5. SONUÇ VE ÖNERİLER.....</b>                              | <b>90</b>  |
| <b>KAYNAKLAR .....</b>  | <b>95</b>  |
| <b>EKLER.....</b>   | <b>101</b> |
| <b>Ek-1 .....</b>   | <b>101</b> |
| <b>Ek-2 .....</b>   | <b>107</b> |
| <b>ÖZGEÇMIŞ.....</b>  | <b>117</b> |

## TABLOLAR

|   |     |
|---|-----|
| Tablo 2.1: Akıllı cephelerin sınıflandırılması [20] .....   | 11  |
| Tablo 2.2: Çift katmanlı cephe türleri [28] .....   | 14  |
| Tablo 2.3: Cephe örnekleri.....   | 23  |
| Tablo 3. 1: Çalışma için oluşturulan yapı tipleri ve özellikleri_____                             | 36  |
| Tablo 5.1: Oluşturulan senaryolardan elde edilen sayısal bulguların karşılaştırmalı tablosu _____ | 85  |
| Tablo 5.2: Belirlenen ortak saniyelerde elde edilen HRR ve sıcaklık değerleri .....               | 86  |
| Tablo 5.3: A4, A4', B4 ve B4' senaryoları karşılaştırma tablosu .....                             | 86  |
| Tablo 5.4: Belirlenen ortak saniyelerde duman yayılım hareketi .....                              | 88  |
| Tablo ek 1.1: Metrocity konut, ofis ve AVM kompleksi_____   | 101 |
| Tablo ek 1.2: BMW genel merkez binası.....  | 101 |
| Tablo ek 1. 3: İstinye park alışveriş merkezi .....   | 102 |
| Tablo ek 1.4: Raif dinçkök kültür merkezi .....   | 102 |
| Tablo ek 1.5: Fiat lingotto fabrika binası .....  | 102 |
| Tablo ek 1.6: Hongkong & shangai bankası .....  | 103 |
| Tablo ek 1.7: İstanbul avrupa yakası adalet sarayı .....  | 103 |
| Tablo ek 1.8: Lloyds binası.....  | 103 |
| Tablo ek 1.9: MATPUM binası .....   | 104 |
| Tablo ek 1.10: Commerzbank binası .....   | 104 |
| Tablo ek 1.11: Arag binası.....   | 104 |
| Tablo ek 1.12: BRE yapı araştırma merkezi .....   | 105 |
| Tablo ek 1.13: Maslak acıbadem hastanesi.....   | 105 |
| Tablo ek 1.14: Agbar Tower .....  | 105 |
| Tablo ek 1.15: Ataköy a plus alışveriş merkezi .....  | 106 |
| Tablo ek 1.16: Reichstag Almanya parlamento binası.....   | 106 |
| Tablo ek 1.17: Doğan medya merkezi .....  | 106 |

## RESİMLER

|   |     |
|---|-----|
| Resim 2.1: Perde panelli cephe [22] .....   | 22  |
| Resim 2.2: Alternatif cephe [22] .....  | 23  |
| Resim 2.20: Apartment Building. Yanıcı cephe kaplamasının çöp varilinden alevi alması sonucu cephe yanını oluşmuştur [35] ..... | 25  |
| Resim ek 1.1: Metrocity konut, ofis ve AVM kompleksi [43] .....   | 101 |
| Resim ek 1.2: BMW genel merkez binası [44]  | 101 |
| Resim ek 1.3: İstinye park alışveriş merkezi [45]   | 102 |
| Resim ek 1.4: Raif dinçkök kültür merkezi [46]  | 102 |
| Resim ek 1.5: Fiat lingotto fabrika binası [47]   | 102 |
| Resim ek 1.6: Hongkong & shangai bankası [48]   | 103 |
| Resim ek 1.7: İstanbul avrupa yakası adalet sarayı [49]   | 103 |
| Resim ek 1.8: Lloyds binası [50]  | 103 |
| Resim ek 1.9: MATPUM binası [51]  | 104 |
| Resim ek 1.10: Commerzbank binası [52]  | 104 |
| Resim ek 1.11: Arag binası [53]   | 104 |
| Resim ek 1.12: BRE yapı araştırma merkezi [54]  | 105 |
| Resim ek 1.13: Maslak acıbadem hastanesi [55]   | 105 |
| Resim ek 1.14: Agbar tower [56]   | 105 |
| Resim ek 1.15: Ataköy a plus alışveriş merkezi [57]   | 106 |
| Resim ek 1.16: Reichstag Almanya parlamento binası [58]   | 106 |
| Resim ek 1.17: Doğan medya merkezi [59]   | 106 |

## **ŞEKİLLER**

|   |    |
|---|----|
| Şekil 1 1: Tez akış şeması .....  | 3  |
| Şekil 2. 1 Yangın üçgeni [13] .....   | 7  |
| Şekil 2.2 Yangın gelişim eğrisi [15] .....  | 8  |
| Şekil 2.3: Cephelerde yangın yayılım biçimleri [17] .....                                   | 9  |
| Şekil 2.4: Tek tabakalı cephe tipleri [20] .....  | 12 |
| Şekil 2.5: Cephe bölümleme türüne göre çift katmanlı cephe [29] .....                       | 14 |
| Şekil 2.6: Kutu tipi cephe şematik gösterimi .....  | 15 |
| Şekil 2.7: Kutu tipi cephe [32] .....   | 15 |
| Şekil 2.8: Şaft tipi cephe şematik gösterimi .....  | 17 |
| Şekil 2.9: Şaft tipi cephe [32] .....   | 17 |
| Şekil 2.10: Koridor tipi cephe şematik gösterimi .....                                      | 19 |
| Şekil 2.11: Şaft tipi cephe [32] .....  | 19 |
| Şekil 2.12: Cephe boyunca tipi cephe şematik gösterimi .....                                | 21 |
| Şekil 2.13: Cephe boyunca tipi cephe [32] .....   | 21 |
| Şekil 2.14: Tek katmanlı cephe alev yayılımı [33] .....                                     | 24 |
| Şekil 2.15: Çift katmanlı cephe alev yayılımı [34] .....                                    | 25 |
| Şekil 2.16: Cephede spandrel yüksekliği [16]. .....   | 29 |
| Şekil 2.17: Pencere ve benzeri boşluklarının yan kenarlar mesafeleri .....                  | 29 |
| Şekil 2.18: Döşeme ve cephe birleşim noktası [17] .....                                     | 30 |
| Şekil 3 1: Modelleme akış şeması .....  | 35 |
| Şekil 3. 2: A1 ve B1 yapı dış görünüşü .....  | 36 |
| Şekil 3. 3: A2 ve B2 yapı dış görünüşü .....  | 37 |
| Şekil 3. 4: A3 ve B3 yapı dış görünüşü .....  | 37 |
| Şekil 3. 5: A4 ve B4 yapı dış görünüşü .....  | 38 |
| Şekil 3. 6: Açık planda şaft tipi cepheye sahip yapı .....                                  | 39 |
| Şekil 3. 7: Bölme duvarlı planda şaft tipi cepheye sahip yapı .....                         | 39 |
| Şekil 3. 8: Açık planda şaft tipi cepheye sahip yapıda temsili thermocouple gösterimi ..... | 40 |

|   |    |
|---|----|
| Şekil 3. 9: Bölme duvarlı planda şaft tipi cepheye sahip yapıda temsili thermocouple gösterimi..... | 41 |
| Şekil 3. 10: A1 modeli plan, kesit ve görünüşü .....  | 42 |
| Şekil 3. 11: A2 modeli plan, kesit ve görünüşü .....  | 43 |
| Şekil 3. 12: A3 modeli plan, kesit ve görünüşü .....  | 44 |
| Şekil 3. 13: A4 modeli plan, kesit ve görünüşü .....  | 45 |
| Şekil 3. 14: B1 modeli plan, kesit ve görünüşü .....  | 46 |
| Şekil 3. 15: B2 modeli plan, kesit ve görünüşü .....  | 47 |
| Şekil 3. 16: B3 modeli plan, kesit ve görünüşü .....  | 48 |
| Şekil 3. 17: B4 modeli plan, kesit ve görünüşü .....  | 49 |
| Şekil 3. 18: A1 Modeli .....  | 50 |
| Şekil 3. 19: A2 Modeli .....  | 51 |
| Şekil 3. 20: A3 Modeli .....  | 51 |
| Şekil 3. 21: A4 Modeli .....  | 52 |
| Şekil 3. 22: B1 Modeli .....  | 52 |
| Şekil 3. 23: B2 Modeli .....  | 53 |
| Şekil 3. 24: B3 Modeli .....  | 53 |
| Şekil 3. 25: B4 Modeli .....  | 54 |
| Şekil 5.1: A1 senaryosu duman yayılımı .....  | 56 |
| Şekil 5.2: A1 senaryosu sıcaklık yayılımı.....  | 57 |
| Şekil 5.3: A1 simülasyonu HRR-zaman ve sıcaklık-zaman grafiği.....                                  | 58 |
| Şekil 5.4: A2 senaryosu duman yayılımı .....  | 59 |
| Şekil 5.5: A2 senaryosu sıcaklık yayılımı.....  | 60 |
| Şekil 5.6: A2 simülasyonu HRR-zaman ve sıcaklık-zaman grafiği.....                                  | 61 |
| Şekil 5.7: A3 senaryosu duman yayılımı .....  | 62 |
| Şekil 5.8: A3 senaryosu sıcaklık yayılımı.....  | 63 |
| Şekil 5.9: A3 simülasyonu HRR-zaman ve sıcaklık-zaman grafiği.....                                  | 64 |
| Şekil 5.10: A4 senaryosu duman yayılımı .....   | 65 |
| Şekil 5.11: A4 senaryosu sıcaklık yayılımı.....   | 66 |
| Şekil 5.12: A4 simülasyonu HRR-zaman ve sıcaklık-zaman grafiği.....                                 | 67 |

|   |    |
|---|----|
| Şekil 5.13: A4' senaryosu duman yayılımı.....                         | 68 |
| Şekil 5.14: A4' senaryosu sıcaklık yayılımı .....                     | 69 |
| Şekil 5.15: A4' simülasyonu HRR-zaman ve sıcaklık-zaman grafiği ..... | 70 |
| Şekil 5.16: B1 senaryosu duman yayılımı .....                         | 71 |
| Şekil 5.17: B1 senaryosu sıcaklık yayılımı .....                      | 72 |
| Şekil 5.18: B1 simülasyonu HRR-zaman ve sıcaklık-zaman grafiği.....   | 73 |
| Şekil 5.19: B2 senaryosu duman yayılımı .....                         | 74 |
| Şekil 5.20: B2 senaryosu sıcaklık yayılımı .....                      | 75 |
| Şekil 5.21: B2 simülasyonu HRR-zaman ve sıcaklık-zaman grafiği.....   | 76 |
| Şekil 5.22: B3 senaryosu duman yayılımı .....                         | 77 |
| Şekil 5.23: B3 senaryosu sıcaklık yayılımı .....                      | 78 |
| Şekil 5.24: B3 simülasyonu HRR-zaman ve sıcaklık-zaman grafiği.....   | 79 |
| Şekil 5.25: B4 senaryosu duman yayılımı .....                         | 80 |
| Şekil 5.26: B4 senaryosu sıcaklık yayılımı .....                      | 80 |
| Şekil 5.27: B4 simülasyonu HRR-zaman ve sıcaklık-zaman grafiği.....   | 81 |
| Şekil 5.28: B4' senaryosu duman yayılımı.....                         | 82 |
| Şekil 5.29: B4' senaryosu sıcaklık yayılımı .....                     | 83 |
| Şekil 5.30: B4' simülasyonu HRR-zaman ve sıcaklık-zaman grafiği ..... | 84 |

## **SİMGELER VE KISALTMALAR**

**NFPA:** National Fire Protection Association

**CFD:** Computational Fluid Dynamics

**HRR:** Heat Release Rate

**ISO:** International Organization for Standardization

**W:** Watt





## BİRİNCİ BÖLÜM

### 1. GİRİŞ

Yapılı çevrede insan sağlığı, konforu ve güvenliği öncelikli öneme sahiptir. Özellikle güvenlik önlemleri içerisinde, tasarımın ilk aşamalarından itibaren ele alınması gereken en önemli risk yanın riskidir. Yangınlar ortaya çıkardığı maddi ve manevi zararlar bakımından büyük risk teşkil etmektedir. Bu nedenle yanının oluşmasına ve oluşan yanının yayılmasına neden olacak her türlü riskin minimuma indirilmesi ve oluşabilecek yanın anında güvenliğin sağlanabilmesi için bazı önlemlerin alınması gerekmektedir. Oluşan yanının yayılmasında kullanılan yapı malzemelerinin ve elemanlarının rolünün büyük olduğu unutulmamalıdır.

İç ve dış ortam arasında ayırcı eleman görevi üstlenen cepheler, alevlerin ve dumanın yayılımı bakımından yanın anında kritik bir rol oynamaktadır. Bu nedenle cephelerde meydana gelen veya cepheye sirayet etmiş yanınların ve yanın riskinin göz ardı edilmeden üzerinde durulması gereken bir konu olduğu bilinmelidir. Yanın durumuna karşı alınan önlemler yerleşim ölçüğinden yapı bileşeni ölçüğine kadar, projelerin tasarım aşamasında, malzeme seçiminde ve uygulama detaylarında en önemli parametre olarak görülmelidir. Yanın anında ortaya çıkan alev ve dumanın maddi ve manevi kayıplara neden olmaması açısından yanının çabuk müdahale ile kontrol altına alınması gerektiği unutulmamalıdır. Binadan tahliyenin kontrollü bir biçimde sağlanması, olayın gerekli yerlere haber verilmesinin, dumanın ve alevin kontrol altına alınmasının başarılı bir biçimde gerçekleşmesi gerekmektedir.

Son yıllarda gelişen teknoloji ve enerji verimli bina anlayışının da etkisi ile her geçen gün yapılı çevrede daha çok görülen çift katmanlı cepheye sahip yapıların, yanın anında ortaya çıkardığı alev ve duman yayılımı incelenmesi gereken bir konu haline gelmiştir. Bugüne dek pek çok araştırmacı yaptığı çalışmalarda bu konunun önemini vurgulamış ve bu konu üzerinde çalışmalar yürütmüştür.

Bu çalışma ile sayıları her geçen gün artan çift katmanlı cepheye sahip yapıların yanın anında ortaya çıkardığı alev ve duman yayılımı analiz edilmek istenmiştir. Bu

konu üzerinde durulmasının nedeni kılavuz olarak kullanılan yönetmeliğin tasarımcılara yol gösterme konusunda eksik kaldığının düşünülmESİdir. Bu nedenle tasarımcıya kılavuzluk edecek kaynak eksikliğinin giderilmesi konusunda kaynak ihtiyacı doğmuştur.

Gelişen teknolojiyle birlikte binaların yapım aşamasından önce afetlere karşı önlemler alınabilmesi adına dünya çapında tasarım aşamasından itibaren simülasyon programlarından ve model prototiplerinden yararlanılmaktadır. Simülasyonlar sonucunda afetler anında binanın göstereceği performansın görülmesinin yanı sıra, yapının kritik noktaları ve dikkat edilmesi gereken yerleri de belirlenebilmektedir. Bu simülasyonlar ve prototipler sayesinde afetler yaşanmadan önce birtakım önlemler alınabilmekte ve felaketlerin önüne geçilmektedir.

Bu çalışmada aynı kat yüksekliğine sahip açık planlı ve bölme duvarlı plana sahip iki yapının cephesinde çift katmanlı cephelerin hava koridorunun bölünme şekline göre sınıflandırıldığı; kutu, şaft, koridor ve cephe boyunca bırakılan boşluk tiplerinin bir yanın anında ortaya çıkan alev ve dumanın yayılımında ne gibi etkileri olduğunun belirlenmesi için 8 yanın senaryosu kurgulanmıştır. Simülasyonlar sonucunda elde edilen sonuçların grafik ve tablolar ile açıklanarak tasarımcı ve araştırmacılara yardımcı olabilecek bir kaynak edinilmesi amaçlanmıştır.

Tez çalışmasının bölüm içeriği aşağıda sunulmaktadır;

Birinci bölümde, yapılarda ortaya çıkan yanıklarda cephelerin önemi incelenmiş ve yanın güvenlik önlemlerinin öneminden bahsedilmiştir. Yapı cephesinin, tasarım sürecinin en başından yapının sonlanma aşamasına kadar yanın güvenlik önemi göz ardı edilmeksizin tamamlanması gerektiği belirtilmiştir. Araştıranın amacı, önemi ve sınırlılıklar belirtilmiştir.

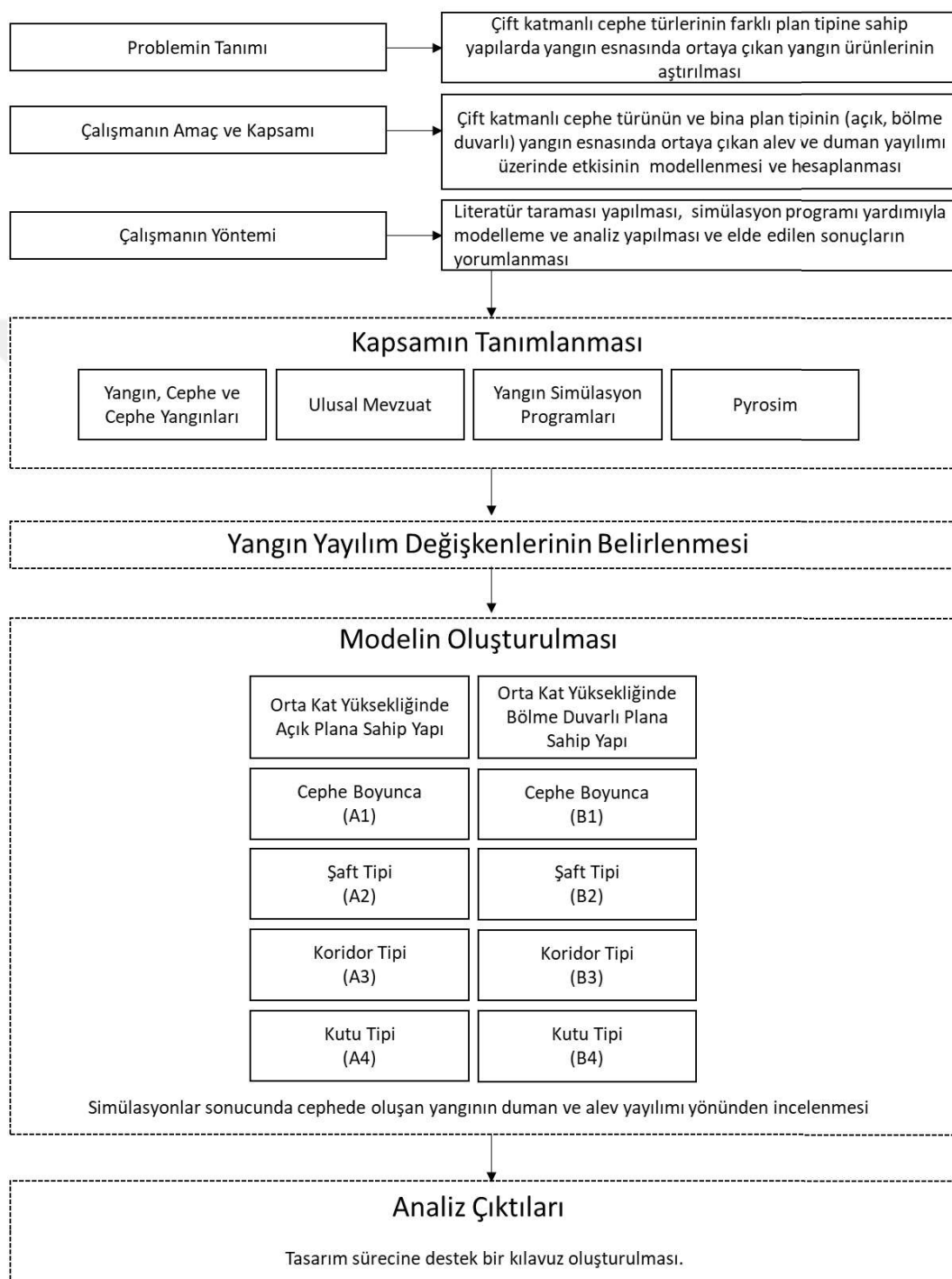
İkinci bölümde, literatür taraması yapılmış ve bu konu kapsamında daha önce yapılan çalışmalar incelenmiştir. Konunun açıklayıcı olabilmesi için yanın kavramı, cephe türleri ve cephelerde meydana gelen yanın örnekleri ile birlikte ülkemizde yürürlükte olan yanın yönetmeliği bazı kavramlar üzerinden ele alınmıştır.

Üçüncü bölümde, yanın senaryosu için kullanılacak olan modellerin tanımlaması yapılmış olup, bilgisayarda oluşturulan modeller ve model tipleri belirtilmiştir.

Dördüncü bölümde, yanın senaryoları sonucu elde edilen veriler incelenmiş ve yorumlanmıştır.

Beşinci bölümde, elde edilen tüm veriler değerlendirilmiş, tasarımcı, uygulayıcı ve araştırmacılara kılavuzluk edecek bilgiler özetlenmiştir. Ayrıca gelecek araştırmalara yön verecek önerilerde bulunulmuştur.

### TEZ AKIŞ ŞEMASI



Şekil 1 1: Tez akış şeması

## **İKİNCİ BÖLÜM**

### **2.LİTERATÜR TARAMASI VE İLGİLİ KAVRAMLAR**

Literatüre bakıldığından çift katmanlı cephelelere sahip yapılarda ortaya çıkabilecek yangınlar üzerine çok sayıda araştırma yapılmış olduğu görülmektedir. Bu araştırmalar içerisinde konu ile ilgili öne çıkan çalışmalar literatür özeti olarak sunulmaktadır. Bu konu ile ilgili literatür taramaları haricinde, yangın simülasyonu ve kısmi gerçekçi model oluşturup bu model üzerinde ortaya çıkan yangın konusunda inceleme yapan araştırmacıların çalışmalarına da yer verilmiştir. Ayrıca bu bölümde cephe sistemleri, yangın ile ilgili temel kavramlar ve ülkemizde yürürlükte olan yönetmelikte bu kavramların nasıl ele alındığı da aktarılmaktadır.

#### **2.1. LİTERATÜR ÖZETİ**

Çift katmanlı cephe üzerinde meydana gelen yangını yüksek yapılar üzerinde inceleyen Arpacıoğlu [1], yaptığı çalışmada İstanbul'da bulunan yüksek yapılarda yangın etkisini, yangın güvenliği gelişimini açıklamış ve yapıların durumunu değerlendirmiştir. Bu çalışmayı yaparken National Fire Protection Association (NFPA) tarafından yayınlanan yangın istatistiklerini ve yüksek yapılarda meydana gelen yangın örneklerini İstanbul'da bulunan örnekler üzerinden değerlendirmiştir.

Çift katmanlı cephe üzerinde meydana gelen yangını oluşturduğu prototip üzerinden inceleyen Ding, W. ve diğerleri [2], çift cidara sahip yapılarda yangın esnasında iki kabuk arasında bulunan boşluğa çıkan dumanın incelmesini binanın prototipinden yararlanarak yapmıştır. Dumanın yayılmasını engellemek için odadaki duman basıncı ve boşluktaki duman basıncı arasındaki ilişkiyi incelemiştir ve uygun şartlar sağlanırsa duman yayılımının engellenebileceği sonucuna ulaşmıştır.

Cephe türleri ve bunların sınıflandırılması üzerine çalışan Ayçam [3], ofis yapılarında kullanılan cephe katmanlarını; tek katmanlı, çift katmanlı, akıllı ve enerji

üreten cepheler olarak sınıflandırılmıştır. Bu cepheleri avantajları ve dezavantajlarıyla birlikte incelemiştir.

Çift katmanlı cephe üzerinde meydana gelen yangını hem prototip hem de yanın simülasyon programı ile inceleyen Chowl [4], çift katmanlı cephelerde iki kabuk arasındaki mesafenin değişmesi ile yanın sırasında ortaya çıkan alev yayılımı arasındaki ilişkiyi incelemiştir. Bu ilişkiyi incelemek için 15 m yüksekliğinde bir model yapılmış ve testlerin doğruluğu aynı zamanda çift katmanlı cephe analiz programı ile de onaylanmıştır.

Çift katmanlı cephe üzerinde meydana gelen yanını yanın simülasyon programı kullanarak yapan Babilolyaei [5], çift kabuğa sahip yapılarda yanın sonucunda ortaya çıkan dumanın iki kabuk arasındaki yayılmasını genişlik, havalandırma koşulu, rüzgâr gibi etkenler üzerinden incelemiştir. İnceleme için CFD tabanlı Pyrosim programını kullanmıştır.

Çift katmanlı cephe üzerinde meydana gelen yanını, yanın simülasyon programı kullanarak özelleştirilmiş cephe türünde inceleyen Wang ve diğerleri [6], çift katmanlı cepheye sahip bir yapı modelinde şaft ve kutu tiplerinin birleşiminden oluşan bir cephe modellemiş ve yanın sonucu ortaya çıkan dumanın yayılmasını incelemiştir. Şafta yayılan dumanın en çok hangi katta bulunan daireye zarar verdiği sonucuna ulaşmıştır.

Cephe yanını konusunu ulusal ve uluslararası mevzuatlar üzerinden yaptığı çalışmalar ile ortaya koyan Yaman [7], cephede oluşabilecek yanına karşı ulusal ve uluslararası yanın mevzuatlarını; cephede kullanılan malzeme, yatay yanın bariyeri, cephe açıklığı, binaların arasında bulunan mesafe, dış duvarların dayanım süresi ve otomatik söndürme sistemleri üzerinden incelemiştir. Ulusal yanın mevzuatı diğer ülkelerin yanın güvenlik önlemleriyle birlikte karşılaştırmalı olarak analiz edilmiştir.

Çift katmanlı cephe üzerinde meydana gelen yanını yanın simülasyon programı kullanarak inceleyen Karakoyun [8], farklı özelliklere sahip güneş kontrol sistemlerinde, farklı boyutlardaki açıklıklar kullanıldığından yanın yanında oluşan alev ve duman hareketlerini incelemiştir. İnceleme için CFD tabanlı Pyrosim programını kullanmıştır.

Giraldo, P. ve diğerleri [9], yaptığı çalışmada cephenin havalandırma şecline göre bölümlenmesinden meydana gelen havalandırma boşluğu ve yanının yayılımı üzerine inceleme yapmışlardır. Bu çalışmayı yaparken yanın yayılımının önlemesi

icin İspanyol bina yönetmeliğini gözden geçirilmişler ve çalışma esnasında matematiksel entegrasyon modellerini sayısal olarak çözmek için Fire Dynamics Simulator (FDS) yazılımı kullanılmıştır.

Yakovchuk, R. Ve diğerleri [10] ısı yalıtılm sistemini yapıcı çözümüne ve ısı yalıtılm malzemesinin türüne bağlı olarak dış duvar konstrüksiyonlarının yanın tehlikesi ile karşı karşıya kaldığı zaman ne gibi sonuçlar ile karşılaşılabiligine dair çalışmalar yürütmüştür. Bu çalışmayı yürütürken yanının bilgisayar simülasyonu için “Yangın Dinamiği Simülatörü” (FDS) yazılımı kullanılmış ve aynı zamanda 1/1 ölçekli bir model üzerinde yanın testi yapılmıştır ve elde edilen sonuçlar karşılaştırılmıştır.

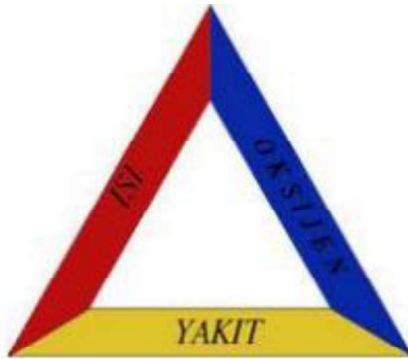
Dréan, V. Ve diğerleri [11] dış cephede kullanılan farklı alüminyum kompozit malzemeler üzerinden yanın yayılım konusunu incelemiştir. Bu çalışma yürütürken hem simülasyon programından yararlanılmış hem gerçekçi bir model oluşturulmuştur. Kaplama ve yalıtkanın katkıları sayısal olarak incelenmiş ve her bir bileşenin ve tüm sistemin yanın davranışını, deneylerle karşılaştırılarak doğrulanmıştır.

## 2.2 YANGIN İLE İLGİLİ KAVRAMLAR

Tasarlanarak oluşturulacak olan yanının analizinin yapılabilmesi için ilk olarak yanın kavramının bilinmesi gerekmektedir. Yanın, performansa dayalı yanın güvenliğinin temel aşamalarından biri olarak karşımıza çıkmaktadır.

### 2.2.1 Tanımlar, Kavramlar, Büyüklükler

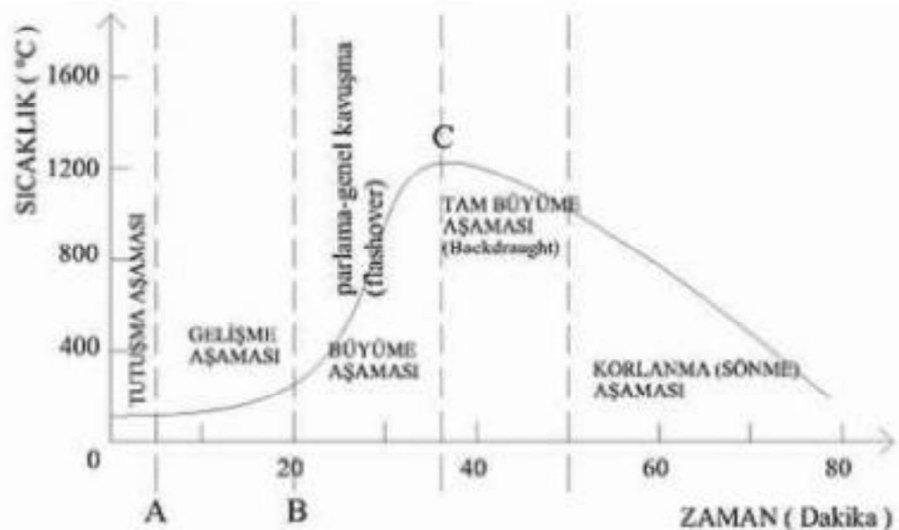
Bir yanının olabilmesi için ilk olarak yanma olayın gerçekleşmesi gerekmektedir. Yanın, yanma olayın kontrol edilememesi sonucunda ortaya çıkan durumdur. Yanma durumunun ortaya çıkması için yanıcı madde, ısı ve oksijen faktörlerinin belirli oranlarda bir araya gelmesi gerekmektedir [12].



Şekil 2. 1 Yangın üçgeni [13]

Tasarım yangının analizinin en önemli parçalarından biri oluşturulacak olan senaryodur. Bu senaryonun analitik olarak açıklanmasını sağlayan veri açığa çıkan ısı oranı olarak adlandırdığımız Heat Release Rate (HRR değeri) dir. Dolayısıyla tasarım yangın senaryosunun analizi açığa çıkan ısı oranının (HRR değeri) anlaşılması gerekmektedir. HRR değeri, Watt (W) ile ölçülür. Yangın büyüklüğüne göre HRR, Kilowatt (1.000 Watt'a eşit) veya Megawatt (1.000.000 Watt'a eşit) olarak da ölçülmektedir [14].

Bir yangının tutuşma aşamasından korlanma (sönme) aşamasına kadar olan süreç ISO 834'te yangın gelişim eğrisi olarak açıklanmaktadır. Yangın eğrisinde tutuşma aşamasından flashover aşamasına kadar olan bölüm yangının gelişime aşamasıdır. Bir oda içerisinde pencere ve/veya kapı açıklığı varsa sıcaklık kademeli bir şekilde artar ve yangın büyümeye (flashover) aşamasına kadar ilerler. Flashover aşamasında, yangında açığa çıkan ısı oranı (HRR) önemli miktarda artar ve yangının söndürülmesi zorlaşabilir. Bu nedenle flashover aşaması öncesi önlem alınması çok önemlidir. Flashover aşamasından sonra karşımıza çıkan aşama büyümeye aşaması olarak tanımlanmaktadır. Açığa çıkan ısı oranının (HRR) düşmesi yangının son aşaması olan sönme aşaması olarak ifade edilir [14].



Şekil 2.2 Yangın gelişim eğrisi [15]

## 2.2.2 Yangın Yayılım Yolları

Yapılarda yangının ortaya çıkması ve yayılmasında cepheler önemli bir yapı elemanı olarak karşımıza çıkmaktadır. Cepheler, iç ortam ile dış ortam arasında bir filtre görevi görmesi nedeniyle hem iç ortam hem de dış ortam için yüksek yanım riski içeren eleman olarak karşımıza çıkmaktadır [16].

Yangın binalarda çok farklı şekilde yayılmaktadır. En sık görülen yanım yayılımı cepheler aracılığı yürüten yanıklar olarak karşımıza çıkmaktadır. Şekil 2.3'te cephelerde görülebilecek yanım yayılım biçimleri görülmektedir. Bunlara bakıldığından [17]:

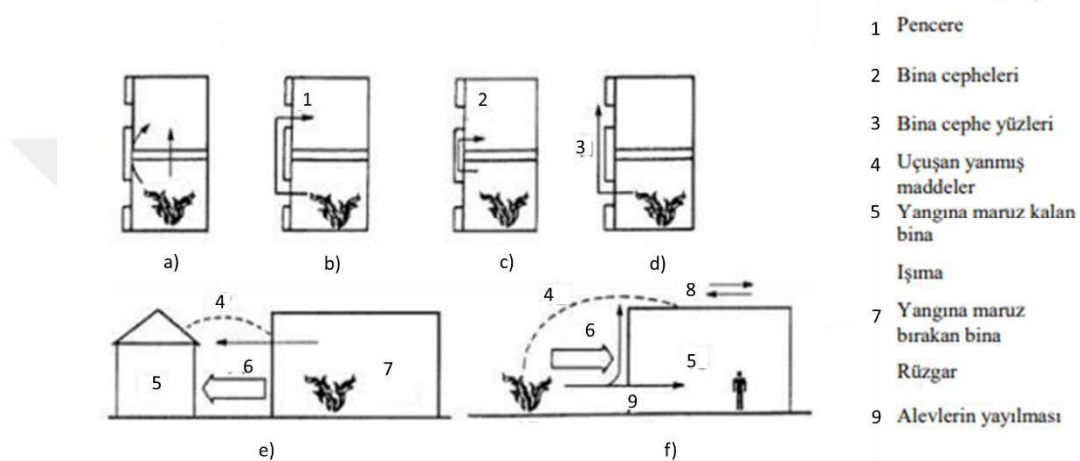
Şekil 2.3.a'da yanının, yapısal bütünlüğünün ve/veya ısı yalıtım elemanlarının hasara uğraması nedeniyle döşeme ve duvar elemanlarının arasında yanından önce veya yanın altında yapı elemanlarının hareketlerinin uyumsuzluğundan ortaya çıkabilecek boşluklardan geçerek yayıldığı görülmektedir.

Şekil 2.3.b'de alt kotlardaki pencelerden ve/veya açıklıklardan çıkan alevlerin (ve sıcak gazların) daha üst kotlarda yer alan malzemelerin tutuşmasına neden olma durumu karşımıza çıkmaktadır, bu durum, cephede bulunan yanıcı malzemelerin katkısı olmadan da gerçekleşebilmektedir.

Şekil 2.3.c'de Yanının, yapı cephesinin arkasından veya içinden üst katlara doğru yayıldığı görülmektedir.

Şekil 2.3.d'de Cephede bulunan yanıcı malzemelerin, alevlerin yapı yüzeyinde düşey olarak yayılmasına neden olma durumu ortaya çıkmaktadır. Bu senaryoda, alevlerin alt katta bulunan bir odanın pencere ve/veya diğer açılığından ortaya çıkış yayıldığı varsayılmaktadır.

Şekil 2.3e'de komşu bir binada ortaya çıkan yangının yayılımı görüülürken Şekil 2.3.f'de binanın dışındaki harici bir maddenin yanması sonucu ıshima ile ısı transferi yapması, doğrudan alevlerin teması veya uçan yanmış maddeler nedeniyle yayılması durumunun ortaya çıktığı görülmektedir.



Şekil 2.3: Cephelerde yanım yayılım biçimleri [17]

### 2.2.3 Yangın Tipi (dahili, harici)

Cephelerde ortaya çıkan yanıkları kapalı hacim yanını olarak da nitelendirilebildiğimiz “dahili” yanım, komşu bina yanımı ve çevresinde meydana gelen yanım olarak da belirtilebildiğimiz “harici” yanım olarak ikiye ayırilabilir [17].

Dahili yanım; yapının kapalı bir hacminde ortaya çıkan ve bulduğu boşluktan geçerek cepheye ulaşan yanıklardır. Dahili yanıklar cephe yanıkları içerisinde en riskli olanı yanım biçimi olarak bilinmektedir [16]. Dahili yanıklarda, pencerelerin ve yapının boyutu, pencere ve yapının biçimleri ve duvar ve tavan kaplama malzemelerin ısıl özellikleri önemli kriterler olarak karşımıza çıkmaktadır [17].

Harici yanım; cepheye başka bir ortamdan sırayet eden yanıklardır. Bu yanıklar, cepheden bağımsız olan bir kaynaktan üretilen ısının binanın cephesine ulaşması sonucu ortaya çıkmaktadır. Bu tip yanıkların oluşumunda; ısim, rüzgâr,

bina bitişindeki kent donatıları (telefon direkleri, çöp konteynırları vb.) gibi unsurlar önemli rol oynamaktadır [16].

#### **2.2.4 Yangın Ürünleri (ısı, duman, gaz, alev)**

Yanma sırasında ve sonrasında ortaya çıkan yanın ürünlerini [18]:

- 1-Isı
- 2-Alev
- 3-Duman
- 4-Zehirli Gaz

#### **2.2.5 Yangın Güvenlik Önlemleri (aktif güvenlik önlemleri, pasif güvenlik önlemleri)**

Binalarda karşımıza çıkan yanın güvenlik önlemleri; aktif yanın güvenlik önlemleri ve pasif yanın güvenlik önlemleri olmak üzere ayrılmaktadır.

Pasif yanın güvenlik önlemleri; tasarımların ilk aşaması olan mimari proje aşamasından itibaren düşünülerek tasarlanan, bina inşaatında da uygulanan ve kalıcı olarak işlevini yapabilir durumda olan önlemlere verilen addır. Bu önlemlerle birlikte yapılarda; zararlı gaz ve dumanın yapıdan tahliye edilmesi, yanın kaçış güzergahlarının ve toplanma noktalarının belirlenmesi, yanına dayanıklı veya yanmayan yapı malzemelerinin kullanılması gibi amaçların gerçekleştirilmesi hedeflenir [19].

Aktif yanın güvenlik önlemleri; yanının meydana geldiği andan itibaren, durumun algılanmasını, yanının gelişimine engel olunmasını, yanın anında bina içerisinde bulunan insanların güvenli bir biçimde tahliye edilmesini ve yanının söndürülmesini içeren süreç boyunca alınacak önlemlerin tümünü kapsamaktadır [12].

### **2.3 AKILLI CEPHE İLE İLGİLİ KAVRAMLAR**

Enerji verimliliği düşüncesinin gelişimiyle birlikte yapılarda enerji tasarrufu ve konfor sağlayan sistemlerin geliştirilmesine duyulan ihtiyaç da artmıştır. Buna bağlı olarak yapıların doğal ve yapay çevreleriyle olan ilişkisini düzenleme görevi üstlenen cephelerin yapılar üzerindeki enerji verimliliği açısından etkisini inceleyen, araştıran ve geliştiren birçok çalışma yapılmıştır ve yapılmaya devam etmektedir [20].

Yapılan çalışmalar sonucunda cepheler ile ilgili pek çok farklı sınıflandırma yapılmıştır. Bu çalışma kapsamında Erturan, B.'nin yaptığı sınıflandırma ele alınmıştır. Erturan akıllı cephe sistemlerini, tek tabakalı (katmanlı), çift tabakalı (katmanlı) ve kombine cepheler olmak üzere üçe ayrılmıştır [20].

Tablo 2.1: Akıllı cephelerin sınıflandırılması [20]

| TEK TABAKALI CEPHELER  | Basit Cepheler            |   |                               |  |  |
|------------------------|---------------------------|---|-------------------------------|--|--|
|                        | Giydirmeye Cepheler       | Dıştan Gölgelemeli                          |                               |  |  |
|                        |                           | İçten Gölgelemeli                           |                               |  |  |
|                        |                           | Cam Tabakalarıyla Entegre Gölgelemeli       |                               |  |  |
| ÇİFT TABAKALI CEPHELER | Çift Doğramalı Cepheler   |   |                               |  |  |
|                        | İçten Uygulamalı Cepheler |   |                               |  |  |
|                        | Çift Kabuk Cepheler       | Hava Koridorunun Havalanırılma Şekline Göre | Doğal Havalandırmalı          |  |  |
|                        |                           |   | Mekanik Havalandırmalı        |  |  |
|                        |                           |   | Hybrid (Karma) Havalandırmalı |  |  |
|                        |                           | Hava Koridorunun Bölünme Şekline Göre       | Kutu Tipi                     |  |  |
|                        |                           |   | Şaft Tipi                     |  |  |
|                        |                           |   | Koridor Tipi                  |  |  |
|                        |                           |   | Cephe Boyunca                 |  |  |
|                        |                           | Hava Akımının Geçişine Göre                 | Harici Hava Perdeli           |  |  |
|                        |                           |   | Dahili Hava Perdeli           |  |  |
|                        |                           |   | Hava Beslemel,                |  |  |
|                        |                           |   | Hava Tahliyeli                |  |  |
|                        |                           |   | Tampon Bölgeseli              |  |  |
| KOMBİNE CEPHELER       | Perde Panelli Cepheler    |   |                               |  |  |
|                        | Alternatif Cepheler       |   |                               |  |  |

### 2.3.1 Tek Katmanlı Cephe

Tek katmanlı cepheler, kendi yükünü taşımakla yükümlü olan ve her katta taşıyıcı sistemle bütünsüz dış bölümde yer alan duvarlar olarak tanımlanmaktadır. Bu tip cepheler, binanın kendi taşıyıcı sisteminden bağımsız olarak yapının yüzeyine entegre edilen, binanın dış ortamla ilişkisini iki ortam arasında ayırcı görev üstlenerek sağlayan, taşıyıcı görevi olmayan bir cephe sistemleridir [21].

Tek katmanlı cepheler, genellikle şeffaf ve opak elemanların aynı düzlemede bir araya gelmesi ile oluşmaktadır. En basit tek katmanlı cepheler pencerelerden ve masif duvardan meydana gelmektedir. Bu sistemlere işlevsel yapı elemanları da ilave edilebilmektedir [20].

### **2.3.1.1 Basit Cepheler**

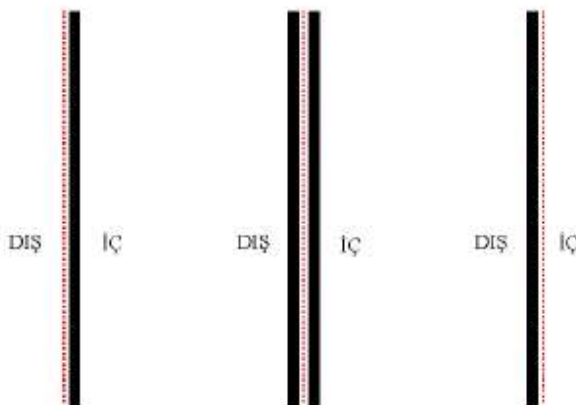
Basit cepheler yapı kabuklarının en doğal halidir. Bu cepheler doğal ışık alımını ve doğal havalandırmayı sağlayan açıklıkları içinde barındıran ve yük taşıyıcı özelliği olan duvarlardan meydana gelmektedir. Basit cepheler, temiz hava alımını doğal yollar haricinde mekanik imkanlarla da ortama alabilen harici elemanları bulundurabilmektedir. Basit cephelerin yapımı ekonomiktir, aynı zamanda bu cephelerin bakım ve temizlik maliyeti de düşüktür [22].

### **2.3.1.2 Giydirmeye Cepheler**

Giydirmeye cepheler, şeffaf ve opak yüzeyleri olan prefabrike cephe elemanları ile yapılmaktadır. Giydirmeye cephelere doğal aydınlatma imkânı ve doğal havalandırma imkanının yanı sıra enerji üretimini de sağlayabilecek elemanlar ilave edilebilmektedir [22].

Tek tabakalı(katmanlı) giydirmeye cepheler:

- Dıştan gölgelemeli cepheler,
- İçten gölgelemeli cepheler,
- Cam tabakaları ile entegre gölgelemeli cepheler olmak üzere üçer tür [23].



Şekil 2.4: Tek tabakalı cephe tipleri [20]

### **2.3.2 Çift Katmanlı Cephe**

Oeterle [24], çift cidarlı cephelerin dış cephe, ara boşluk ve iç cepheden meydana gelen çok katmanlı bir prensibe dayandığını belirtmektedir. Dış cephenin, hava şartlarına karşı koruma ve gürültüye karşı akustik yalıtımı sağladığını söylemektedir. Ayrıca dış cephelerde odaların havalandırılmasına izin veren açıklıkları da içerdigini belirtmiştir.

Sini [25], çift katmanlı cephenin, genişliği 20 cm ile birkaç metre arasında değişen hava koridoru ile ayrılmış bir çift cam kaplama biçimini olduğunu söylemektedir. Cam kaplamaların tüm yapıya veya yapının bir kısmına gelebildigini ve genellikle yalıtkan olan ana cam katmanı duvarın bir parçası olarak işlev görürken, ek katmanın tek cam olarak ana camın önüne veya arkasına yerleştirildigini belirtmektedir. Bu iki katman arasında bulunan hava boşluğunun aşırı sıcaklıklara ve sese karşı yalıtım bakımından avantaj sağlamadığını söylemektedir.

Poirazis [26], Çift katmanlı cephenin ara boşlukta hava akışı olacak şekilde yerleştirilmiş iki cam yüzeyden oluşan bir sistem olduğunu, arada bulunan boşluğun havalandırmasının doğal, fan destekli veya mekanik olabileceğini söylemektedir. Boşluk içindeki havalandırmmanın türünün yanı sıra, havanın çıkış yerinin ve varış yerinin çoklukla iklim koşullarına bağlı olarak değiştirdigini belirtmiştir.

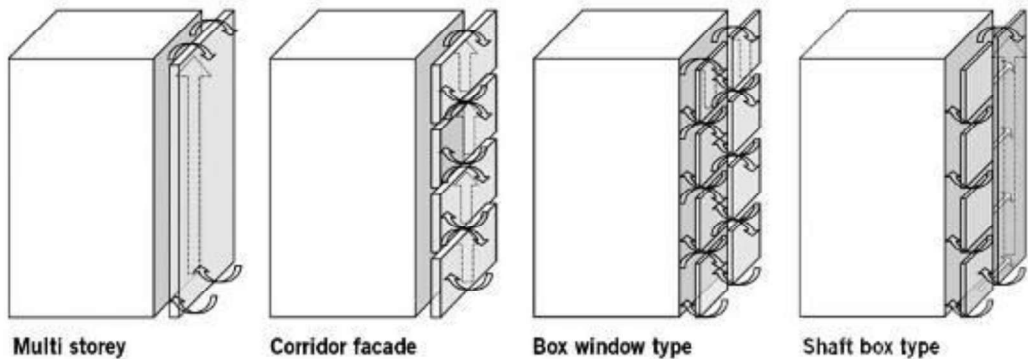
Çift katmanlı cepheler farklı özelliklerine göre 3'e ayrılabilmektedir. Bu özellikler:

- Hava koridorunun havalandırılma şekline göre,
- Hava koridorunun bölünme şekline göre,
- Hava akımının geçişine göre [27].

Tablo 2.2: Çift katmanlı cephe türleri [28]

|                     |  |   |
|---------------------|--|---|
| Çift Kabuk Cepheler | Hava Koridorunun<br>Havalanırılmama Şekline Göre | Doğal Havalandırmalı<br>Mekanik Havalandırmalı<br>Hybrid (Karma) Havalandırmalı |
|                     | Hava Koridorunun Bölünme<br>Şekline Göre         | Kutu Tipi   |
|                     |  | Şaft Tipi   |
|                     |  | Koridor Tipi  |
|                     |  | Cephe Boyunca   |
|                     |  | Harici Hava Perdeli   |
|                     |  | Dahili Hava Perdeli   |
|                     |  | Hava Beslemel,  |
|                     |  | Hava Tahliyeli  |
|                     |  | Tampon Bölgeseli  |

Ara boşluğun bölünmesi, iki camlı cephe arasında yer alan boşluğun fiziksel olarak istenilen havalandırma fonksiyonuna göre nasıl böülümlendirildiğine dair bilgi verir. Pratikte uygulanan bölme çözümleri: Kutu tipi cepheler, şaft tipi cepheler, Koridor tipi cepheler ve çok katlı (cephe boyunca) cephelerdir [29].



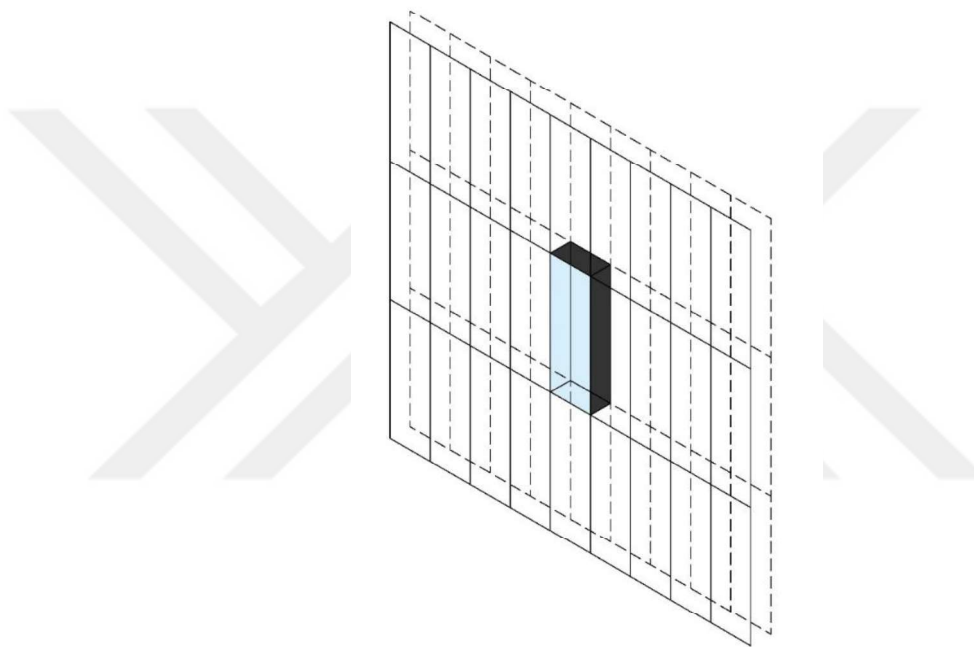
Şekil 2.5: Cephe böülüme türüne göre çift katmanlı cephe [29]

### Kutu Tipi

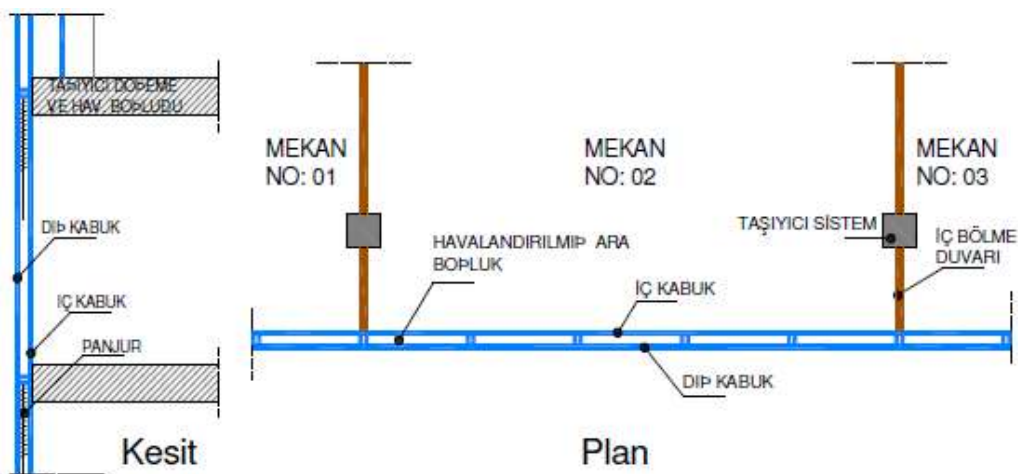
En eski çift katmanlı cephe tipi olarak karşımıza çıkan bu cephe tipi; genellikle iç bölümde çift, dış bölümde tek katmanlı cam kullanılarak oluşturulan kutu biçiminde bir araya getirilen paneller sistemidir. Diğer kutu pencere bölümlerinin de birbirine bitişik olarak düzenlendiği bu kutular, devamlı biçimdeki dikey ve yatay bölmeler sayesinde bitişik odalardan gelen sesleri ve koku aktarımını önlemektedir [30]. Kutu

pencereler üretim alanında prefabrike halde üretilir. İç ve dış katman arasında bulunan boşluğun derinliği istenilen işlevle göre 10 cm ile 50 cm arasında değişir [31].

Bu sistemin avantajlarından biri her bir kutu bölümünün altında ve üstünde konumlandırılabilen giriş ve çıkış menfezlerinin havalandırmaya olanak sağlamaasıdır [5]. Aynı zamanda bu sistem güneş enerjisinin kazanımından da yararlanır ve tek ciddi bir cepheye göre ısıtma enerjisi performansı daha yüksektir. Kutu tipi cephe sistemi kısıtlı görüş alanına sahip olması, artan inşaat maliyetlerine neden olması ve boşluğun aşırı ısınması gibi dezavantajlara da sahiptir [31].



Şekil 2.6: Kutu tipi cephe şematik gösterimi



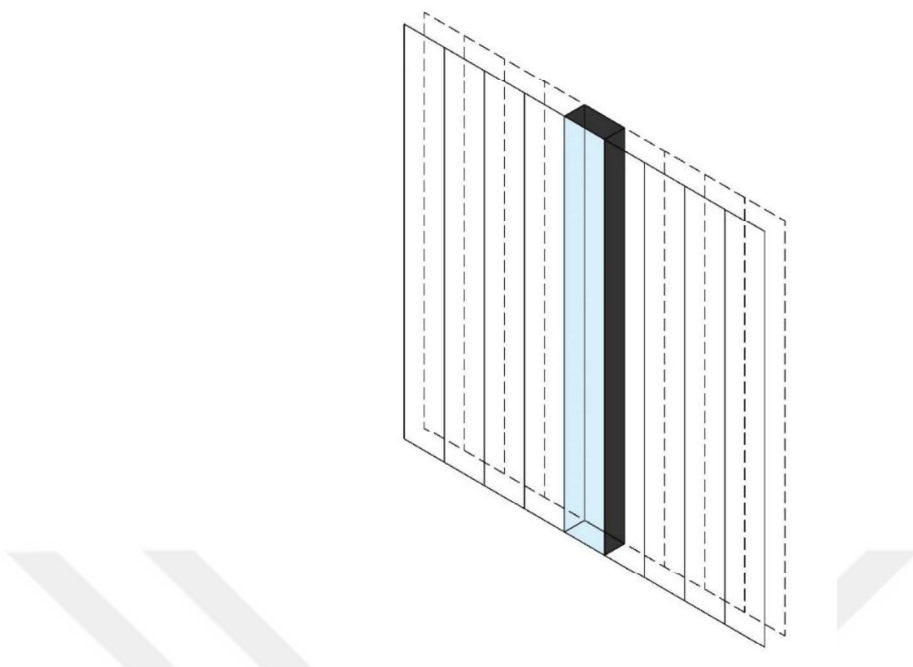
Şekil 2.7: Kutu tipi cephe [32]

Kutu tipi pencere uygulamaları, konutlardan yönetim binalarına kadar her ölçekte görülebilmektedir. Kutu birimleri, bina kaplamasında tek bir birim olarak veya bina duvar cephesinde bir araya getirilerek meydana gelir. Bu sistemler daha çok yüksek rüzgâr hızlarının ve gürültü kirliliğinin mevcut olduğu kentsel ortamlarda tercih edilebilmektedir. Kutu penceler, cephe yenileme projeleri için de uygun olabilmektedir [31].

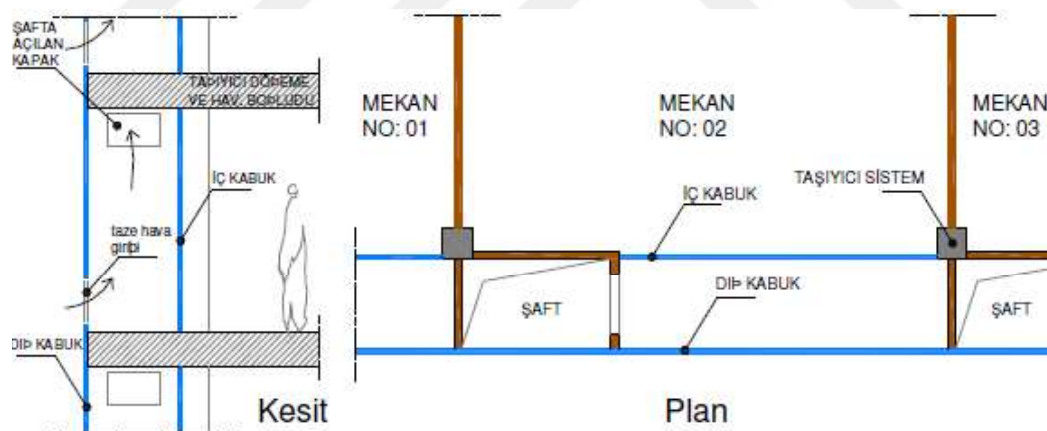
### **Şaft Tipi**

Şaft tipi cephelerin amacı, katlarda bulunan hava boşluklarının bina yüksekliğinde bir hava boşluğuna açılmasını sağlayarak bu boşluğun daimî olarak havalandırmasını sağlamak ve bunu sağlarken de baca etkisini arttırarak bu etkiden faydalananmaktadır. Zemin seviyesinden giren doğal hava menfezler yardımıyla iç ortama alındıktan sonra ısınan hava merkezi şafta çekilir ve bu şafttan dışarı atılır. Bu sistem ile cephenin içerisinde doğal bir havalandırma imkânı da sağlanmış olur [5]. Şaft tipi cephelerde iki katman arasında kalan boşluk 0,3 m ile 1,2 m arasında değişebilir [31].

Bu sistemin başlıca avantajları arasında ıslı konfor ve akustik yalıtım bulunmaktadır. Bu sistemin dezavantajları olarak karmaşık yapı, yanım ve duman gereksinimleri içeriği söylenebilir. Kesintisiz büyük şafaların, kışın ısınmanın sağlanması konusunda dezavantaj sağlarken yazın soğutma talebini karşılayan iklimsel bir tampon bölge oluşturduğu söylenebilir. Boşluktan elde edilen güneş enerjisi kazanımının binanın diğer alanlarına yaymak mümkündür. Ayrıca oluşturululan iki cephe arasında oluşturulan tampon bölgede genellikle hava doğal veya mekanik yollarla çekilmektedir. Yaz aylarında ekstraksiyon oranını hızlandırarak hava akışını artırmak aşırı ısınmayı önleyebilmektedir, Ekstraksiyon oranın değiştirilmesi giriş ve çıkış açıklıklarının değiştirilmesiyle elde edilmektedir [31]. Şaft tipi cephelerin uygulamasına karar verilirken çevre faktörlerinin, bölgeye hâkim olan rüzgâr tipinin neler olduğu dikkate alınarak şaft tipi cephenin o bölge için uygun olup olmadığına karar verilmesi gerekmektedir, bu durumun kontrolü esnasında her yapı için hesaplamalar yapılmalıdır. Fazla kat yüksekliğine sahip yapılarda şaft boşluğunun içindeki hava akımının kontrolünün güçlük yaratma ihtimalinden dolayı bu tip yapılarda şaft tipi cephenin uygulanması uygun değildir [30].



Şekil 2.8: Şaft tipi cephe şematik gösterimi



Şekil 2.9: Şaft tipi cephe [32]

Şaft tipi cephe uygulamaları, alçak binalarda, yönetim binalarında ve yüksek binalarda herhangi bir ölçekte uygulanabilmektedir. Bu sistemler çoğunlukla yüksek gürültü kirliliğinin olduğu kentsel ortamlarda görülmektedir [31].

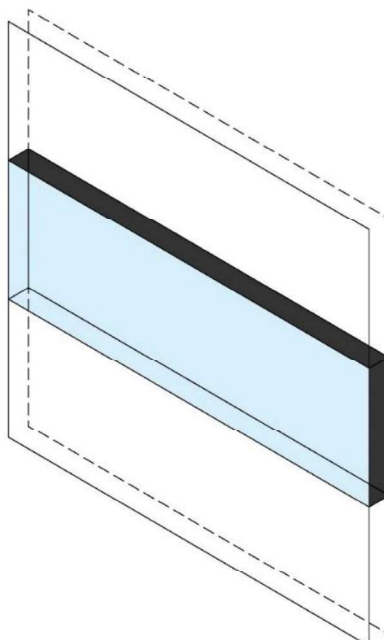
## **Koridor Tipi**

Koridor tipi cepheler; çift katmanlı cephe türlerinin en çok tercih edilen türlerindendir. Bu cephe tipinde her kata temiz havayı içeri alan ve kirlenmiş havayı dışarı veren kanallar yerleştirilir [32]. Bu sayede her katta havalandırma sistemi katın sınırları içinde gerçekleştirilmektedir.

Boşluğa alınan havanın hareketi katın yüksekliği kadar olduğundan havanın boşluğun içinde kalma süresi de azdır, bu nedenle içeri alınan havanın sıcaklığı ile boşluktan çıktıığı andaki sıcaklığı arasında fazla ısı farkı olmamaktadır. Bunun sonucunda boşlukta ısınan havanın boşluktan çıkış noktasında bile doğal havalandırmanın gerçekleşmesini olumsuz şekilde etkilemediği, bu sayede etkin bir doğal havalandırma elde edildiği görülmektedir [30]. Koridor tipi cephede bulunan boşluğun derinliği 0,3 m ile 1,2 m arasında değişir, çoğunlukla içten açılan veya sürgülü kapılar ile boşluğa erişim sağlanır [31].

Bu cephe tipinde koridorun yatay biçimde olması birden fazla odayı kapsadığı için sesin ve kokuların bitişik alanlara iletilmesine izin verir. Bu cephe tipi yangın ve duman yayılımını azaltmak için yangın güvenliğini artırma gereksinimleri içermektedir [31].

Güneş kontrol elemanları, cephe kabuklarının arasında kalan boşluklara konumlandırılmıştır. Bu sayede güneş kontrol elemanları dış ortamda bulunan iklim faktörüne karşı korunur ve bu elemanların ömrü uzatılmış olur ayrıca bu durum elemanların bakımında da kolaylık sunar [30]. Koridor tipi cephe kullanıcılar için kolay temizlik imkânının yanı sıra boşluk basıncını da kontrol etme imkânı sağlamaktadır [31].



Şekil 2.10: Koridor tipi cephe şematik gösterimi



Şekil 2.11: Şaft tipi cephe [32]

Koridor tipi cephe uygulamaları daha çok yüksek katlı ve idari binalarda görülmektedir. Bu sistemler daha çok yüksek rüzgâr hızlarının ve gürültü kirliliğinin olduğu kentsel ortamlarda karımıza çıkmaktadır [31].

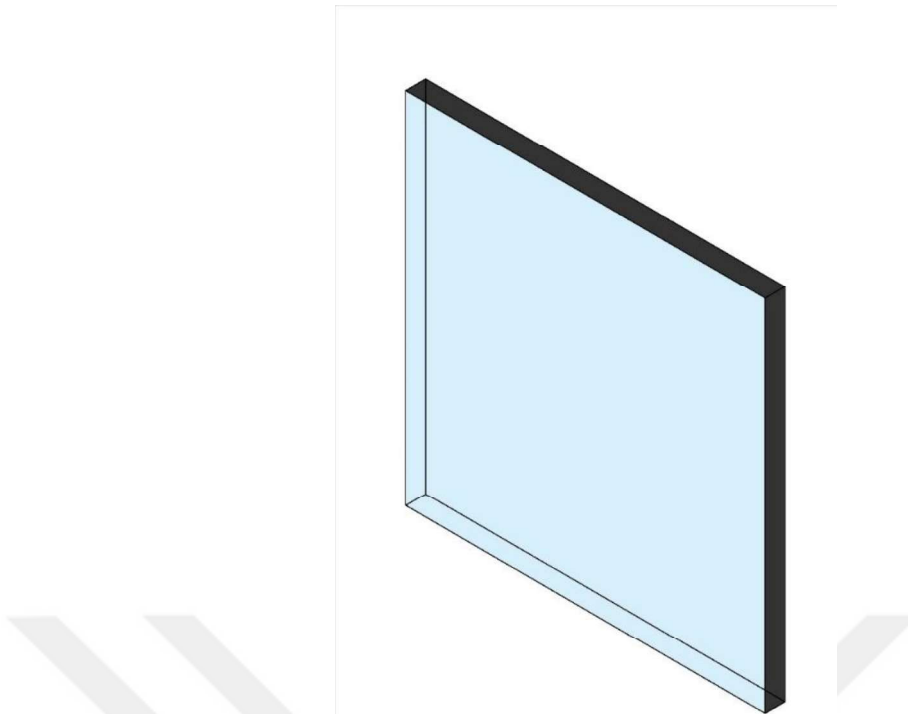
## Cephe Boyunca

Bu cephe tipinde; cephe katmanları arasında kalan boşluk, bina yüksekliği boyunca kesintiye uğramadan devam etmektedir [30]. Bu alan, birden fazla odayı veya tüm bir bina cephesini kapsar biçimde karşımıza çıkabilmektedir. Çok katlı bu dış cephe görünümü, yeni yapı veya mevcut bir yapının önüne de inşa edilebilir. Bu cephe tipinde katmanlar arasında bulunan boşluk aralığı 0,6 m ile 2,0 m arasında değişebilir [31]. Bu cephe tipinde bazı durumlarda kat hızasında temizlik ve bakımın yapılabilmesi amacıyla yürüme yolları yapılmaktadır ancak bu yürüme yollarının hava akımına engel olmayacak biçimde tasarlanmasına dikkat etmek gerekmektedir. Dış kabuk içerisinde bulunan taşıyıcı strüktüre genellikle çelik taşıyıcılar yardımı ile taşıtılmaktadır [32].

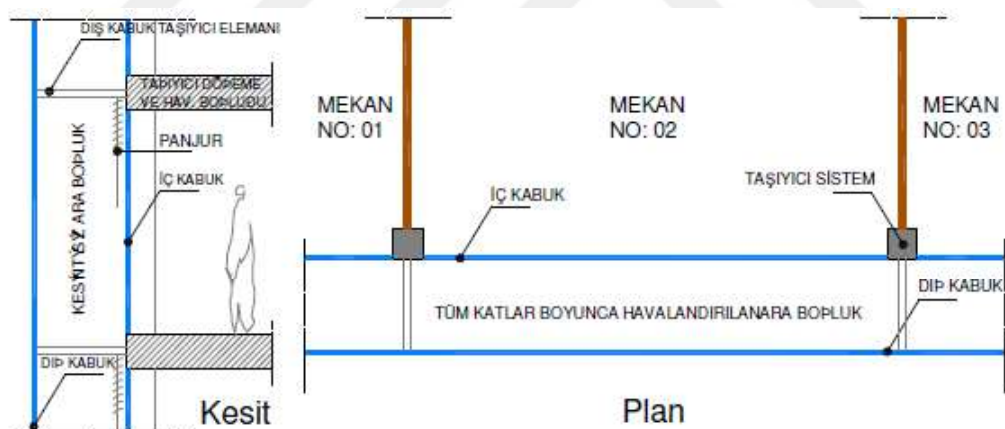
Binada bulunan menfezler yapının en alt ve en üst seviyesinde yer almaktadır. Alt seviyede bulunan menfezlerden içeri giren temiz hava, cepheden kabuklarının arasında bulunan boşluklarda ısınarak yükselir. Alt seviyedeki menfezlerden içeri giren yeni soğuk hava da cephe kabukları arasında bulunan sıcak havanın yükselmesine katkı sağlar. Böylelikle ısınan hava yükselerek, binanın üst seviyesinde yer alan menfezlerden dışarı doğru atılır [30].

Bu sistemin başlıca avantajları arasında cephede oluşan tutarlı ve kesintisiz bir görünümün sağlanması haricinde bu cephelerin dış mekândaki gürültüye karşı çok iyi bir akustik yalıtım performansı göstermesi de örnek olarak gösterilebilir [32]. Bu cephe tipi iç cephede bulunan yapı ve cephe bileşenlerini yağmur, rüzgâr gibi hava koşullarına karşı da korumaya yardımcı olmaktadır. İki kabuğun arasına yerleştirilen güneş kontrol elemanlarının da iklimsel olaylara karşı korunması sağlanmış olur [30].

Bu sistemin dezavantajları arasında sesin ve kokunun boşluk içinde yanal ve dikey olarak iletilmesi yer almaktadır [31]. Bunun haricinde bu cephelerde, iki kabuk arasında ısınan ve yükselen havanın çok katlı yapılarda yüksek sıcaklık değerlerine neden olması büyük bir problem olarak karşımıza çıkmaktadır, yaz aylarında üst katların bu durumdan etkilememesi için ek önlemler alınması gerekmektedir. Bu sistemin bir diğer dezavantajı ise katlar arasındaki yangın ve duman izolasyonunun da sağlanamamasıdır [30].



Şekil 2.12: Cephe boyunca tipi cephe şematik gösterimi



Şekil 2.13:Cephe boyunca tipi cephe [32]

Cephe boyunca tipine sahip cephenin tipik uygulamaları, konutlardan yönetim binalarına kadar her ölçekte yapıda görülebilmektedir. Bu sistemler, daha çok yüksek rüzgâr hızlarının ve gürültü kirliliğinin olduğu kentsel ortamlarda karşımıza çıkar. Yaygın uygulamaları arasında binaların yenilemesi ve tarihi binaların korunması çalışmaları yer alır. Bu sistemlerin kullanıldığı yapıların çoğunda mekanik olarak havalandırılan bir sistem ön görülmektedir [31].

### **2.3.3 Kombine Cephe**

Kombine cepheler tek katmanlı ve çift katmanlı cephe prensiplerinin tek bir cephede bir araya getirilmiş halidir. Kombine cephe sistemleri çift katmanlı cephelerde sesin yalıtması, rüzgârdan korunmanın sağlanması, solar perdeleme yapılması ve hava giriş konforunun sağlanması gibi avantajları sağlamaktadır. Tek katmanlı cephede bulunan açıklıklar, kullanıcıların dış ortamla doğrudan görsel bir ilişki kurmasına olanak sağlar. Bu cephelerde cephe açıklıklarının farklılaşmasına ve solar kontrolün kullanıcılarının ihtiyaçlarına göre ayarlanabiliyor olmasına imkân tanınır [20].

### **Perde Panelli Cepheler**

Perde panelli cepheler, giydirmeye cepheler ve/veya basit cepheli yapılarda pencerelerin önüne kısa bir mesafe sonrasında sabit ilave panellerin eklediği cephelerdir [20].



Resim 2.1: Perde panelli cephe [22]

### **Alternatif Cepheler**

Alternatif cepheler, tek ve çift katmanlı cephelerin tüm avantajlarının bir araya getirildiği kombinasyondur. Her odada her türden an az bir eleman yer almaktadır [20].



Resim 2.2: Alternatif cephe [22]

### 2.3.4 Cephe Örnekleri

Yurt içi ve yurt dışında tek katmanlı, çift katmanlı ve kombine cephe türlerinin uygulandığı yapılara örnekler Tablo 2.3'te yer almaktadır. Bu tabloda yer alan yapıların detaylı görselleri Ek-1'de yer almaktadır.

Tablo 2.3: Cephe örnekleri

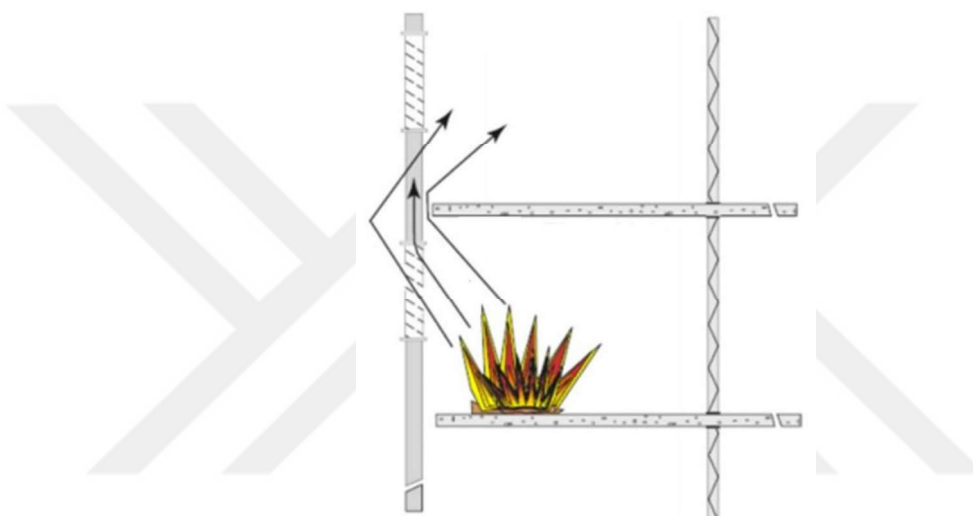
| Yapının İsmi                                | Yapının Bulunduğu Yer |           | Tek Katmanlı |            | Çift Katmanlı |         |      | Kombine Cephe |               |            |
|---|-----------------------|-----------|--------------|------------|---------------|---------|------|---------------|---------------|------------|
|   | Yurt içi              | Yurt dışı | Basit        | Giydirmeli | Kutu          | Koridor | Şaft | Cephe Boyunca | Perde Panelli | Alternatif |
| Metrocity Konut Ofis ve Alışveriş Kompleksi | x                     | Istanbul  | x            |            |               |         |      |               |               |            |
| BMW Genel Merkez Binası                     | x                     | Almanya   | x            |            |               |         |      |               |               |            |
| İstinye Park Alışveriş Merkezi              | x                     | İstanbul  |              | x          |               |         |      |               |               |            |
| Raif Dingkök Kültür Merkezi                 | x                     | Yalova    |              | x          |               |         |      |               |               |            |
| Fiat Lingotto Fabrika Binası                | x                     | İtalya    |              | x          |               |         |      |               |               |            |
| Hong Kong & Shanghai Bankası                | x                     | Çin       | x            |            |               |         |      |               |               |            |
| İstanbul Avrupa Yakası Adalet Sarayı        | x                     | İstanbul  |              | x          |               |         |      |               |               |            |
| Lloyds Binası                               | x                     | İngiltere |              | x          |               |         |      |               |               |            |
| MATPUM Binası                               | x                     | Ankara    |              |            | x             |         |      |               |               |            |
| Commerzbank Binası                          |                       | Almanya   |              |            | x             |         |      |               |               |            |
| Arag 2000 Binası                            | x                     | Almanya   |              |            |               | x       |      |               |               |            |
| BRE Yapı Araştırma Merkezi                  | x                     | İngiltere |              |            |               | x       |      |               |               |            |
| Maslak Acıbadem Hastanesi                   | x                     | İstanbul  |              |            |               |         | x    |               |               |            |
| Agbar Tower                                 | x                     | İspanya   |              |            |               |         | x    |               |               |            |
| Ataköy A Plus AVM                           | x                     | İstanbul  |              |            |               |         |      |               | x             |            |
| Reichstag Almanya Parlamento Binası         | x                     | Almanya   |              |            |               |         |      |               | x             |            |
| Doğan Medya Merkezi                         | x                     | Ankara    |              |            |               |         |      |               |               | x          |

## 2.4 CEPHE TÜRLERİ VE YANGIN ÖRNEKLERİ

### 2.4.1 Tek Katmanlı Cephe ve Yangın

Tek katmanlı cepheler, iç ve dış ortamın birbirinden tek bir katman yardımı ile ayrıldığı cepheler olmakla birlikte yaygın olarak da kullanılan bir cephe yapım türüdür. Tek katmanlı cepheler; yiğma veya ahşap yapılarda taşıyıcı olarak görev almaktadır, iskelet taşıyıcıları yapınlarda ise cephe taşıyıcı olarak görevi üstlenmemektedir. Bu nedenle taşıyıcı özelliğe sahip tek katmanlı cepheye sahip yapılarda ortaya çıkabilecek yangının alevlerinin cepheye sıçramıyor olması önemli bir kriterdir. Iskelet taşıyıcılı

yapılarda, yangının cephede yayılımı konusunda cephenin yanıcılık özelliği olup olmaması ve cephede bulunan boşluk oranları önemli bir rol oynamaktadır. Yangının cephe üzerinde yayılması ve çevrede bulunan yapılara sıçraması açısından tüm cepheler risk teşkil etmektedir ancak tek katmanlı cephelerde tüm fiziksel çevre kontrolü tek bir katman ile çözümlendiğinden yangın açısından daha da dikkatli olunması ve bazı önlemlerin alınması gerekmektedir. Tek katmanlı cephelerde cephe kaplama malzemeleri yangın açısından büyük bir önem taşımaktadır. Bu nedenle dış kaplama malzemelerinin ve bu malzemelerin arkasında yer alan yalıtım tabakasında kullanılan malzemelerin yanıcılık sınıfları önemli bir rol oynamaktadır [7].



Şekil 2.14: Tek katmanlı cephe alev yayılımı [33]

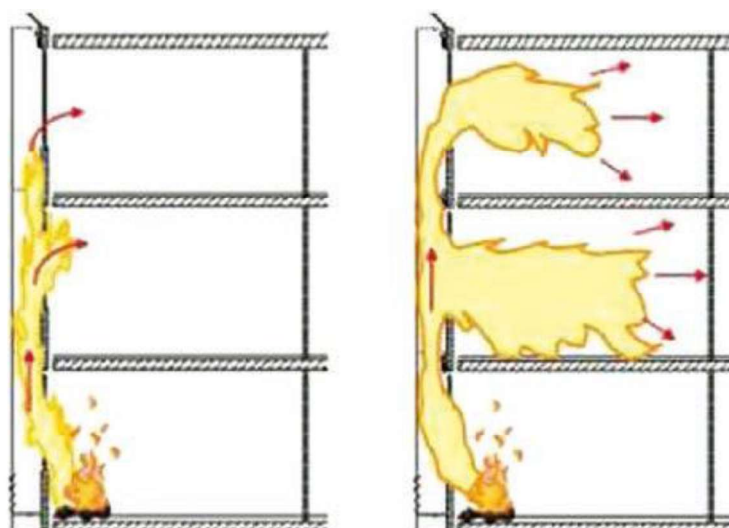
Düzenleme çalışmaları doğru yapılan tek katmanlı cephelerde, duman yayılımının, alev yayılımının ve baca etkisinin daha az görülmesinin yanı sıra tek katmanlı cepheye sahip yapılarda katların arasında, katlar ile duvarın birleştiği noktalarda, cephe yüzeyindeki açıklıklarda ve iki malzemenin bitim noktalarının birleştirildiği noktalarda gerekli önlemler alınırsa yanına karşı direnç gösterebildiği deneySEL çalışmalarla görülmüştür [34].



Resim 2.3: Apartment Building. Yanıcı cephe kaplamasının çöp varilinden alevi alması sonucu cephe yanımı oluşmuştur [35].

#### 2.4.2 Çift Katmanlı Cephe ve Yangın

Çift katmanlı cepheye sahip yapılarda genel olarak, iç mekânda ortaya çıkan yanımın sonucu iç katmanda bulunan cam radyasyonun etkisi ile kırılır, camın kırılması sonucunda alevler ve duman, yanının ortaya çıktıığı kattan çıkararak katmanlar arasında bulunan boşluğa geçer. Boşluğa geçen alevler ve duman baca etkisiyle birlikte boşlukta hızla yükselir ve diğer katlarda yer alan açık pencerelerden ve radyasyonun etkisiyle kırılan camlardan iç mekânlara doğru sızar [7].



Şekil 2.15: Çift katmanlı cephe alev yayılımı [34]

Çift katmanlı cephe örnekleri genellikle yüksek katlı yapılarda karşımıza çıkmaktadır, bu tip yapılarda malzeme seçimi esnasında yanmaz malzemelerin tercih edilmesi gerekmektedir. Cephe bitiş malzemesinin özellikleri haricinde yalıtım malzemelerinin de yanına karşı tepki sınıfına da dikkat etmek gerekmektedir. Derzlerden ve cephe açıklıklarından içeri giren alevler yanıcı bir malzeme ile karşılaşırsa sorun daha da büyük bir problem haline gelmektedir [7].

### 2.4.3 Cephe Yangın Örnekleri

Tablo 2.4: Shijiazhuang bina yangını

| RESİMLER   | Yapı Adı  | Apartman          |
|--|-----------|-------------------|
|  | Yapı Yeri | Shijiazhuang, Çin |
| RESİMLER   | Yapı Yeri | Yangın Yılı       |
|  |           | 2021              |

Resim 2.3: Shijiazhuang bina yangını [36]

Tablo 2.5: Ulsan bina yangını

| RESİMLER  | Yapı Adı  | Apartman          |
|---|-----------|-------------------|
|  | Yapı Yeri | Ulsan, Güney Kore |
| RESİMLER  | Yapı Yeri | Yangın Yılı       |
|   |           | 2020              |

Resim 2.4: Ulsan bina yangını [37]

Tablo 2.6: Madrid bina yangını

| RESİMLER  | Yapı Adı    | Madrid Kule Bloğu |
|---|-------------|-------------------|
|  | Yapı Yeri   | Madrid, İspanya   |
|   | Yangın Yılı | 2020              |

Resim 2.5: Madrid bina yangını [38]

Tablo 2.7: Ankara bina yangını

| RESİMLER   | Yapı Adı    | İş Merkezi      |
|--|-------------|-----------------|
|  | Yapı Yeri   | Ankara, Türkiye |
|  | Yangın Yılı | 2020            |

Resim 2.6: Ankara bina yangını [39]

Tablo 2.8: Sharjah bina yangını

| RESİMLER  | Yapı Adı    | Abbcо Kulesi                       |
|---|-------------|------------------------------------|
|  | Yapı Yeri   | Sharjah, Birleşik Arap Emirlikleri |
|   | Yangın Yılı | 2020                               |

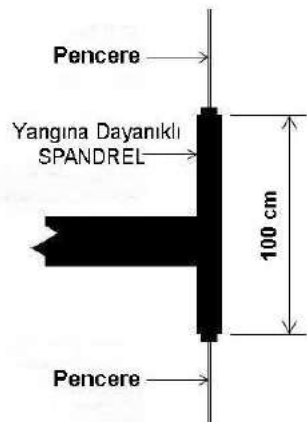
Resim 2.7: Sharjah bina yangını [40]

## **2.5 TASARIM SÜRECİNDE YANGIN YÖNETMELİĞİ VE CEPHELER**

1509 yılında İstanbul'da ortaya çıkan ve küçük kıyamet diye adlandırılan büyük bir deprem olmuş ve bu deprem sonrasında taş evlerin yerini ahşap evler almaya başlamıştır. Ancak dar sokakların her iki tarafına da inşa edilen bu evler yangın gibi bir tehdidi de beraberinde getirmiş ve çok geçmeden İstanbul yangınları başlamıştır. Bu yangınlar sonrasında dönemin padişahı olan 3. Murad 1579 yılında bir ferman yayınlamıştır. Yayınlanan fermanda her ev için zeminden çatı yüksekliğine kadar uzanan merdiven ve büyük boyda su fiçisi bulundurmak mecbur kılınmıştır. Yangın çıktıgı anda tüm aile üyelerinin yeniçeriler ve halk yetişene kadar yanına müdahale etmeleri gerektiği söylenmiştir [41]. Yayınlanan bu fermanda da anlaşılacegi gibi ilk yapılan bu çalışmaların yanının çıkışmasını engellemek değil, sadece çıkan yanının kontrol altına alınması konusunda olduğu görülmektedir. Yani yapılan ilk çalışmalar eksik ve yetersiz olarak değerlendirilebilir ve beklenilen anlamlaki ilk çalışmaların olması için 2002 yılını beklemek zorunda kalındığı söylenebilir.

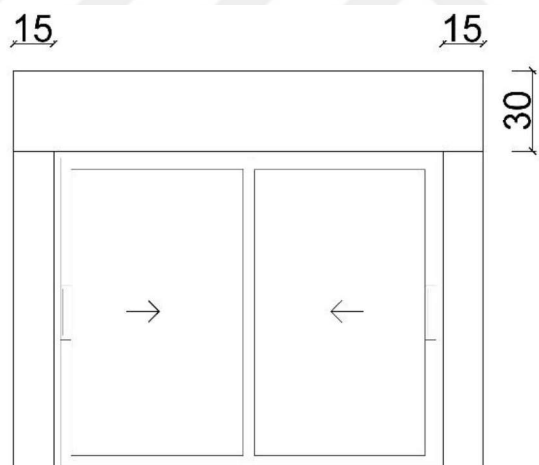
Yapıların cephelerinde yanın güvenliğinin sağlanmasıyla; can ve mal güvenliğinin sağlanması, tarihi ve çevresel değerlerin korunması ve yapı işletme sürekliliğinin sağlanması amaçlanmaktadır [7]. Bu kapsamda yapı cephelerinde alınması gereken önlemler bilinmeli ve tasarım aşamasından uygulama aşamasına kadar mimari projelerde bu konuya özen gösterilmesi gerekmektedir. Bu düşünce göz önünde bulundurularak ülkemizde yürürlükte olan Binaların Yangından Korunması Hakkında Yönetmelik yapı tasarımlı, yapı detayı ve yapıda kullanılan malzemeler bazında neler içeriyor bunun incelemesi yapılmış ve şekillerle birlikte daha açıklayıcı bir hale gelmesi sağlanmıştır.

Binaların Yangından Korunması Hakkında Yönetmeliğin 27. Maddesinde “*Alevlerin bir kattan diğer bir kata geçmesini engellemek için iki katın pencere gibi korumasız boşlukları arasında, düşeyde en az 100 cm yüksekliğinde yanına dayanıklı cephe elamıyla dolu yüzey oluşturulur veya cephe iç kısmına en çok 2 m aralıklarla cepheye en fazla 1.5 m mesafede yağmurlama başlıklarları yerleştirilerek cephe otomatik yağmurlama sistemi ile korunur.*” ibaresi yer almaktadır [42].



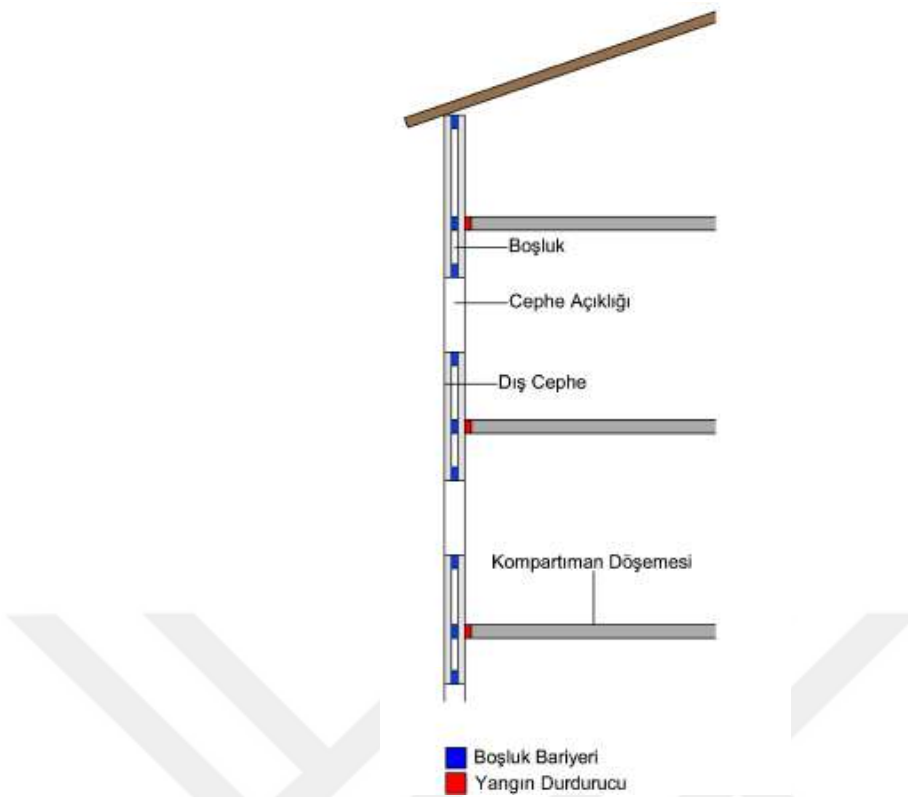
Şekil 2.16: Cephede spandrel yüksekliği [16].

Binaların Yangından Korunması Hakkında Yönetmeliğin 27. Maddesinde “*bina yüksekliği 6.50 m'den fazla olan binalarda pencere ve benzeri boşluklarının yan kenarları en az 15 cm ve üst kenarı en az 30 cm eninde hiç yanmaz malzeme ile yanın bariyerleri oluşturulmalıdır.*” denmektedir [42].



Şekil 2.17: Pencere ve benzeri boşluklarının yan kenarlar mesafeleri

Binaların Yangından Korunması Hakkında Yönetmeliğin 27. Maddesinde cephe ve dösemelerin birleşim noktalarının, alevlerin diğer katlara geçmesini önleyecek biçimde dösemenin yanına karşı dayanımını sağlayabileceği süre miktarında yalıtılması gerektiğini belirtmektedir [42].



Şekil 2.18: Döşeme ve cephe birleşim noktası [17]

Binaların Yangından Korunması Hakkında Yönetmelikte yapı malzemeleri ve döşeme malzemelerinin yanıcılık sınıfları ile ilgili genel tablolar yönetmeliğin EK-2/Ç bölümünde yer almaktadır.

Tablo 2.9: Yapı Malzemelerinin: TS EN 13501-1 ve TS EN 13501-5'e Göre Yanıcılık Sınıfları [56].

| Döşemeler Dışındaki Yapı Malzemeleri İçin Yanıcılık Sınıfları |  | TS EN 13501-1 <sup>(1)</sup>  |
|---|--|---|
| Malzemenin Yanıcılık Özelliği                                 |  |   |
| Hic Yanmaz  |  | A1  |
| Zor Yanıcı  |  | A2 - s1, d0<br>B, C - s1, d0  |
| Zor Alevlenici  |  | A2 - s2, d0<br>A2, B, C - s3, d0<br>A2, B, C - s1, d1<br>A2, B, C - s1, d2  |
| (en az)   |  | A2, B, C - s3, d2<br>D - s1, d0<br>D - s2, d0<br>D - s3, d0<br>E  |
| Normal Alevlenici   |  | D - s1, d2<br>D - s2, d2<br>D - s3, d2<br>E - d2  |
| (en az)   |  | F   |
| Kolay Alevlenici  |  |   |
| Döşeme Malzemeleri İçin Yanıcılık Sınıfları                   |  | TS EN 13501-1'e göre <sup>(2)</sup>   |
| Malzemenin Yanıcılık Özelliği                                 |  |   |
| Hic Yanmaz  |  | A1 <sub>FL</sub>  |
| Zor Yanıcı  |  | A2 <sub>FL</sub> - s1   |
| Zor Alevlenici  |  | B <sub>FL</sub> - s1<br>C <sub>FL</sub> - s1  |
| (en az)   |  | A2 <sub>FL</sub> - s2<br>B <sub>FL</sub> - s2<br>C <sub>FL</sub> - s2<br>D <sub>FL</sub> - s1<br>D <sub>FL</sub> - s2 |
| Normal Alevlenici   |  | E <sub>FL</sub>   |
| (en az)   |  | F <sub>FL</sub>   |
| Kolay Alevlenici  |  |   |

Binaların Yangından Korunması Hakkında Yönetmeliğin 26. Maddesinde döşemeler ile ilgili olarak;

- Döşeme kaplamalarının en az normal alevlenici özellikte, yüksek binalarda bu malzemelerin en az zor alevlenici özellikte olması gereği,
- Döşemelerin üzerinde kolaylıkla alevlenebilen malzeme kullanılarak ısı yalıtımının yapılması durumunda, üzerinden en az 2 cm kalınlığında şap ile örtülmesi gereği,
- Ayrik nizamda olan yapılarda (müstakil konutlar hariç) tavanın kaplamaları ile asma tavanlarının malzemelerinin en az zor alevlenici özellikte olması gereği ibareleri yer almaktadır [42].

Binaların Yangından Korunması Hakkında Yönetmeliğin 27. Maddesinde cepheler ile ilgili olarak;

- Dış cephelerin, yapı yüksekliği 28.50 m'den fazla olan yapılarda zor yanıcı özellikteki malzemelerden, diğer yapılarda ise en az zor alevlenici malzeme özelliğinde olması gereği,
- Geleneksel sisteme sahip yapılarda dış cephesi zor alevlenici malzeme özelliğinde veya sisteminden oluşan, yüksekliği 28.50 m'den az olan yapılarda ise zemin kotu üzerinden itibaren 1.5 m mesafenin hiç yanmaz malzeme ile kaplanması gereği,
- Giydirmeye sisteme sahip yapılarda derzleri açık olan veya havalandırmalı olarak tercih edilen giydirmeye sahip yapılarda kullanılan cephe ve yalıtım malzemelerinin en az zor yanıcı özellikte olması gereği söylenmektedir [42].

### **2.5.1 Yangın Yönetmeliği Değerlendirme**

Yapılarda ortaya çıkan yangınlar incelendiği zaman cephe yangınlarının büyük bir tehlike taşıdığı görülmektedir. Yapının kabuğu olarak işlev gören cepheler yangın sonucu ortaya çıkan alev ve dumanın yayılması sürecinde aktif bir rol oynamaktadır. Yapıyı iç ortam ve dış ortam olarak ikiye ayırma görevi üstlenen yapı kabuğunda kullanılan cephe elemanları, yangın sonucunda ortaya çıkan alev ve dumanın bina cephesi boyunca ilerlemesinde büyük role sahiptir. Yapıda ortaya çıkan yangına bina dışından yapılan müdahalelerin de yapı kabuğu olan cephelerden yapıldığı düşünülürse, bu alanların yangın güvenlik önlemleri açısından büyük önem arz ettiği görülmektedir.

Her gün gelişmekte olan teknoloji ile bina yapım teknikleri ve kullanılan malzemeler günden güne değişmekte ve gelişmektedir. Gelişmesi devam eden yeni yapı malzemelerinden beklenen en önemli kriterlerden biri de yapı malzemelerinin yanın güvenlik önlemleri kapsamında üretilmiş olmasıdır. Yeni gelişen yapım teknikleri ve yapı malzemelerinin yanın anında gösterdikleri davranışlarının bilinmesi yapının yanın dinamiğinin anlaşılmasına bakımından oldukça önemlidir.

Bina yapım aşamasında tercih edilen malzemelerin mümkün olduğunda yanıcılık özelliği bulunmayan ürünlerden tercih edilmesine özen gösterilmelidir. Yanıcılık özelliği olan ürünler tercih edilecek ise bu malzemelerin yanın anında ortama zehirli gaz ve duman salınımı yapmamasına ve damlama özelliği içermemesine dikkat edilmelidir. Yapının cephesinde inşaat tekniği ve kullanılan malzemeler bakımından yanın esnasında ortaya çıkacak alev, duman ve gazların yayılmasını engelleyecek biçimde teknikler ve ürünler kullanılmasına özen gösterilmelidir.

Cephelerde yanın güvenlik önlemlerinin alınabilmesine ilişkin ülkemizde 2002 yılından bu yana geçerli olan Binaların Yangından Korunması Hakkında Yönetmelik cephe elemanları ve cephe tasarım kriterleri bakımından incelenmiştir. Yangın yönetmeliği dikkatli olarak incelendiği zaman yönetmeliğin içerik ve içeriği hükümler bakımından yüzeysel olduğu, yönetmelik içerisinde daha da açıklayıcı olması adına şematik gösterimlere yer verilmediği gözlemlenmiştir. Gelişen teknoloji ile çeşitlilik bakımından artış gösteren cephe türlerinin de detaylı olarak incelenmediği açıkça görülmüştür.

Daha güvenli yapılar yapılabilmesi adına yönetmelikte yapım teknikleri ve malzeme bakımından daha çok detaya yer verilmesi ve bunların açıklayıcı olması için şematik gösterimlere de yer verilmesi gerektiği görülmüştür.

## ÜÇUNCÜ BÖLÜM

### 3. METERYAL VE METOD

20.yy başlarından günümüze kadar yapılmış ve yapımına devam edilen çift katmanlı yapı kabuğuna sahip yapılar, teknolojik gelişmeler, yeni inşaat teknikleri, yeni malzemeler de kullanılarak her geçen gün daha çok karşımıza çıkmaktadır. Bu tez çalışmasında orta yükseklikte çift katmanlı cepheye sahip açık planlı ve kapalı planlı yapılar üzerinde çalışılmıştır. Bu yapıların cephenin hava koridorunun bölünme şekline göre; kutu, şaft, koridor ve cephe boyunca olmak üzere olan ele alınarak bu yapılarda yanın anında ortaya çıkan duman ve alev yayılımları simülasyon programı üzerinden incelenmiş ve elde edilen sonuçlar yorumlanmıştır.

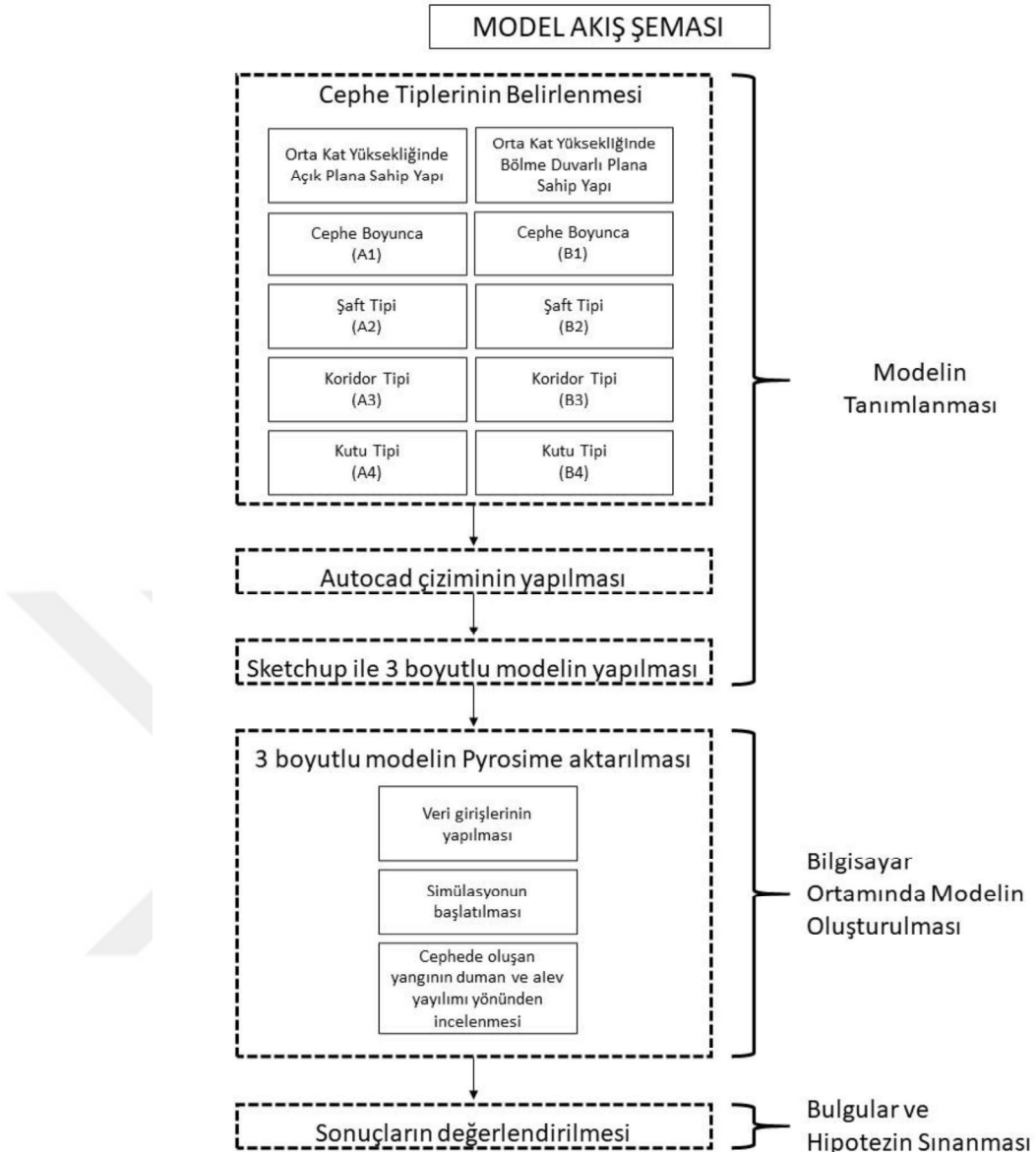
Günümüzde alan ve bina performansının sınaması için simülasyon programlarının kullanımı her geçen gün artmaktadır. Bu nedenle bu çalışma kapsamında simülasyonların yapım aşamasında ülkemizde kullanımı çok yaygın olmayan ancak yeni tercih edilmeye başlanan Pyrosim programı tercih edilmiştir. Pyrosim programı, Fire Dynamics Simulator (FDS) için kullanılabilen uygulama olarak karşımıza çıkmaktadır. Bu program genellikle yanın anında ortaya çıkan dumanın hareketlerini, sıcaklığını ve toksin konsantrasyonlarını doğru bir şekilde tahmin eden yanın simülasyonları oluşturmak için tercih edilmektedir.

Bu kurgu yapılrken ilk olarak tasarlanan yapı planları CAD programı ile çizilmiştir. Bu kapsamında temelde farklı iki plan tipine sahip açık planlı ve bölge duvarlı plana sahip yapılar kullanılmıştır. Her bir plan tipindeki yapılar üzerinden 4 farklı cephe türüne göre çizimler yapılmıştır. Bu cepheler üzerinde farklı cephe tiplerinin gösterdiği alev ve dumanın hareketini incelemek için toplamda 8 farklı tasarım oluşturulmuştur. Bu cephe tiplerinin seçilmesinin nedeni 20.yy başından bu güne kadar uygulaması artarak devam etmekte olan çift katmanlı cepheye sahip yapıların sayısıdır.

Planları ortaya çıkan yapıların modelleri 3 boyutlu model yapmamızı sağlayan program yardımıyla modellenmiştir. Oluşturulan modeller ayrı ayrı olarak Pyrosim yanın analiz programının açabileceği uzantılarda kaydedilmiştir.

Pyrosim programı üzerinde 3 boyutlu haliyle açılan modeller yanın anında oluşan alev ve dumanın açık bir pencereden dışarı çıkarak binanın tüm cephesi boyunca üst katlara doğru yayılma (leap frog effect) etkisine ait mesafenin azaltılması, sıcaklığın ve dumanın azaltılması olmak üzere performans kriterleri belirlenmiştir. Çalışma ile bir odadaki masa üzerinde başlayan ve bir tutuşmayla gerçekleşecek tasarım yanının, pencerenin açıklığından dışarı doğru çıkması ve cephe yüzeyi boyunca yayılmasına üzerine senaryolar kurgulanmıştır. Tasarlanan yanına yönelik sayısal verilerin neler olduğu ilerleyen bölümlerde sunulmuştur.





Şekil 3 1: Modelleme akış şeması

### 3.1 Modelin Tanımlanması

Yangın tasarım senaryosu için yapının plan tipi ve çift katmanlı cephe türleri dikkate alınarak 8 ayrı tip model tasarımı öngörülmüş ve belirlenen cephelere ait tasarım özellikleri Tablo 3.1'de gösterilmiştir.

Tablo 3. 1: Çalışma için oluşturulan yapı tipleri ve özellikleri

| Cephe Özellikleri |                 |                    |               |                       |
|-------------------|-----------------|--------------------|---------------|-----------------------|
| Model             | Yapı tüksekliği | Plan Tipi          | Cephe Tipi    | Cepheler arası mesafe |
| A1                | 18m             | Açık plan          | Cephe boyunca | 120 cm                |
| A2                | 18m             | Açık plan          | Şaft tipi     | 120 cm                |
| A3                | 18m             | Açık plan          | Koridor tipi  | 120 cm                |
| A4                | 18m             | Açık plan          | Kutu tipi     | 120 cm                |
| B1                | 18m             | Bölme duvarlı plan | Cephe boyunca | 120 cm                |
| B2                | 18m             | Bölme duvarlı plan | Şaft tipi     | 120 cm                |
| B3                | 18m             | Bölme duvarlı plan | Koridor tipi  | 120 cm                |
| B4                | 18m             | Bölme duvarlı plan | Kutu tipi     | 120 cm                |

A1, A2, A3, A4, B1, B2, B3 ve B4 modellerinin bina bütünü olarak modellenmiş hallerine ait ön görünüşler Şekil 3.2, Şekil 3.3, Şekil 3.4 ve Şekil 3.5'te gösterilmiştir.



Şekil 3. 2: A1 ve B1 yapı dış görünüşü



Şekil 3. 3: A2 ve B2 yapı dış görünüşü

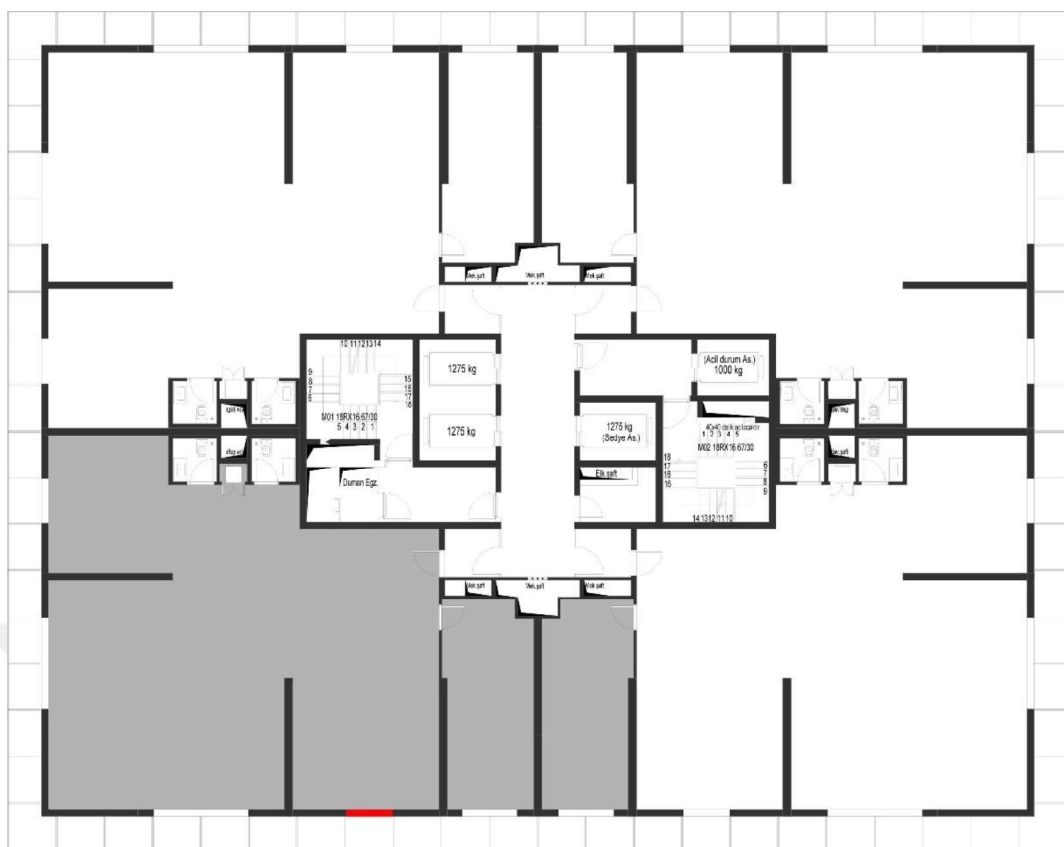


Şekil 3. 4: A3 ve B3 yapı dış görünüşü



Şekil 3. 5: A4 ve B4 yapı dış görünüşü

Yapının 1. katında yer alan dairenin içerisinde bir yangın oluşması ve bu yangının Şekil 3.6 ve 3.7 de kırmızı ile işaretli olarak gösterilen ve tasarım yanında açık olarak kurgulanan pencereden çıkıştı planlanmıştır. Yangın senaryoları bu senaryoya göre oluşturulmuştur. Yangın senaryosu için modellenen bina bölümü gri ile gösterilmiştir. Yangın tasarım senaryosu için tasarlanan açık planlı ve bölme duvarlı yapı tiplerine ait planlar Şekil 3.6 ve Şekil 3.7'de yer almaktadır.



Şekil 3. 6: Açık planda şaft tipi cepheye sahip yapı



Şekil 3. 7: Bölme duvarlı planda şaft tipi cepheye sahip yapı

Tasarlanan yangın senaryosunda pencereye yakın bir masa üzerinde unutulan yanıcı maddenin alevlenmesiyle birlikte alevlerin pencereden dışarı doğru yayılması planlanmıştır. Çift katmanlı cephe tipleri ile ilgili oluşturulan senaryolarda sıcaklık ve HRR değişim verilerinin ölçümünün yapılabilmesi için sanal ortamda tanımlanan ölçüm cihazı (thermocouple) ikinci kat döşemesinin hemen üzerine yerleştirilmiştir. Senaryodaki belirli bir düzlem üzerindeki sıcaklığın etkisini gözlemlemek için x yönünde kromatik düzlem (slice) kullanılmıştır. Şekil 3.8'de açık plan, Şekil 3.9'da bölme duvarlı plan tipi üzerinden temsili olarak cihaz (thermocouple) yerleşimi gösterilmiştir.



Şekil 3.8: Açık planda şaft tipi cepheye sahip yapıda temsili thermocouple gösterimi



Şekil 3. 9: Bölme duvarlı planda şaft tipi cepheye sahip yapıda temsili thermocouple gösterimi

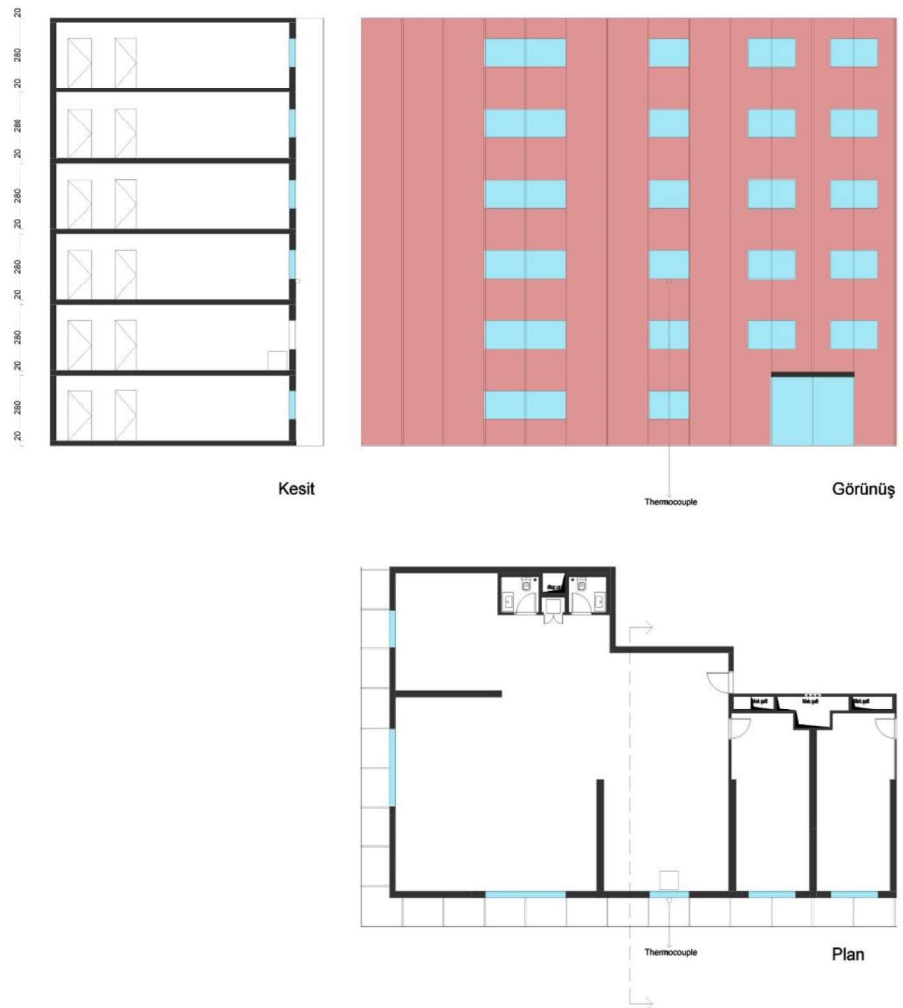
Açık plana ve bölüm duvarlı plana sahip yapılarda kullanılan farklı cephe tiplerini yanın güvenliği bakımında analiz edebilmek için oluşturulan tasarım yanın senaryosu analizi yalınlaştıracak biçimde kurgulanmıştır. Her bir örnek için; kat yüksekliği 3,00 metre olarak belirlenmiştir. Yapı zemin kat üzeri 5 kat olmak üzere toplam 6 katlı olacak şekilde çizilmiştir. Tasarım yanın senaryosu sonucunda alevlerin odadan çıkacağı 1,68 m. x 1,20 m. ölçülerinde olmak üzere toplam 2.01 metrekarelik yüzey alanına sahip pencere boşlukları oluşturulmuştur

**A Tipi Yapı Senaryosu:** A tipi senaryoda 4 adet alt model oluşturulmuştur. Bu modellerin her biri açık plana sahip olacak biçimde tasarlanmıştır. Tüm modellerde 1. katta yanının çıkacağı pencere hariç tüm pencereler kapalı olarak modellenmiştir. A1

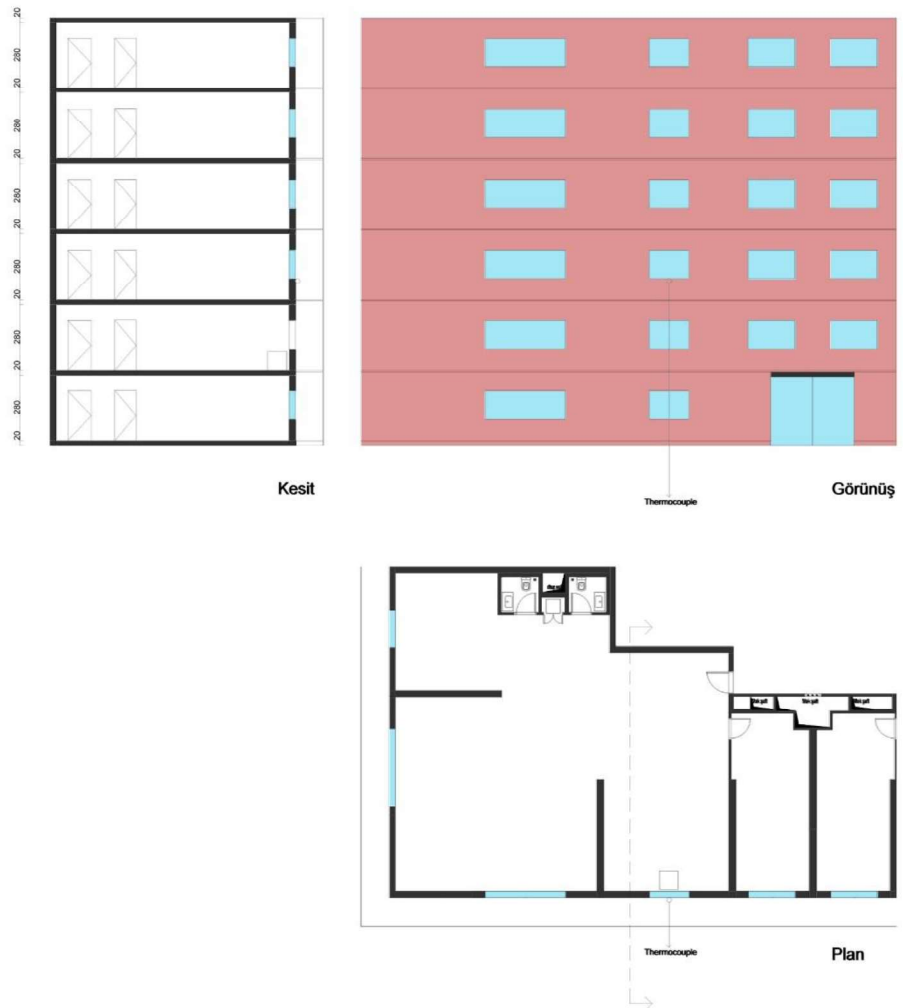
modelinde çift kabuklu cephenin cephe boyunca tipi, A2 modelinde şaft tipi, A3 modelinde koridor tipi ve A4 modelinde kutu tipi kullanılmıştır. A tipi yapı senaryolarına ait çizimler Şekil 3.10, Şekil 3.11, Şekil 3.12 ve Şekil 3.13'te gösterilmiştir.



Şekil 3. 10: A1 modeli plan, kesit ve görünüsü



Şekil 3. 11: A2 modeli plan, kesit ve görünüşü



Şekil 3. 12: A3 modeli plan, kesit ve görünüşü



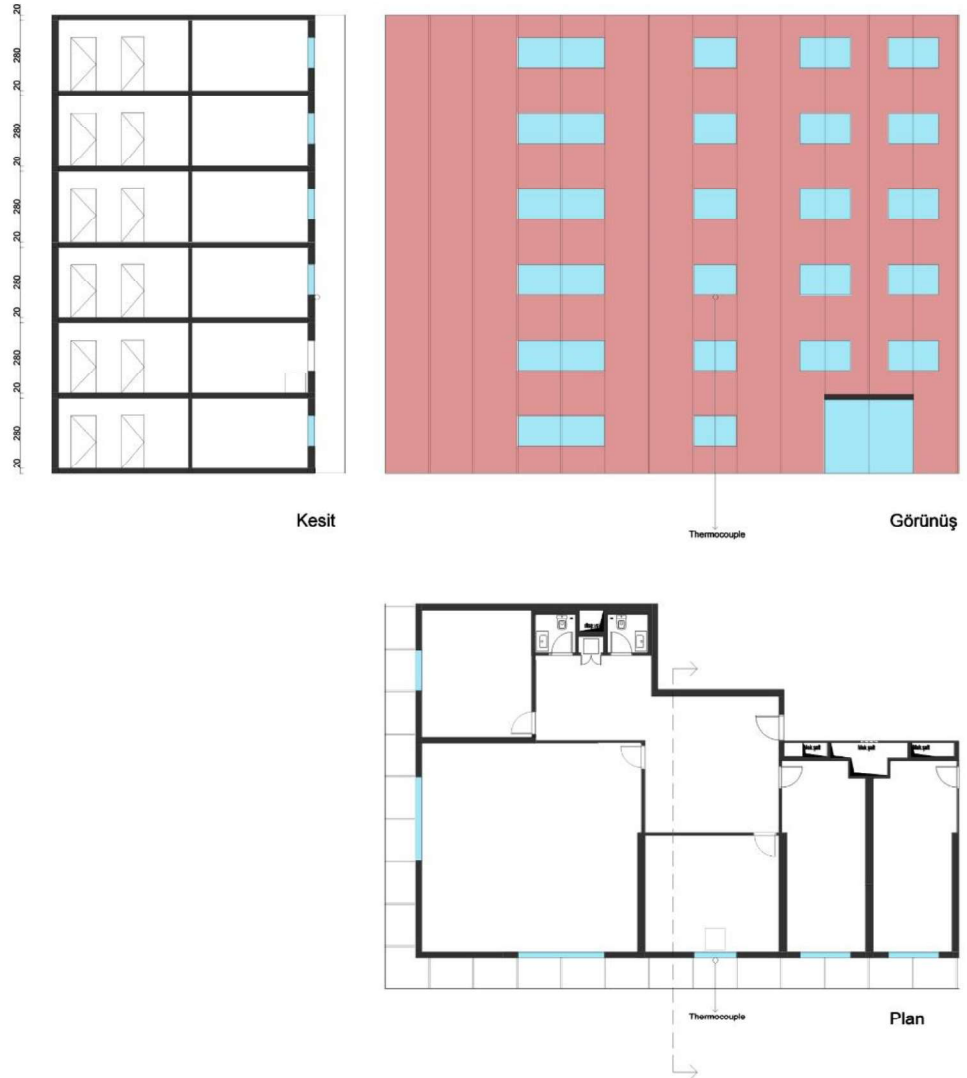
Şekil 3. 13: A4 modeli plan, kesit ve görünüsü

B Tipi Yapı Senaryosu: B tipi senaryoda 4 adet alt model oluşturulmuştur. Bu modellerin her biri bölme duvarlı plana sahip olacak biçimde tasarlanmıştır. Tüm modellerde 1. katta yangının çıkacağı pencere hariç tüm pencereler kapalı olarak modellenmiştir. B1 modelinde çift kabuklu cephenin cephe boyunca tipi, B2 modelinde şaft tipi, B3 modelinde koridor tipi ve B4 modelinde kutu tipi kullanılmıştır.

B tipi yapı senaryolarına ait çizimler Şekil 4.14, Şekil 4.15, Şekil 4.16 ve Şekil 4.17'de gösterilmiştir.



Şekil 3. 14: B1 modeli plan, kesit ve görünüsü



Şekil 3. 15: B2 modeli plan, kesit ve görünüsü



Şekil 3. 16: B3 modeli plan, kesit ve görünüsü



Şekil 3. 17: B4 modeli plan, kesit ve görünüsü

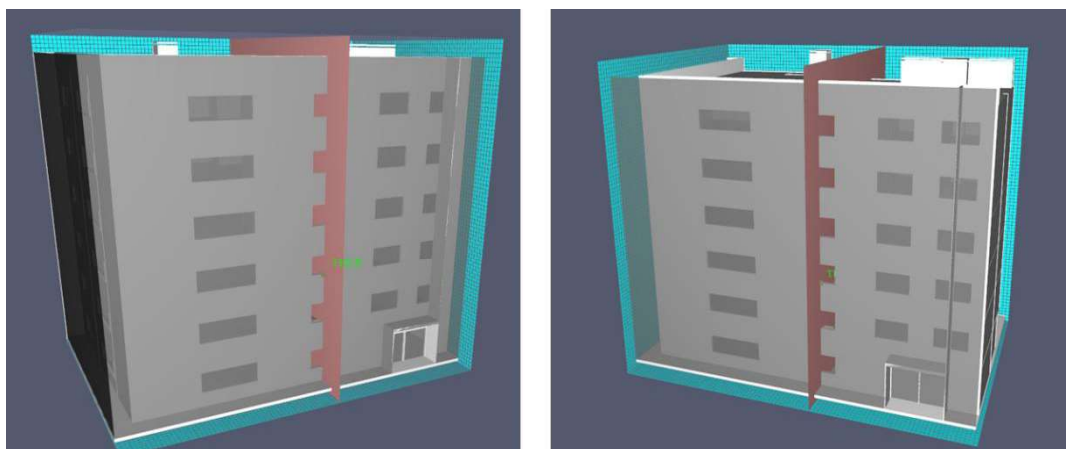
### 3.2 Bilgisayar Ortamında Modelin Oluşturulması

Yangın sonucu ortaya çıkan alev ve dumanın açık planlı ve bölme duvarlı plan tipine sahip yapıda kullanılan çift kabuk türüne bağlı olarak gösterdiği yayılımlar incelenmiştir.

Pyrosim programı üzerinden bilgisayar ortamında oluşturulan alan 22,77 m x 15,29 m x 18 m. olarak atanmıştır. Her bir hücrenin programa girdisi 0,25 m. x 0,25 m. x 0,25 m. ebatlarında olacak şekilde yapılmıştır. Simülasyonun genel parametreleri Tablo 4.1'de tanımlanmıştır. Yangın senaryosu zemin kat üzerine 5 kat olmak üzere toplam 6 katlı bina olarak modellenmiştir. Modelenen binanın her katında yer alan 4 daireden sadece 1'i baz alınarak simülasyon yapılmıştır. Her bir kat 3 m. yüksekliğindedir ve her kat 20 cm.'lik tutuşmaz malzeme özelliğindeki dösemeler ile birbirinden ayrılmıştır. Senaryolarda yanın yükü yoğunluğu 500 MJ/m<sup>2</sup> olarak atanmıştır. İlk tutuşma oda içerisindeki masanın yanmaya başlamasıyla gerçekleşmiştir ve açığa çıkan ısı oranı (HRR) 1000 kW olarak atanmıştır.

### 3.2.1 A Tipi Senaryoların Bilgisayar Modellemesi

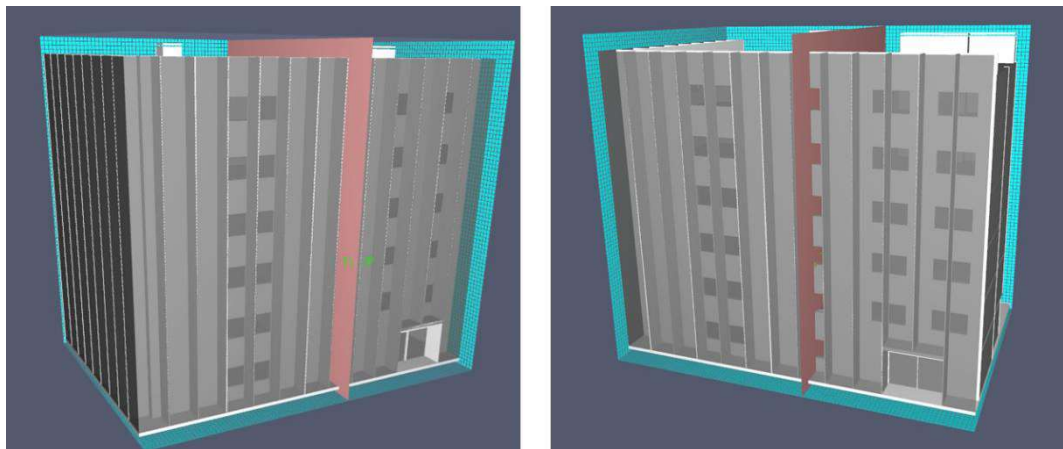
A1 Senaryosu: 100 saniyelik simülasyon hesaplaması için A1 senaryosu Şekil 3.18' de görülen şekilde modellenmiştir, bu modelde 497.904 adet hücre kullanılmıştır. Yangın sonucu ortaya çıkan alevden kaynaklı sıcaklığın ve dumanın hareketinin açık plana sahip bir yapının çift katmanlı cephe türlerinden cephe boyunca tipinde nasıl bir hareket izlediğini ölçmek üzere x yönünde dilim (slice) ve 2. kat penceresinin altına da ölçüm amaçlı 1 adet ıslı çift (thermocouple) yerleştirilmiştir.



Şekil 3. 18: A1 Modeli

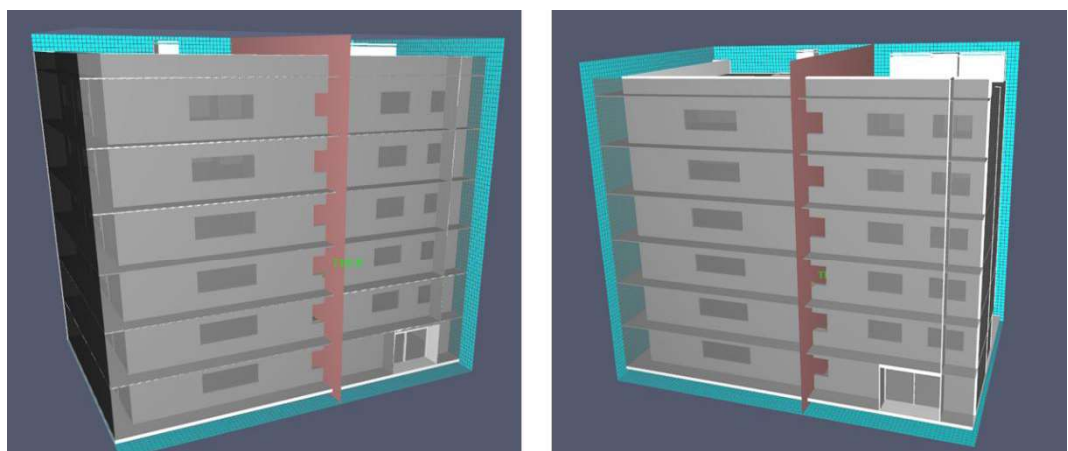
A2 Senaryosu: 100 saniyelik simülasyon hesaplaması için A2 senaryosu Şekil 3.19' da görülen şekilde modellenmiştir, bu modelde 497.904 adet hücre kullanılmıştır. Yangın sonucu ortaya çıkan alevden kaynaklı sıcaklığın ve dumanın hareketinin açık plana sahip bir yapının çift katmanlı cephe türlerinden şaft tipinde

nasıl bir hareket izlediğini ölçmek üzere x yönünde dilim (slice) ve 2. kat penceresinin altına da ölçüm amaçlı 1 adet ıslık çift (thermocouple) yerleştirilmiştir.



Şekil 3. 19: A2 Modeli

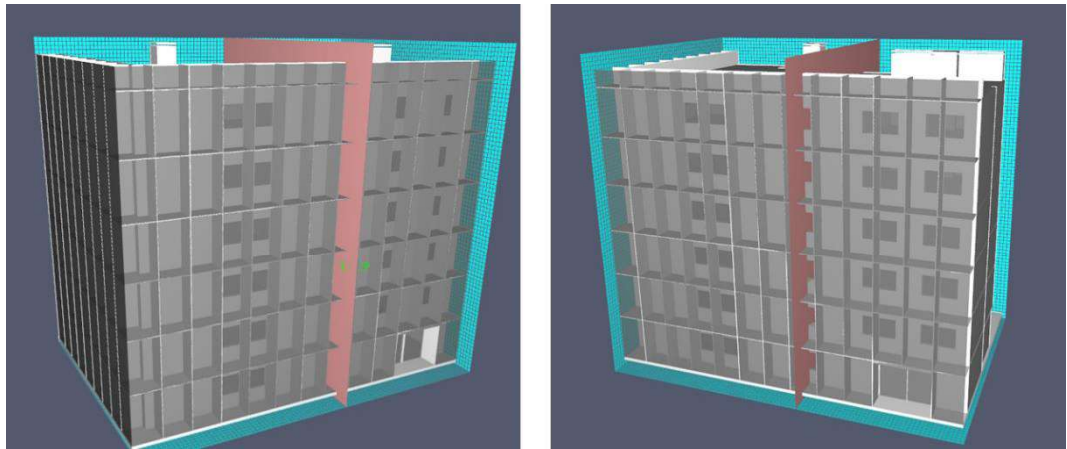
A3 Senaryosu: 100 saniyelik simülasyon hesaplaması için A3 senaryosu Şekil 3.20’ de görülen şekilde modellenmiştir, bu modelde 497.904 adet hücre kullanılmıştır. Yangın sonucu ortaya çıkan alevden kaynaklı sıcaklığın ve dumanın hareketinin açık plana sahip bir yapının çift katmanlı cephe türlerinden koridor tipinde nasıl bir hareket izlediğini ölçmek üzere x yönünde dilim (slice) ve 2. kat penceresinin altına 1 adet ıslık çift (thermocouple) yerleştirilmiştir.



Şekil 3. 20: A3 Modeli

A4 Senaryosu: 100 saniyelik simülasyon hesaplaması için A4 senaryosu Şekil 3.21’ de görülen şekilde modellenmiştir, bu modelde 497.904 adet hücre kullanılmıştır. Yangın sonucu ortaya çıkan alevden kaynaklı sıcaklığın ve dumanın

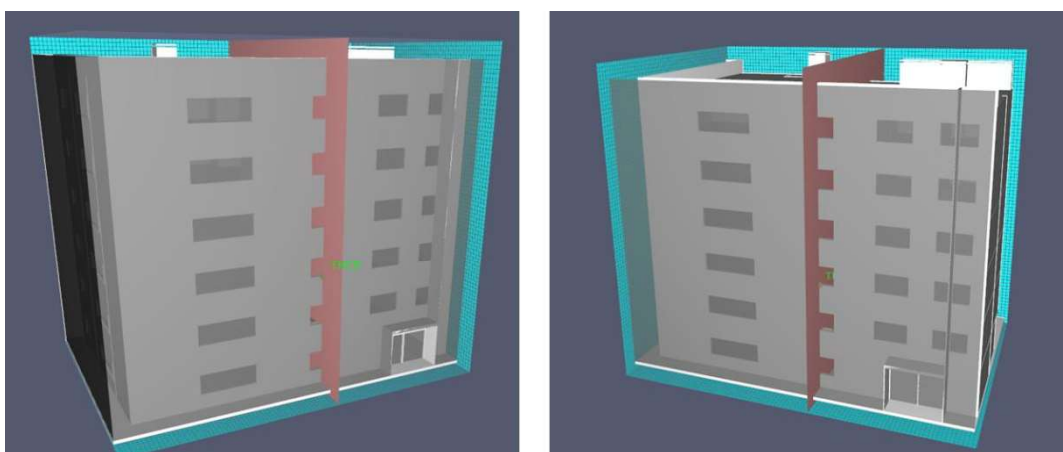
hareketinin açık plana sahip bir yapının çift katmanlı cephe türlerinden kutu tipinde nasıl bir hareket izlediğini ölçmek üzere x yönünde dilim (slice) ve 2. kat penceresinin altına 1 adet ıslık çift (thermocouple) yerleştirilmiştir.



Şekil 3. 21: A4 Modeli

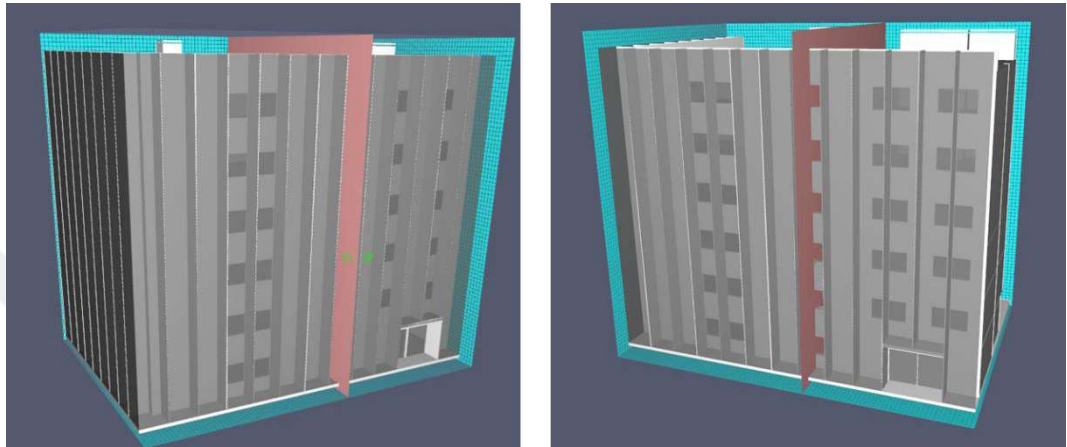
### 3.2.2 B Tipi Senaryoların Bilgisayar Modellemesi

B1 Senaryosu; 100 saniyelik simülasyon hesaplaması için B1 senaryosu Şekil 3.22’ de görülen şekilde modellenmiştir, bu modelde 497.904 adet hücre kullanılmıştır. Yangın sonucu ortaya çıkan alevden kaynaklı sıcaklığın ve dumanın hareketinin açık plana sahip bir yapının çift katmanlı cephe türlerinden cephe boyunca tipinde nasıl bir hareket izlediğini ölçmek üzere x yönünde dilim (slice) ve 2. kat penceresinin altına da ölçüm amaçlı 1 adet ıslık çift (thermocouple) yerleştirilmiştir.



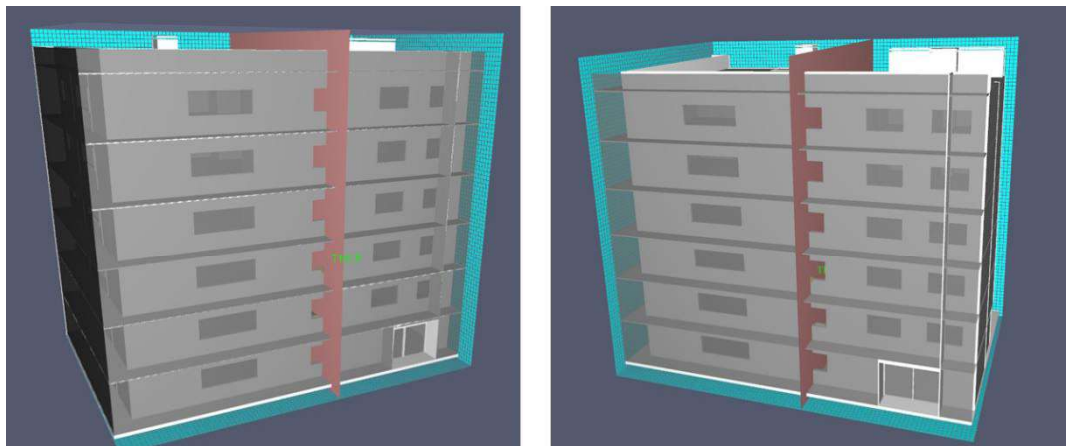
Şekil 3. 22: B1 Modeli

B2 Senaryosu: 100 saniyelik simülasyon hesaplaması için B2 senaryosu Şekil 3.23' de görülen şekilde modellenmiştir, bu modelde 497.904 adet hücre kullanılmıştır. Yangın sonucu ortaya çıkan alevden kaynaklı sıcaklığın ve dumanın hareketinin açık plana sahip bir yapının çift katmanlı cephe türlerinden şaft tipinde nasıl bir hareket izlediğini ölçmek üzere x yönünde dilim (slice) ve 2. kat penceresinin altına da ölçüm amaçlı 1 adet ıslık çift (thermocouple) yerleştirilmiştir.



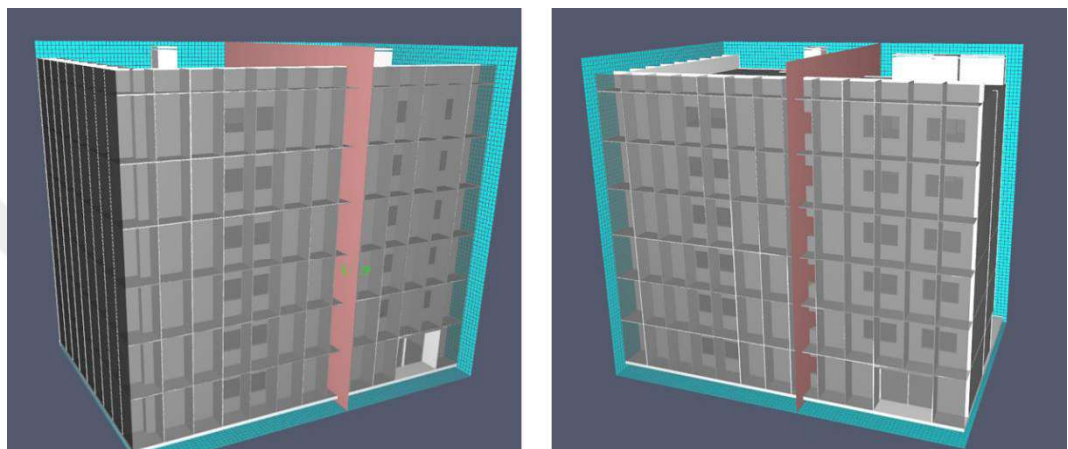
Şekil 3. 23: B2 Modeli

B3 Senaryosu: 100 saniyelik simülasyon hesaplaması için B3 senaryosu Şekil 3.24' de görülen şekilde modellenmiştir, bu modelde 497.904 adet hücre kullanılmıştır. Yangın sonucu ortaya çıkan alevden kaynaklı sıcaklığın ve dumanın hareketinin açık plana sahip bir yapının çift katmanlı cephe türlerinden koridor tipinde nasıl bir hareket izlediğini ölçmek üzere x yönünde dilim (slice) ve 2. kat penceresinin altına 1 adet ıslık çift (thermocouple) yerleştirilmiştir.



Şekil 3. 24: B3 Modeli

B4 Senaryosu; 100 saniyelik simülasyon hesaplaması için B4 senaryosu Şekil 3.25' de görülen şekilde modellenmiştir, bu modelde 497.904 adet hücre kullanılmıştır. Yangın sonucu ortaya çıkan alevden kaynaklı sıcaklığın ve dumanın hareketinin açık plana sahip bir yapının çift katmanlı cephe türlerinden kutu tipinde nasıl bir hareket izlediğini ölçmek üzere x yönünde dilim (slice) ve 2. kat penceresinin altına 1 adet ıslık çift (thermocouple) yerleştirilmiştir.



Şekil 3. 25: B4 Modeli

## DÖRDÜNCÜ BÖLÜM

### 4. BULGULAR VE HİPOTEZİN SINANMASI

Açık planlı ve bölme duvarlı plan tipine sahip çift katmanlı cephenin hava koridorunun bölünme şekline göre sınıflandırıldığı; kutu, şaft, cephe boyunca ve koridor tipinin kullanılması ile tasarlanan yapılarda, yanınan anında ortaya çıkan alev ve duman yayılımı pyrosim programı üzerinden hazırlanan 100 saniyelik 8 senaryo üzerinden incelenmiştir. Simülasyonlar sonucunda ortaya çıkan HRR ve sıcaklık değerleri her 100 saniyelik simülasyon için 1001 adet veri olarak elde edilmiştir. Elde edilen bu verilerden A1 senaryosunun sonuçları EK-2'de tablo halinde sunulmuştur.

Pyrosim programında yapılan simülasyonlar sonucunda duman ve sıcaklık değerlerinin zamana göre grafiksel değişimi "analysis" başlığının altında bulunan "plot time history result" bölümünden görülmüştür.

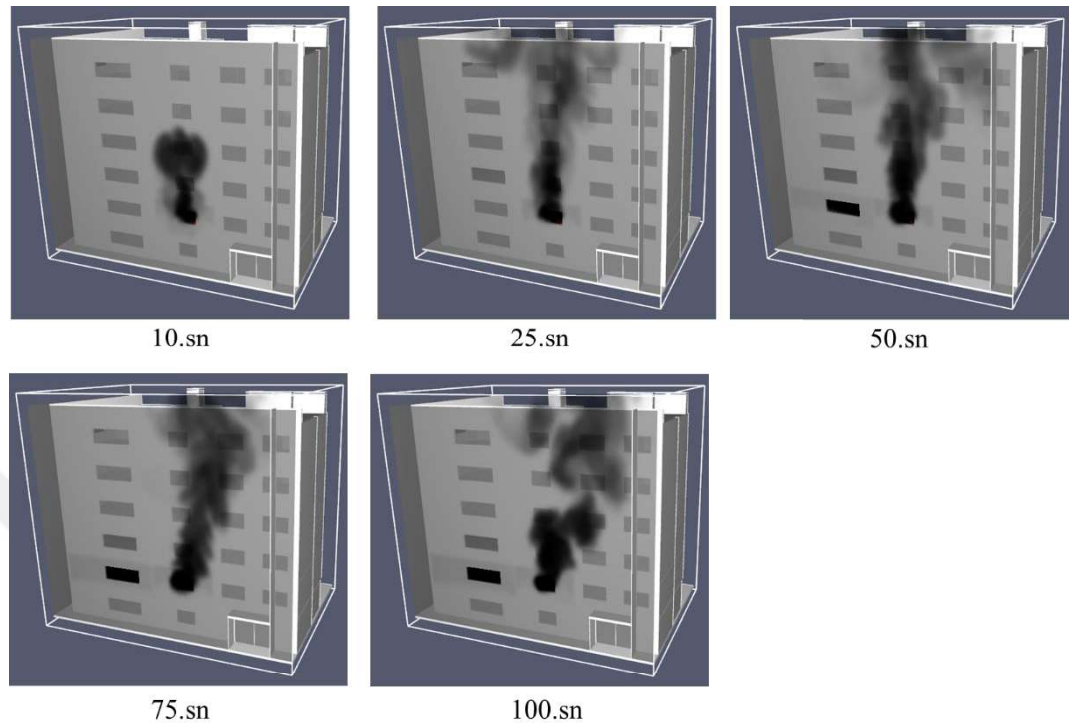
Pyrosim programında yapılan simülasyonlar sonucunda duman ve sıcaklık değerlerinin zamana göre görsel değişim sonuçları da elde edilmiştir. Duman yayılımı smv uzantılı dosyanın içerisinde yer alan "3d smoke" bölümünden, sıcaklık değişimi ise "2d slice" bölümünden görülmüştür.

Açık plan ve bölme duvarlı plan tipine sahip yapılar kullanılarak elde edilen sonuçlar; ilk olarak aynı tipte yapıların duman, sıcaklık ve HRR değeri bakımından kendi içerisinde, daha sonra tüm cephe tipleri ve plan tipleri bir araya getirilerek hem plan tipi hem de cephe tipinin gösterdiği farklılıklar baz alınarak incelenmiştir. Bu bağlamda yapılan değerlendirmeler aşağıda verilmiştir.

#### A1 Senaryosu:

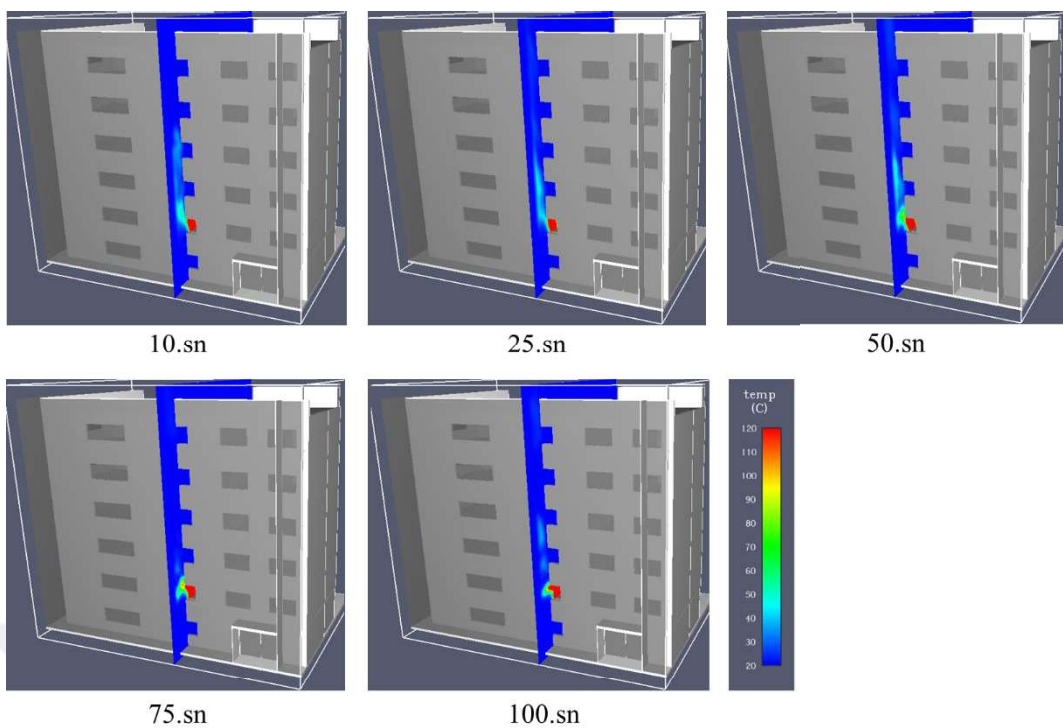
A1 senaryosunda oluşturulan tasarım yanını sonucunda ortaya çıkan duman yayılımının 10., 25., 50., 75. ve 100. saniyesine ait görüntüler Şekil 5.1'de görülmektedir. 10. saniyede duman cephe yüzeyinde ikinci kat seviyesine ulaşmış olarak görülmektedir. 25. saniyede dumanlar ikinci kat penceresinde de yoğun bir biçimde görülmektedir. Duman bu saniyede aynı hızadaki diğer pencerelerde de

kendini göstermiştir. 50. saniye sonrasında yanının ortaya çıktıgı dairede bulunan diğer odalarda ve cephe üzerinde yayılımına devam ettiği gözlemlenmiştir.



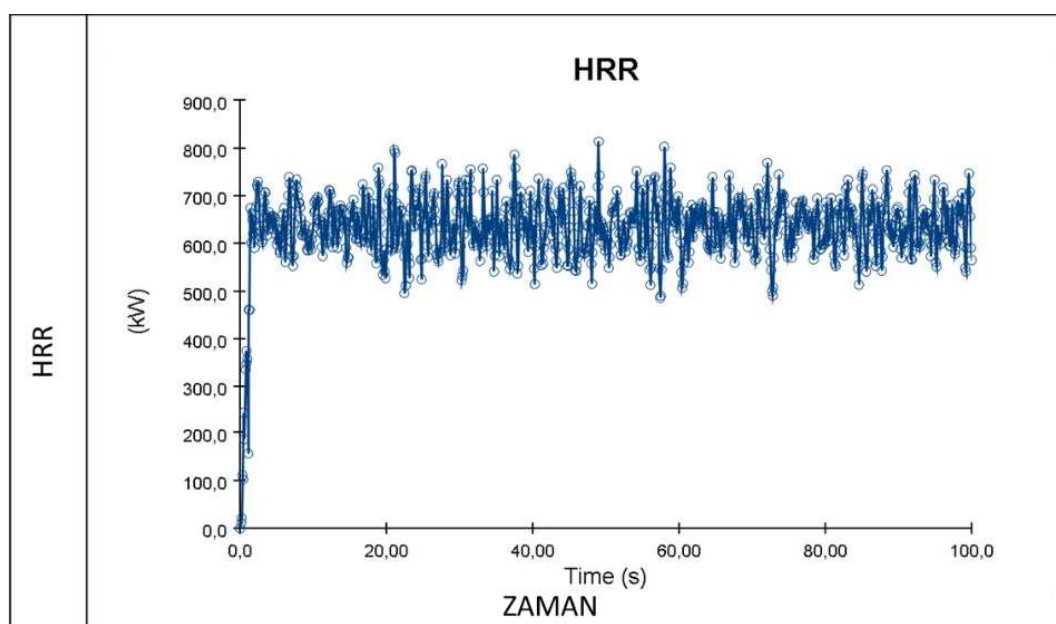
Şekil 5.1: A1 senaryosu duman yayılımı

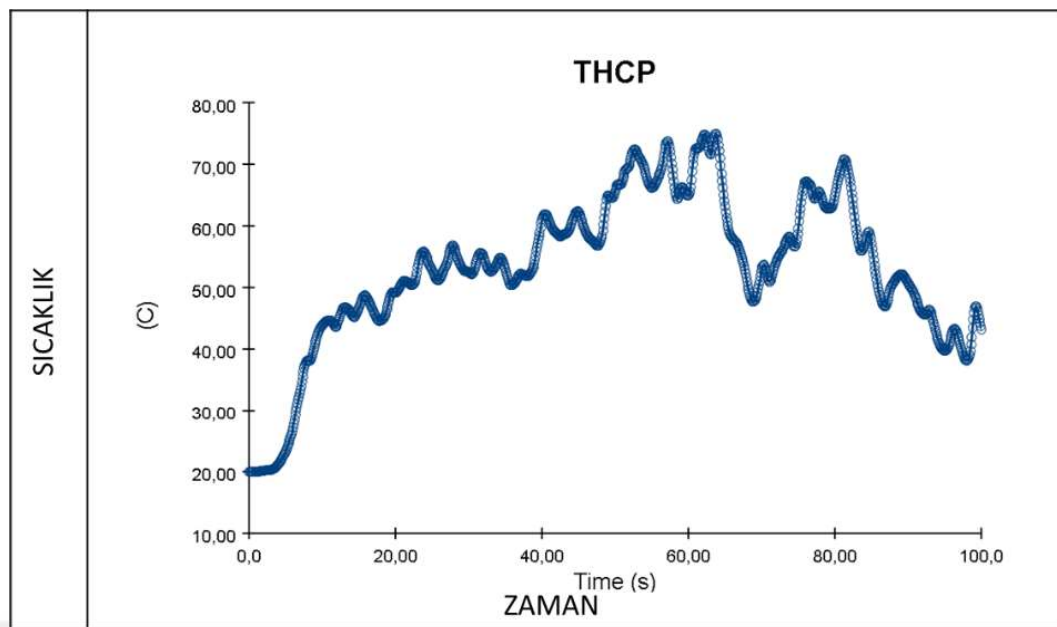
A1 senaryosunda oluşturulan tasarım yanını sonucunda ortaya çıkan alev ve sıcaklık yayılımının 10., 25., 50., 75. ve 100. saniyesine ait görüntüler Şekil 5.2'de görülmektedir. 10. saniyede yanın sonucu ortaya çıkan alevin oda içerisinde olduğu görülmektedir. 25. saniyeden itibaren alevlerin yavaş yavaş cephe yüzeyine doğru hareket ettiği gözlemlenmiştir. 50. saniye ve sonrasında alevler odadan cepheye doğru geçmiştir.



Şekil 5.2: A1 senaryosu sıcaklık yayılımı

100 saniyelik simülasyon sonucunda ıslıl çiftten ölçülen en yüksek sıcaklık değeri  $75^{\circ}\text{C}$  olarak yaklaşık 63. saniyede görülmüştür. Aynı şekilde 100 saniyelik simülasyon süresince A1 senaryosundaki en yüksek HRR değeri 820 kW olarak yaklaşık 55.saniyede ölçülmüştür. Simülasyona ait HRR ve sıcaklık değerleri Şekil 5.3'de gösterilmiştir.

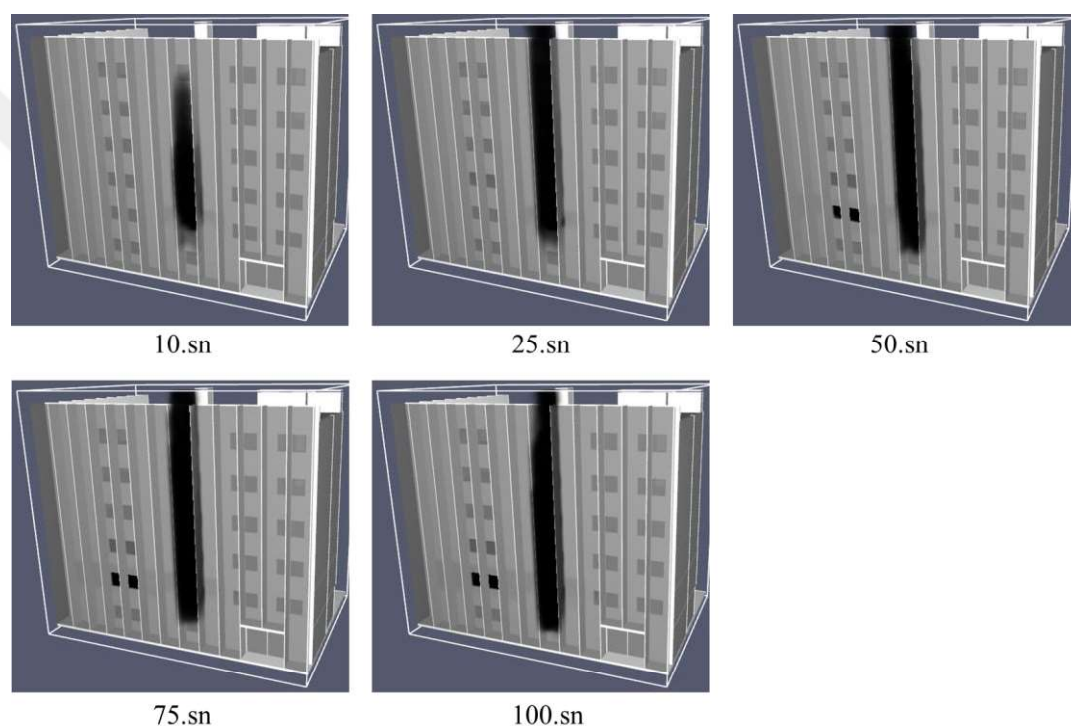




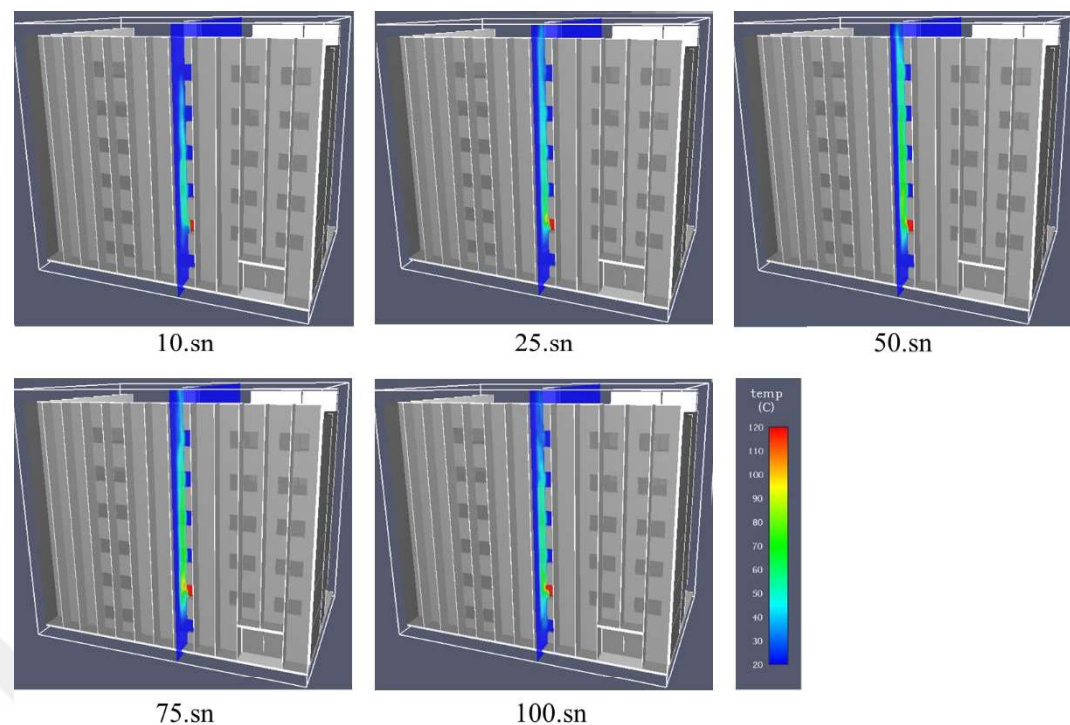
Şekil 5.3: A1 simülasyonu HRR-zaman ve sıcaklık-zaman grafiği

## A2 Senaryosu:

A2 senaryosunda oluşturulan tasarım yangını sonucunda ortaya çıkan duman yayılımının 10., 25., 50., 75. ve 100. saniyesine ait görüntüler Şekil 5.4'te görülmektedir. 10. saniyede dumanın cephe yüzeyinde 1.kat seviyesinden 4. kat seviyesine kadar gelmiş olduğu görülmektedir. 25. saniyede dumanların 1.kat seviyesinden 5.kat seviyesine kadar ilerlediği görülmüştür. 50. saniye sonrasında dumanın yangının çıktıgı dairede bulunan diğer odalara da yayıldığı ve cephede zemin kat da dahil olmak üzere yayılımına devam ettiği gözlemlenmiştir.

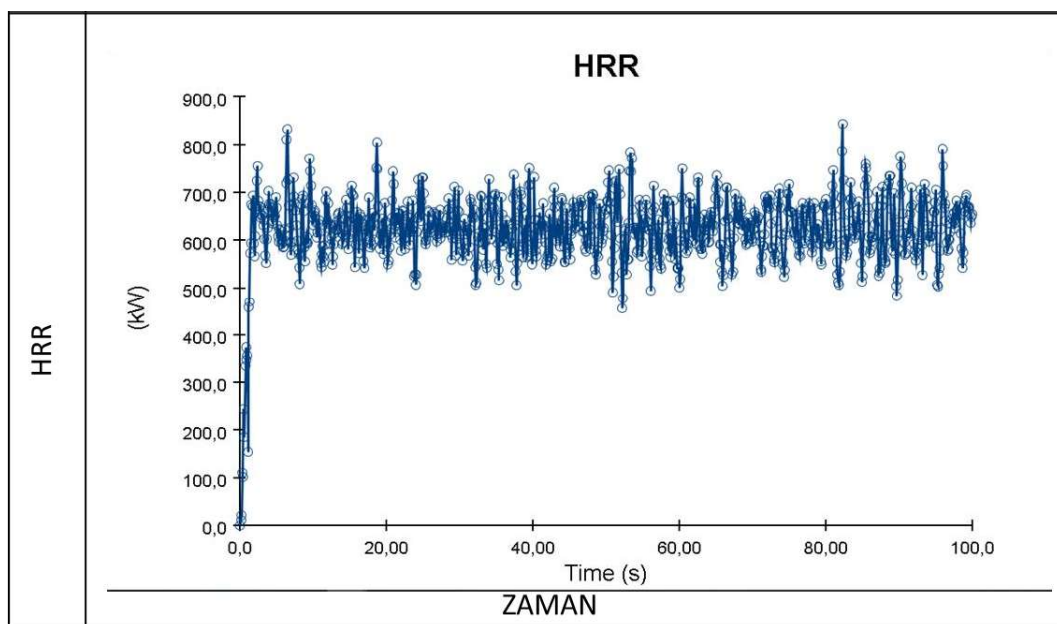


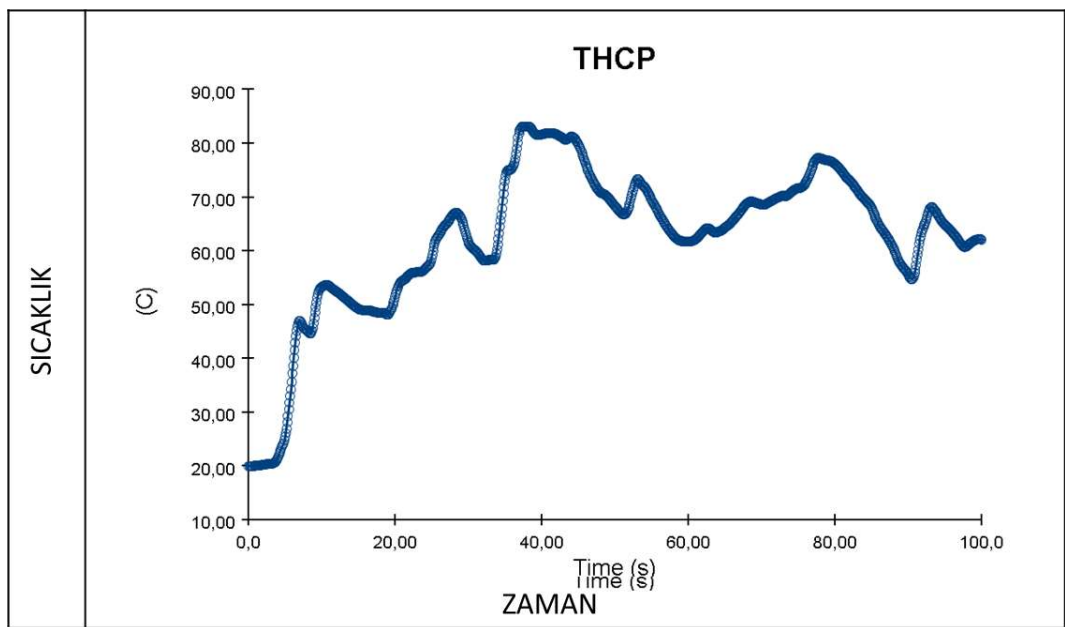
A2 senaryosunda oluşturulan tasarım yangını sonucunda ortaya çıkan alev ve sıcaklık yayılımının 10., 25., 50., 75. ve 100. saniyesine ait görüntüler Şekil 5.5'te görülmektedir. 10. saniyede yanık sonucu ortaya çıkan alevin oda içerisinde olduğu görülmektedir. 25. saniyeden itibaren alevlerin yavaş yavaş cephe yüzeyine doğru hareket ettiği gözlemlenmiştir. 50. Saniye ve sonrasında alevler odadan cepheye doğru geçmiş ve 5. Kat seviyesine kadar ilerlemiştir. 75. saniye sonrasında alevlerin zemin kat yönüne doğru da etkisini gösterdiği sonucuna ulaşmıştır.



Şekil 5.5: A2 senaryosu sıcaklık yayılımı

100 saniyelik simülasyon sonucunda ıslık çiftten ölçülen en yüksek sıcaklık değeri  $85^{\circ}\text{C}$  olarak yaklaşık 40. saniyede görülmüştür. Aynı şekilde 100 saniyelik simülasyon süresince A2 senaryosundaki en yüksek HRR değeri  $840 \text{ kW}$  olarak yaklaşık 82.saniyede ölçülmüştür. Simülasyona ait HRR ve sıcaklık değerleri Şekil 5.6'da gösterilmiştir.

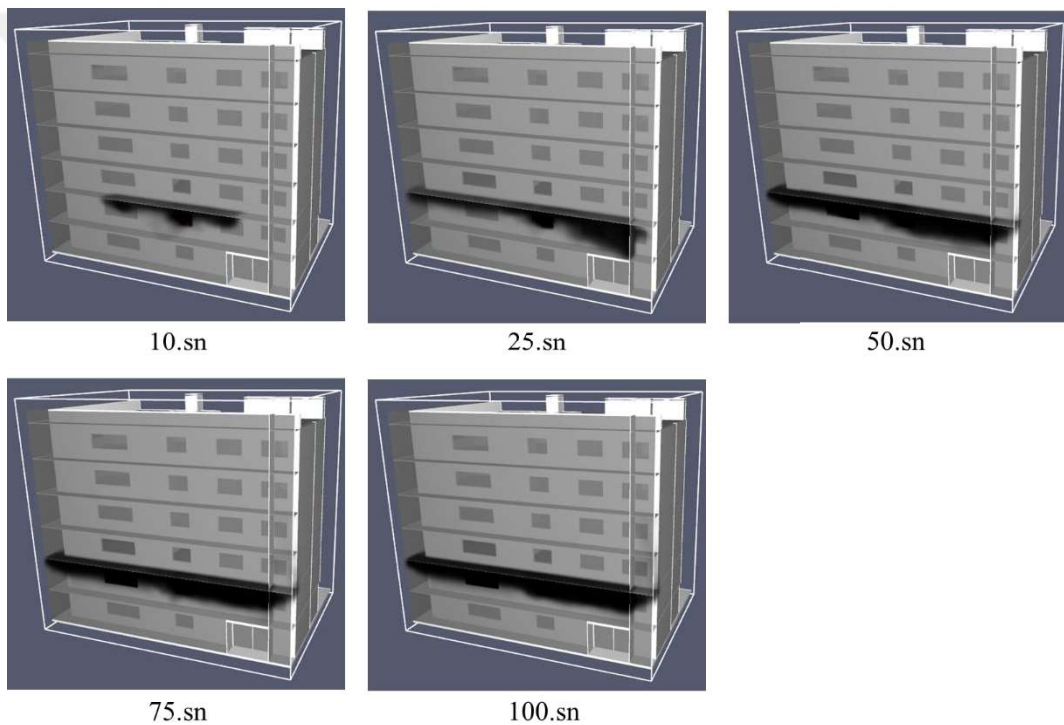




Şekil 5.6: A2 simülasyonu HRR-zaman ve sıcaklık-zaman grafiği

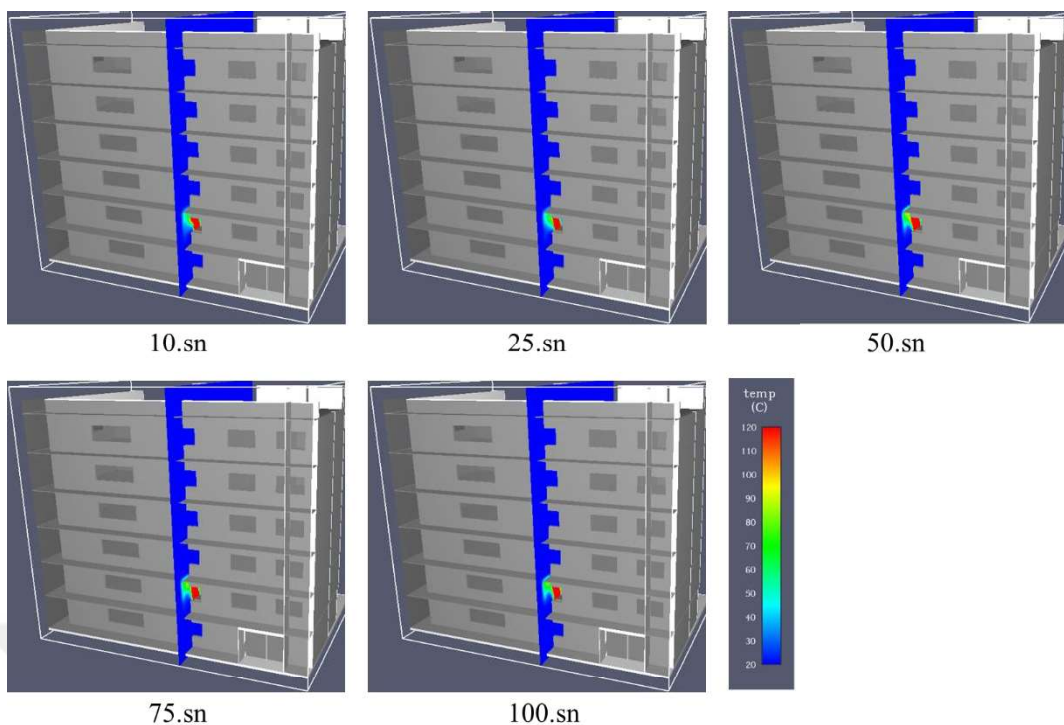
### A3 Senaryosu:

A3 senaryosunda oluşturulan tasarım yangını sonucunda ortaya çıkan duman yayılımının 10., 25., 50., 75. ve 100. saniyesine ait görüntüler Şekil 5.7'de görülmektedir. 10. saniyede dumanın cephe tipinden kaynaklı olarak yatay ilerlediği ve cephe yüzeyinde 1.kat seviyesinde yangının ortaya çıktıığı odanın iki yanında bulunan odalara geldiği görülmüştür. 25. saniyede dumanların bulunduğu kat boyunca ilerlediği görülmüştür ayrıca bu saniyede dumanın sadece cephede değil yangının çıktıığı dairede bulunan diğer odalara da yayıldığı gözlemlenmiştir. Simülasyonun devamında dumanların kat boyunca ilerlediği görülmüştür.



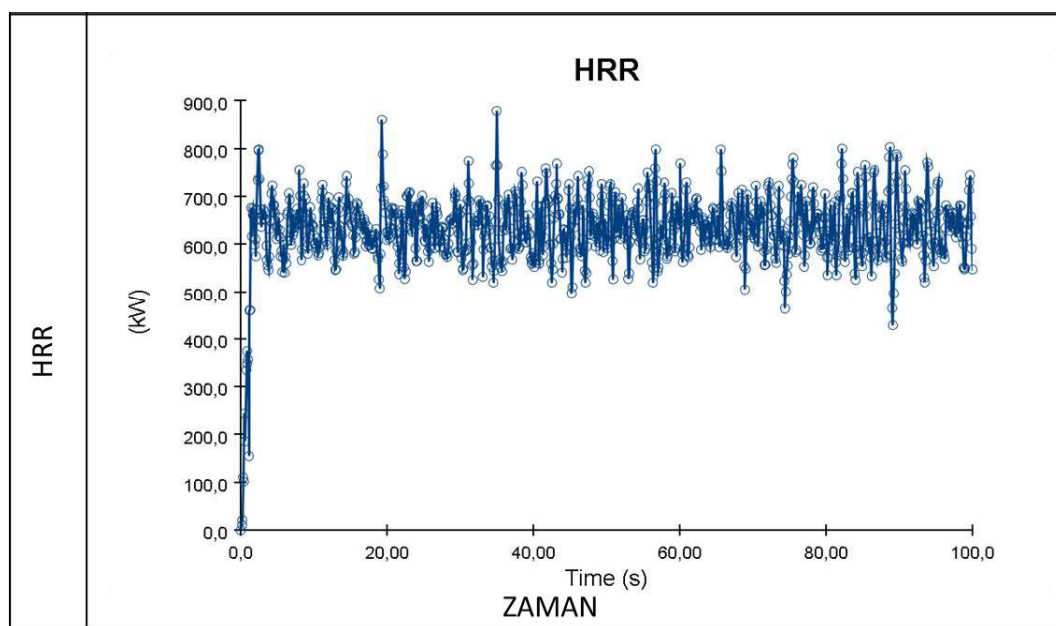
Şekil 5.7: A3 senaryosu duman yayılımı

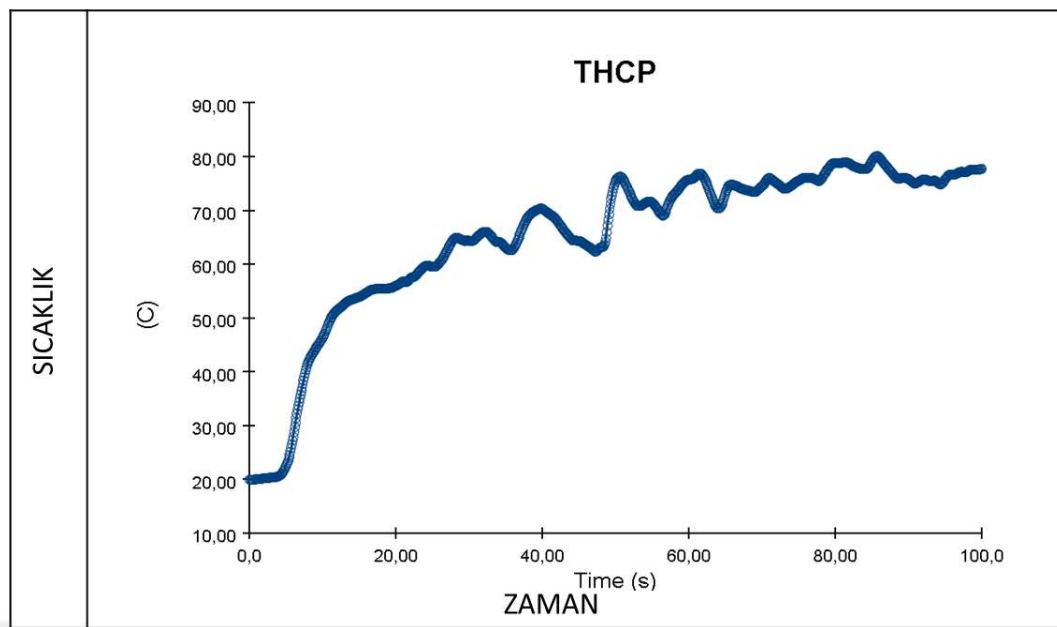
A3 senaryosunda oluşturulan tasarım yangını sonucunda ortaya çıkan alev ve sıcaklık yayılımının 10., 25., 50., 75. ve 100. saniyesine ait görüntüler Şekil 5.8'de görülmektedir. 10. saniyede yangın sonucu ortaya çıkan alevin oda içerisinde olduğu görülmektedir. 25. saniyeden itibaren alevlerin yavaş yavaş cephe yüzeyine doğru hareket ettiği gözlemlenmiştir. 50. saniye ve sonrasında alevler odadan cepheye doğru geçmiştir ve alevlerin yangının ortaya çıktıığı kat üzerinde etkisini gösterdiği sonucuna ulaşılmıştır.



Şekil 5.8: A3 senaryosu sıcaklık yayılımı

100 saniyelik simülasyon sonucunda ıslık çiftten ölçülen en yüksek sıcaklık değeri  $80^{\circ}\text{C}$  olarak yaklaşık 90. saniyede görülmüştür. Aynı şekilde 100 saniyelik simülasyon süresince A3 senaryosundaki en yüksek HRR değeri  $880 \text{ kW}$  olarak yaklaşık 35.saniyede ölçülmüştür. Simülasyona ait HRR ve sıcaklık değerleri Şekil 5.9'da gösterilmiştir.

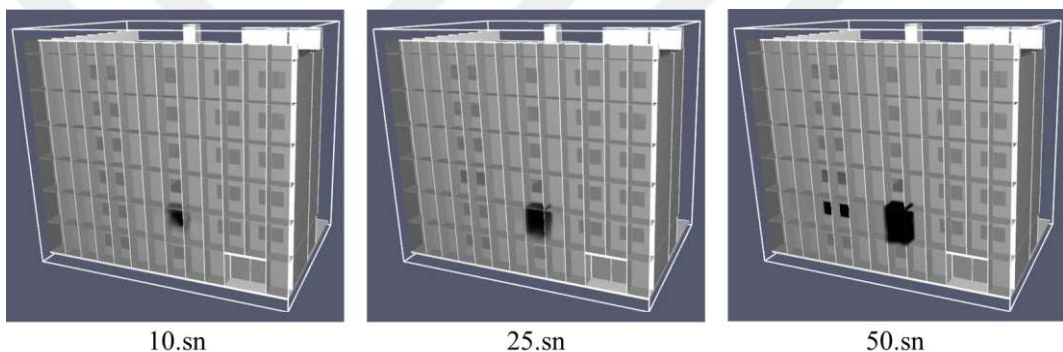




Şekil 5.9: A3 simülasyonu HRR-zaman ve sıcaklık-zaman grafiği

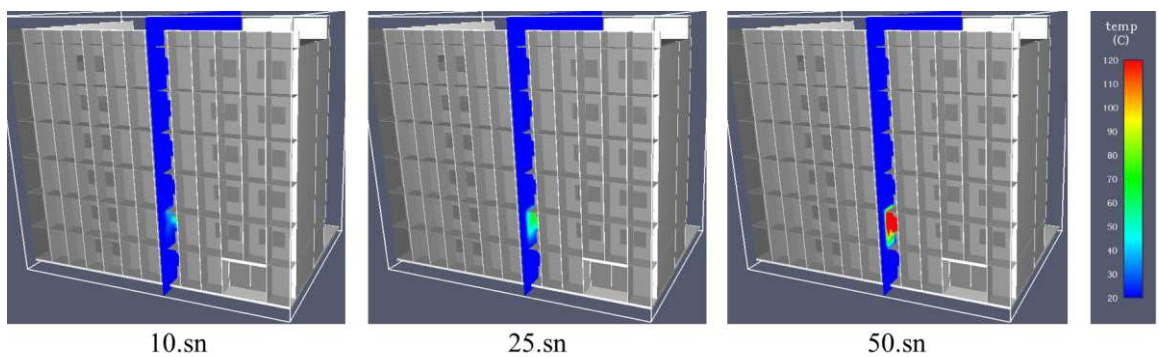
#### A4 Senaryosu:

A4 senaryosunda oluşturulan tasarım yangını sonucunda ortaya çıkan duman yayılımının 10., 25. ve 50. saniyesine ait görüntüler Şekil 5.10'da görülmektedir. Kutu tipi cephe olması ve cephenin havalandırmasının olmamasından dolayı simülasyon süresi hedeflenen süre boyunca devam edememiştir. 10. saniyede dumanın yangının ortaya çıktığı odadan cepheye doğru ilerlemiş olduğu görülmüştür. 25. saniyede dumanların iki cephe arasında kalan kutu içerisinde yayıldığı ve geçirimsiz ara bölmelerden dolayı yan mekânlara ilerleyemediği görülmüştür. 50. Saniyede yangının ortaya çıktığı dairenin diğer odalarında ve yangının ortaya çıktığı odanın cephesi arasında bulunan boşluğu tamamen duman ile dolduğu gözlemlenmiştir.



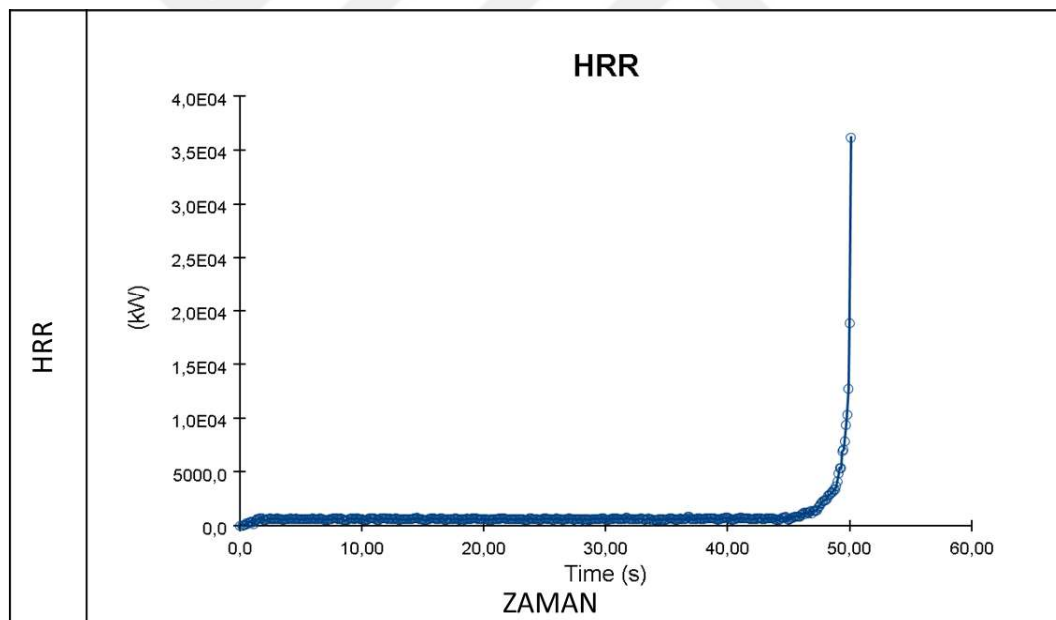
Şekil 5.10: A4 senaryosu duman yayılımı

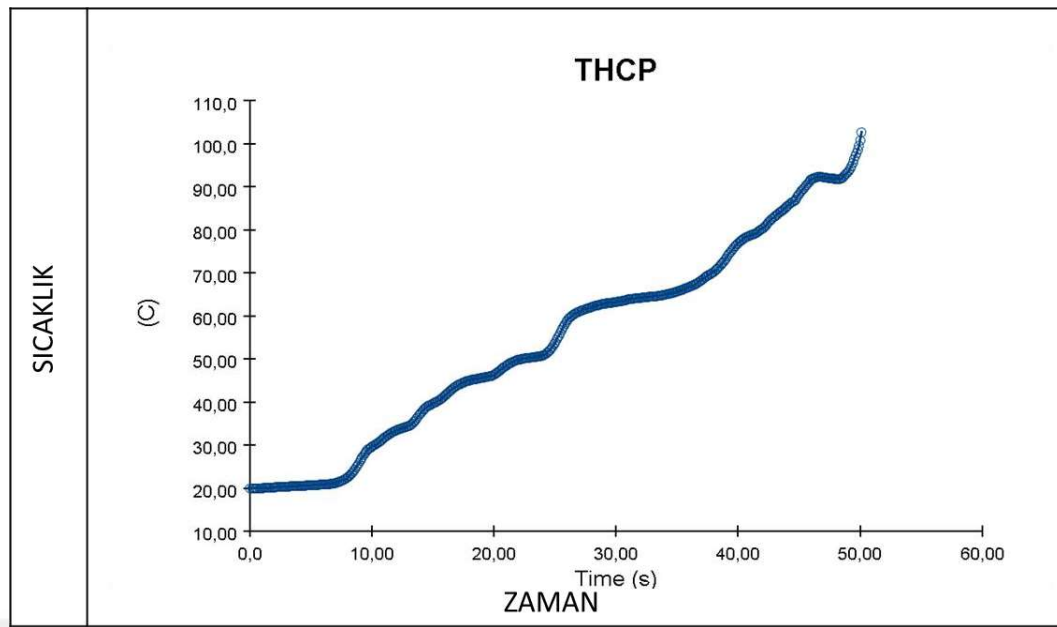
A4 senaryosunda oluşturulan tasarım yangını sonucunda ortaya çıkan alev ve sıcaklık yayılımının 10., 25. ve 50. saniyesine ait görüntüler Şekil 5.11'de görülmektedir. 10. saniyede yangın sonucu ortaya çıkan alevin oda içerisinde olduğu görülmektedir. 25. saniyeden itibaren alevlerin yavaş yavaş cephe yüzeyine doğru hareket ettiği gözlemlenmiştir. 50. saniye ve sonrasında alevler odadan cepheye doğru geçmiştir ve alevler yangının ortaya çıktığı odada bulunan cephe boşluğununda yayılmıştır.



Şekil 5.11: A4 senaryosu sıcaklık yayılımı

50 saniyelik simülasyon sonucunda ıslıl çiftten ölçülen en yüksek sıcaklık değeri  $102^{\circ}\text{C}$  olarak yaklaşık 50. saniyede görülmüştür. Aynı şekilde 50 saniyelik simülasyon süresince A4 senaryosundaki en yüksek HRR değeri  $36000 \text{ kW}$  olarak yaklaşık 49.saniyede ölçülmüştür. Simülasyona ait HRR ve sıcaklık değerleri Şekil 5.12'de gösterilmiştir.





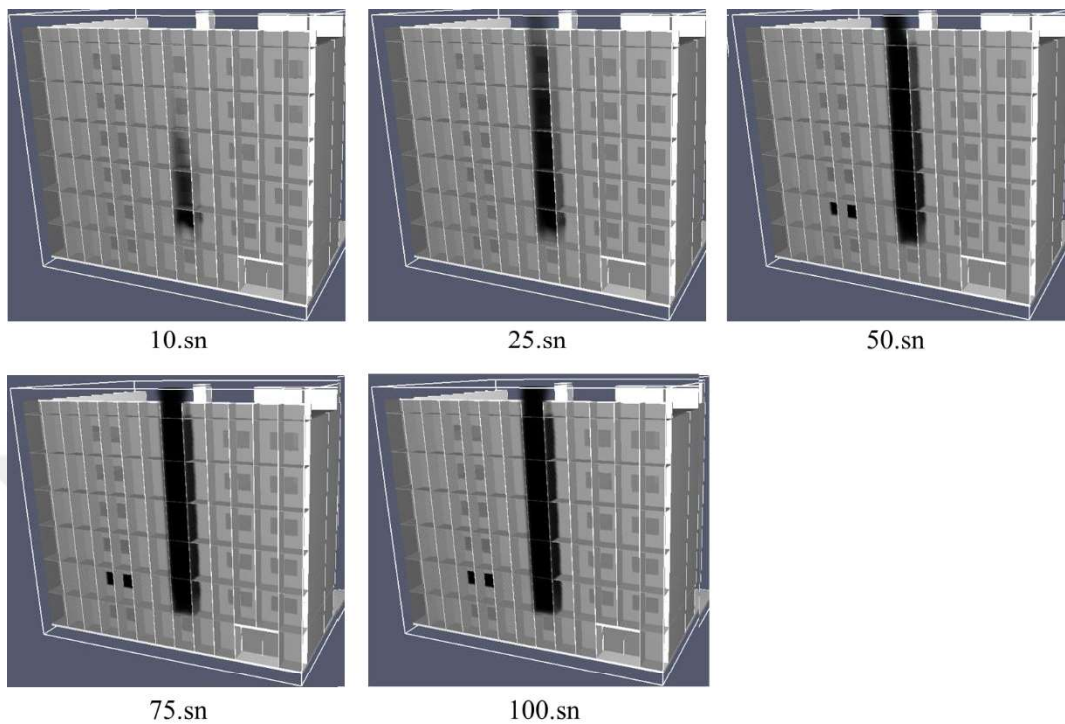
Şekil 5.12: A4 simülasyonu HRR-zaman ve sıcaklık-zaman grafiği

#### A4' Senaryosu:

A4 senaryosunda oluşturulan tasarım yangını, yanınan anında ortaya çıkan duman ve alevin cepheler arası kutuda sıkışması nedeniyle hedeflenen 100 saniyelik simülasyon sürecini tamamlayamamıştır ve simülasyon 50. saniyede son bulmuştur. Elde edilen simülasyonlarda hareket alanı kısıtlanan alev ve duman yayılımı HRR değerinin normal değerlerin üstünde çıkışmasına neden olmuştur. Oluşan bu durum bina statığı ve yanınan anında içerisinde bulunabilecek canlıların sağlığı konusunda risk oluşturmuştur. Bu nedenle alev ve dumanın kontrolünün sağlanabilmesi açısından A4' senaryo tasarlanmıştır. A4' senaryoda tasarım yanının ortaya çıktığı odanın penceresinin hizasında bulunan tüm pencerelerin bulunduğu alanda 20\*20 cm ölçülerinde 3 adet menfez görevi görecek açıklıklar yapılmıştır.

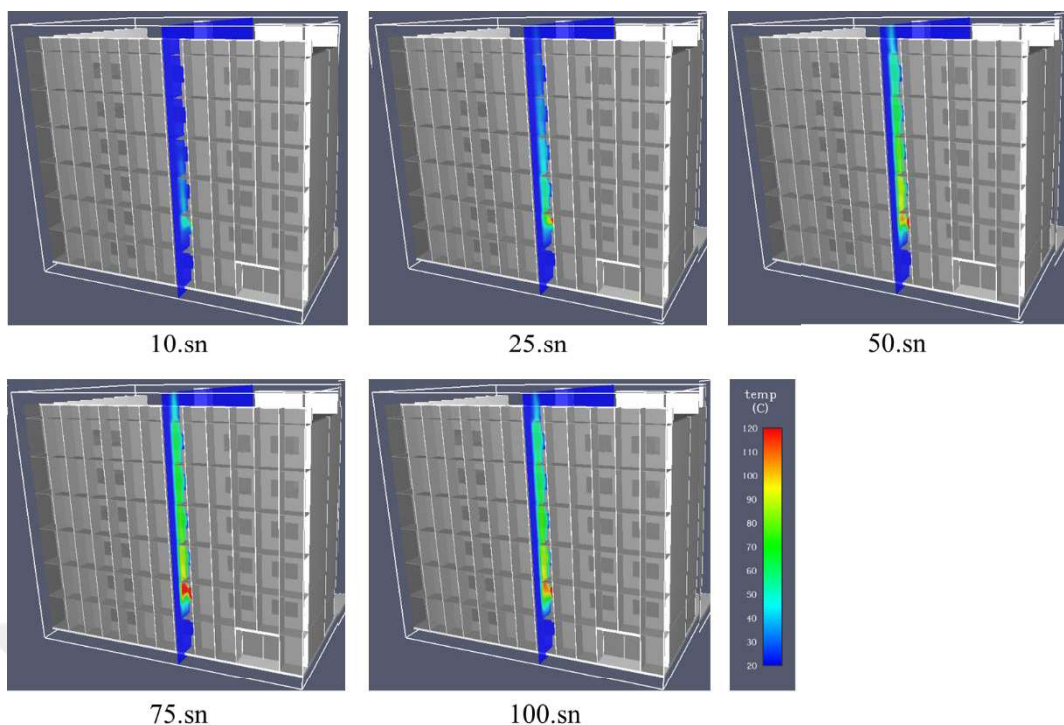
A4' senaryosunda oluşturulan tasarım yanının simülasyonu sonucunda ortaya çıkan duman yayılımının 10., 25., 50., 75. ve 100. saniyesine ait görüntüler Şekil 5.13' de görülmektedir. 10. saniyede dumanın cephe yüzeyinde 1.kat seviyesinden çıkış 2. kat seviyesine kadar gelmiş olduğu görülmektedir. 25. saniyede dumanların 1.kat seviyesinden 4.kat seviyesine kadar ilerlediği belirlenmiştir. 50. saniye sonrasında dumanın yanının çıktıgı dairede bulunan diğer odalara da yayıldığı

ve cephe üzerinde de zemin kat da dahil olmak üzere yayılımına devam ettiği gözlemlenmiştir.



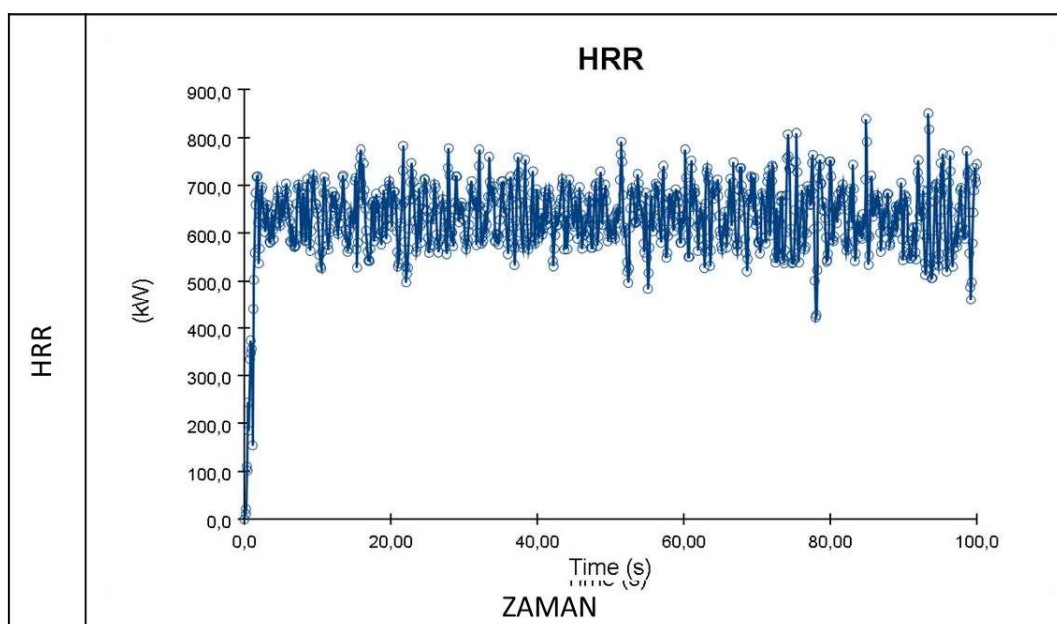
Şekil 5.13: A4' senaryosu duman yayılımı

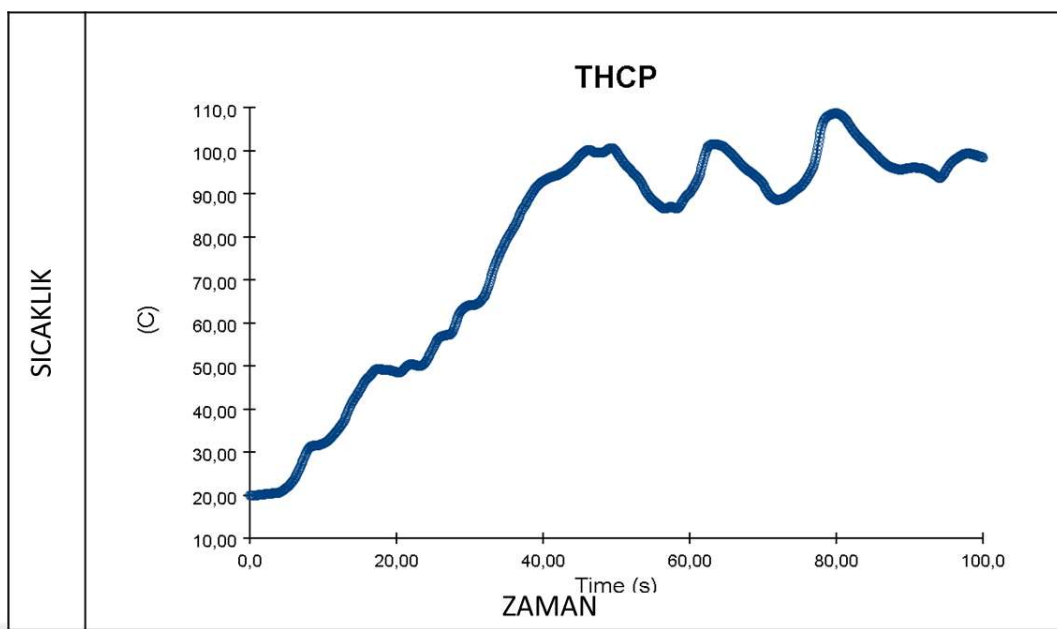
A4' senaryosunda oluşturulan tasarım yangını sonucunda ortaya çıkan alev ve sıcaklık yayılımının 10., 25., 50., 75. ve 100. saniyesine ait görüntüler Şekil 5.14' de görülmektedir. 10. saniyede yangın sonucu ortaya çıkan alevin oda içerisinde olduğu görülmektedir. 25. saniyeden itibaren alevlerin yavaş yavaş cephe yüzeyine doğru hareket ettiği gözlemlenmiştir. 50. saniye ve sonrasında alevler odadan cepheye doğru geçmiş 2. kat seviyesine ulaşmıştır.



Şekil 5 14: A4' senaryosu sıcaklık yayılımı

100 saniyelik simülasyon sonucunda ıslıl çiftten ölçülen en yüksek sıcaklık değeri  $108^{\circ}\text{C}$  olarak yaklaşık 80. saniyede görülmüştür. Aynı şekilde 100 saniyelik simülasyon süresince A4' senaryosundaki en yüksek HRR değeri 851 kW olarak yaklaşık 93. saniyede ölçülmüştür. Simülasyona ait HRR ve sıcaklık değerleri Şekil 5.15' de gösterilmiştir.

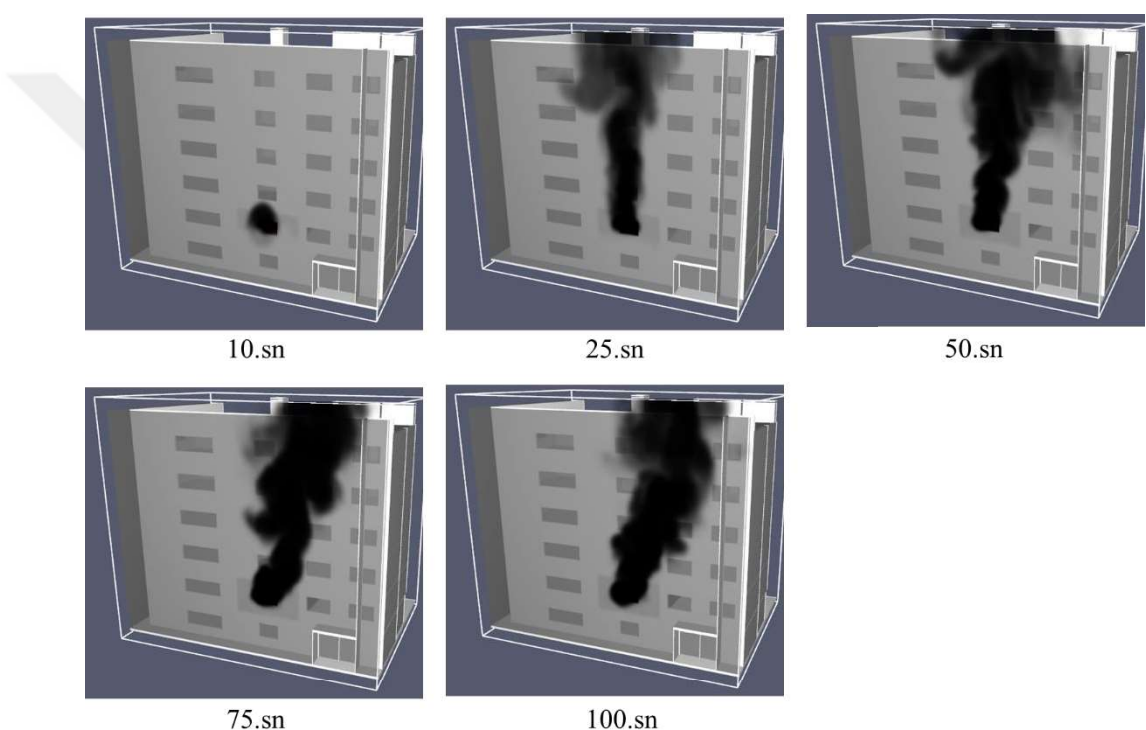




Şekil 5.15: A4' simülasyonu HRR-zaman ve sıcaklık-zaman grafiği

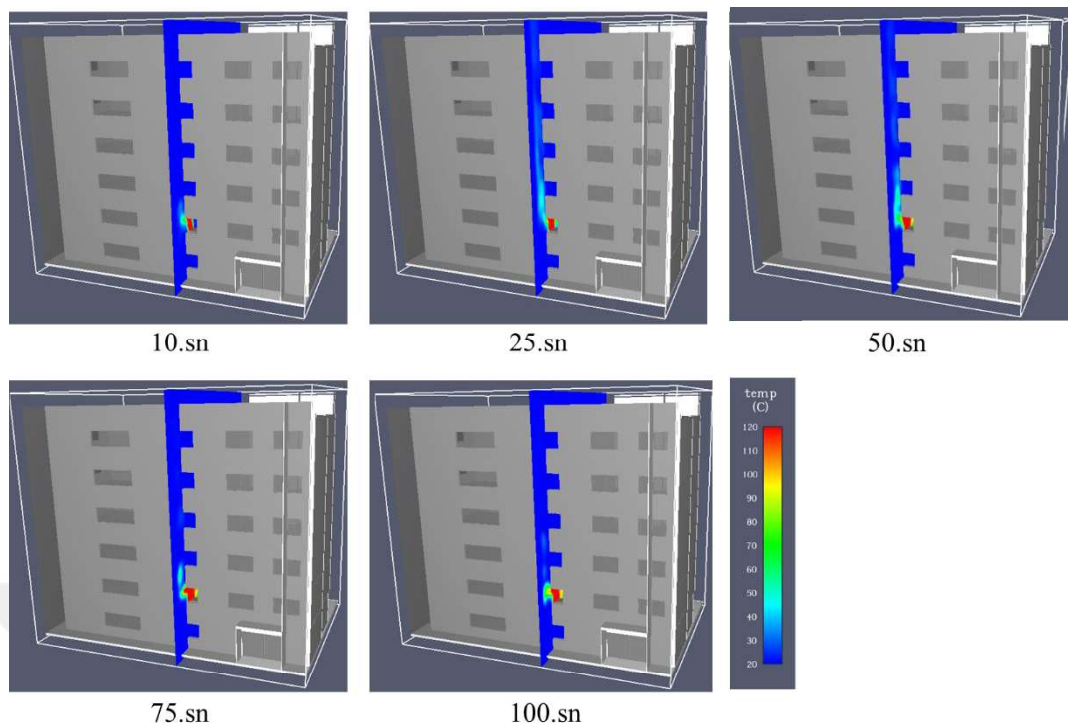
### B1 Senaryosu;

B1 senaryosunda oluşturulan tasarım yangını sonucunda ortaya çıkan duman yayılımının 10., 25., 50., 75. ve 100. saniyesine ait görüntüler Şekil 5.16' da görülmektedir. 10. saniyede duman cephe yüzeyine çıkışmış ve ikinci katın penceresinin alt seviyesine ulaşmış olarak görülmektedir. 25. saniyede dumanlar ikinci kat penceresinde de yoğun bir biçimde görülmüşsinin yanı sıra aynı hızadaki diğer pencerelerde kendini göstermektedir. 50. saniye sonrasında yangının ortaya çıktığı pencere hızası haricinde diğer katların pencerelerine doğru da gittiği görülmüştür.



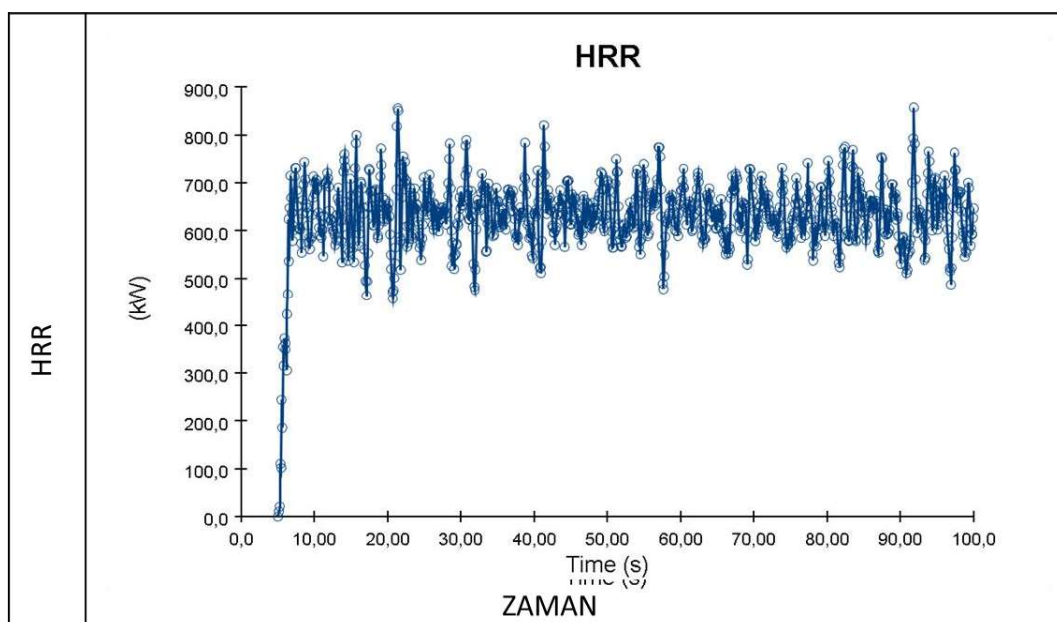
Şekil 5.16: B1 senaryosu duman yayılımı

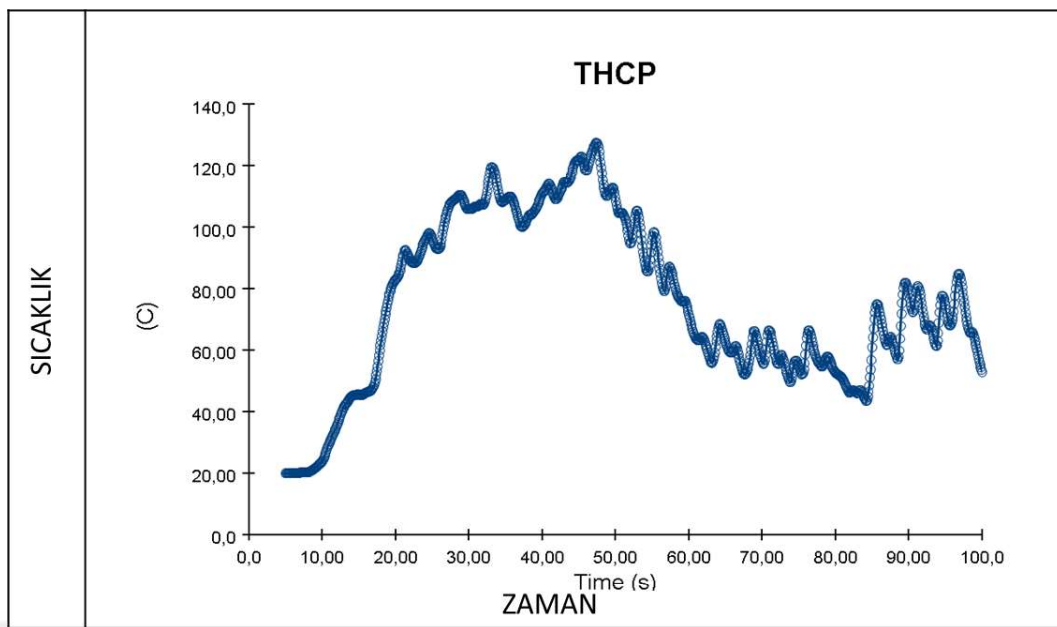
B1 senaryosunda oluşturulan tasarım yangını sonucunda ortaya çıkan alev ve sıcaklık yayılımının 10., 25., 50., 75. ve 100. saniyesine ait görüntüler Şekil 5.17' de görülmektedir. 10. saniyede yangın sonucu ortaya çıkan alevin oda içerisinde olduğu görülmektedir. 25. saniyeden itibaren alevlerin yavaş yavaş cephe yüzeyine doğru hareket ettiği gözlemlenmiştir. 50. Saniye ve sonrasında alevler odadan cepheye doğru geçmiştir.



Şekil 5.17: B1 senaryosu sıcaklık yayılımı

100 saniyelik simülasyon sonucunda ıslıl çiftten ölçülen en yüksek sıcaklık değeri  $127^{\circ}\text{C}$  olarak yaklaşık 47. saniyede görülmüştür. Aynı şekilde 100 saniyelik simülasyon boyunca B1 senaryosundaki en yüksek HRR değeri  $957 \text{ kW}$  olarak yaklaşık 91. saniyede ölçülmüştür. Simülasyona ait HRR ve sıcaklık değerleri Şekil 5.18' de gösterilmiştir.

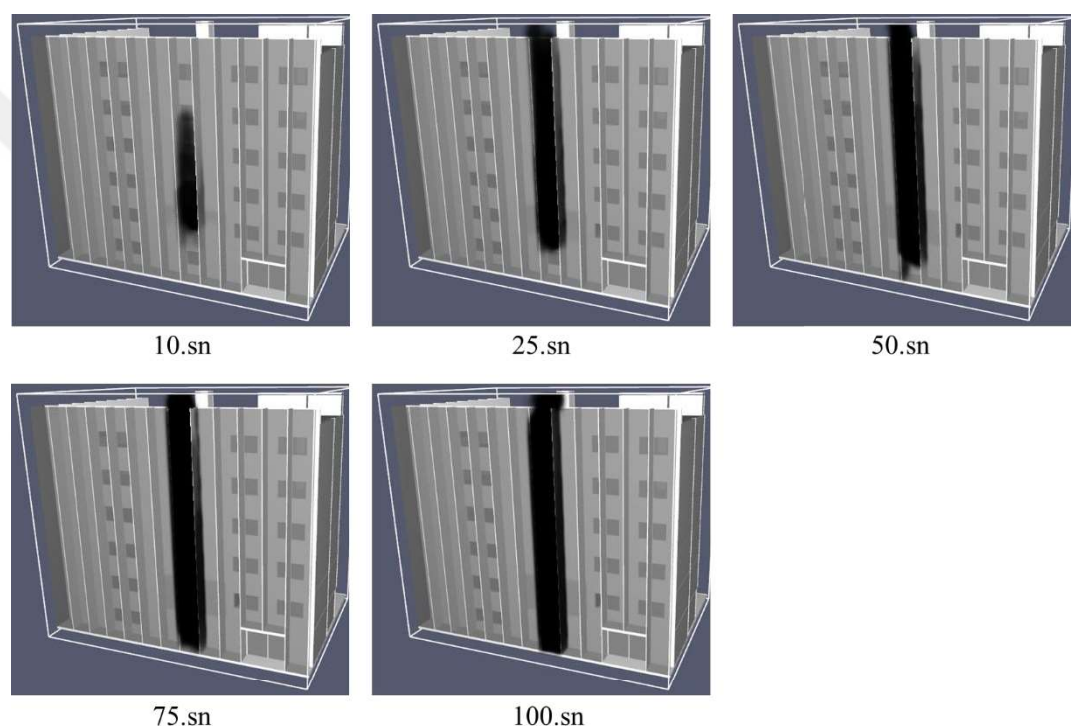




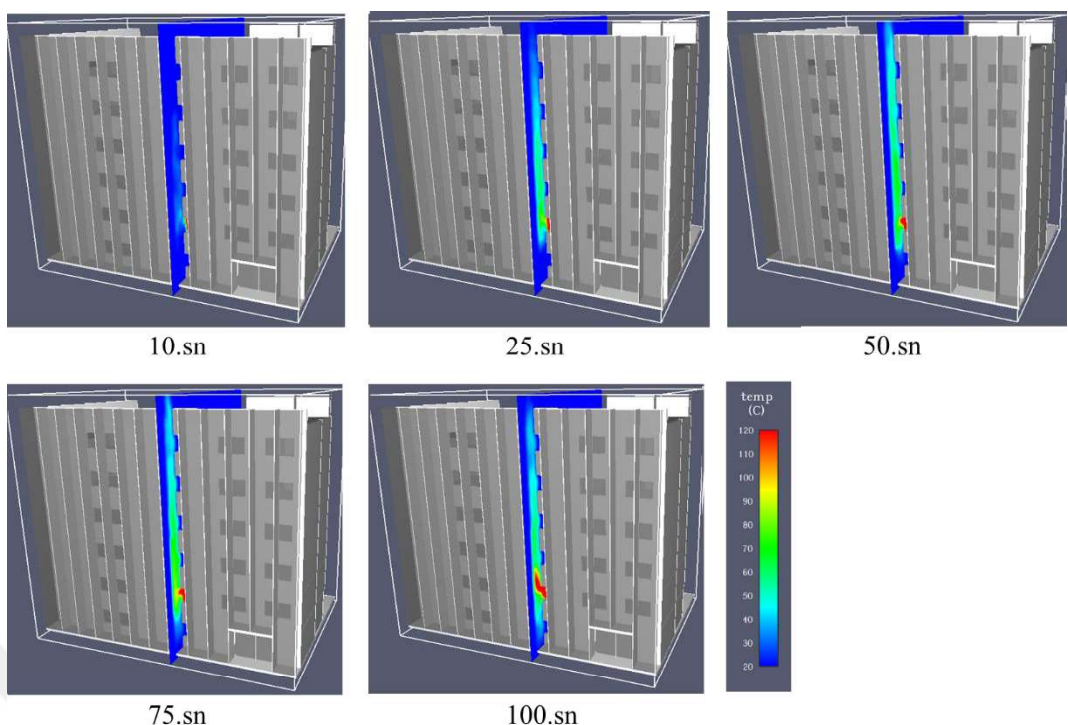
Şekil 5.18: B1 simülasyonu HRR-zaman ve sıcaklık-zaman grafiği

## B2 Senaryosu;

B2 senaryosunda oluşturulan tasarım yangını sonucunda ortaya çıkan duman yayılımının 10., 25., 50., 75. ve 100. saniyesine ait görüntüler Şekil 5.19'da görülmektedir. 10. saniyede duman hareketinin cephe yüzeyinin 1.kat seviyesinden 4. kat seviyesine kadar gelmiş olduğu görülmektedir. 25. saniyede dumanların 1.kat seviyesinden 5.kat seviyesine kadar ilerlediği belirlenmiştir. 50. saniye sonrasında dumanın, yangının cepheye çıktıığı camının hizasındaki diğer katlara kadar yayıldığı gözlemlenmiştir.

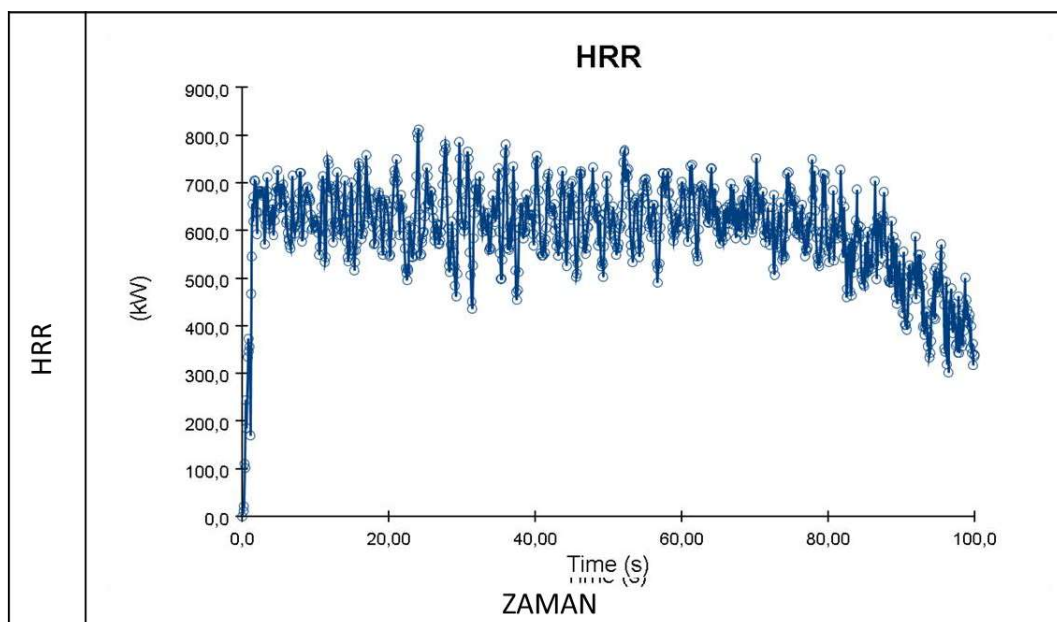


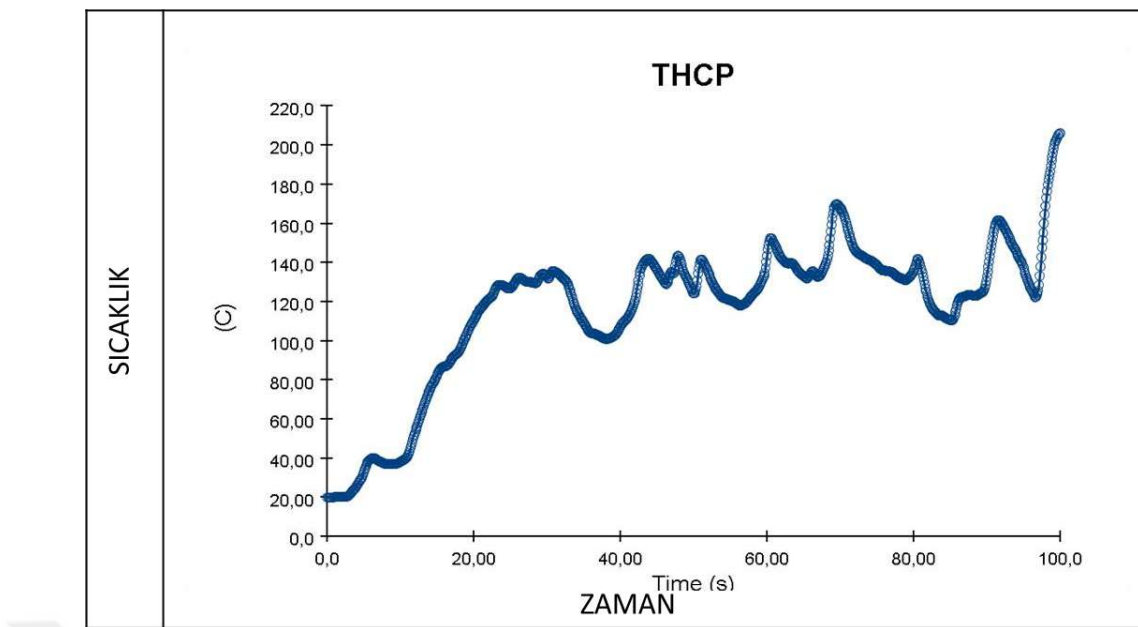
B2 senaryosunda oluşturulan tasarım yangını sonucunda ortaya çıkan alev ve sıcaklık yayılımının 10., 25., 50., 75. ve 100. saniyesine ait görüntüler Şekil 5.20'de görülmektedir. 10. saniyede yanınan sonucu ortaya çıkan alevin oda içerisinde olduğu görülmektedir. 25. saniyeden itibaren alevlerin yavaş yavaş cephe yüzeyine doğru hareket ettiği gözlemlenmiştir. 50. Saniye ve sonrasında alevler odadan cepheye doğru geçmiş ve 5. Kat seviyesine kadar ilerlemiştir. 75. Saniye sonrasında alevlerin zemin kat yönüne doğru da etkisini gösterdiği sonucuna ulaşılmıştır.



Şekil 5.20: B2 senaryosu sıcaklık yayılımı

100 saniyelik simülasyon sonucunda ıslık çiften ölçülen en yüksek sıcaklık değeri  $200^{\circ}\text{C}$  olarak yaklaşık 100. saniyede görülmüştür. Aynı şekilde 100 saniyelik simülasyon süresince B2 senaryosundaki en yüksek HRR değeri 810 kW olarak yaklaşık 24. saniyede ölçülmüştür. Simülasyona ait HRR ve sıcaklık değerleri Şekil 5.21' de gösterilmiştir.

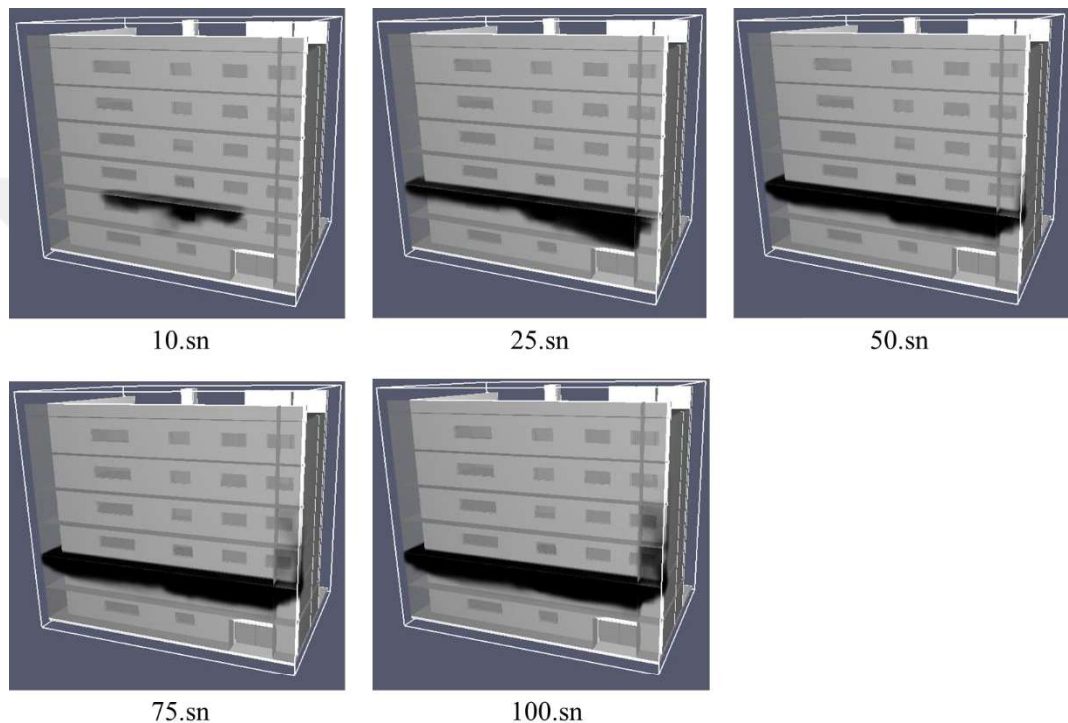




Şekil 5.21: B2 simülasyonu HRR-zaman ve sıcaklık-zaman grafiği

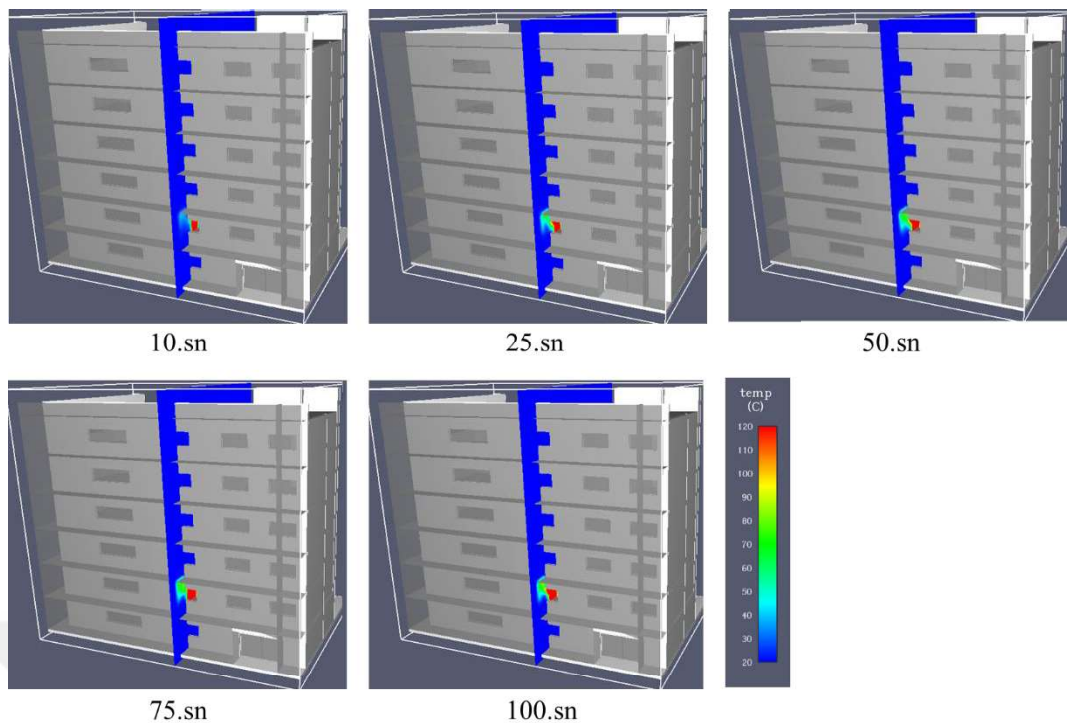
### B3 Senaryosu;

B3 senaryosunda oluşturulan tasarım yangını sonucunda ortaya çıkan duman yayılımının 10., 25., 50., 75. ve 100. saniyesine ait görüntüler Şekil 5.22' de görülmektedir. 10. saniyede dumanın cephe tipinden kaynaklı olarak yatay ilerlediği ve 1.kat seviyesinde komşu odalara da geldiği görülmüştür. 25. saniyede dumanların bulunduğu kat boyunca ilerlediği belirlenmiştir.



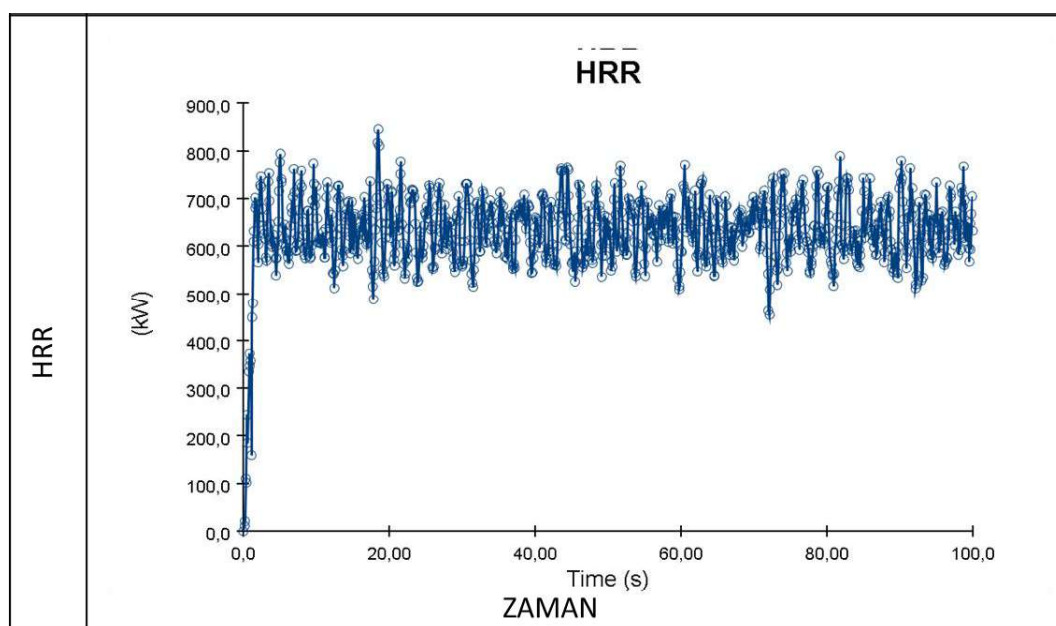
Şekil 5.22: B3 senaryosu duman yayılımı

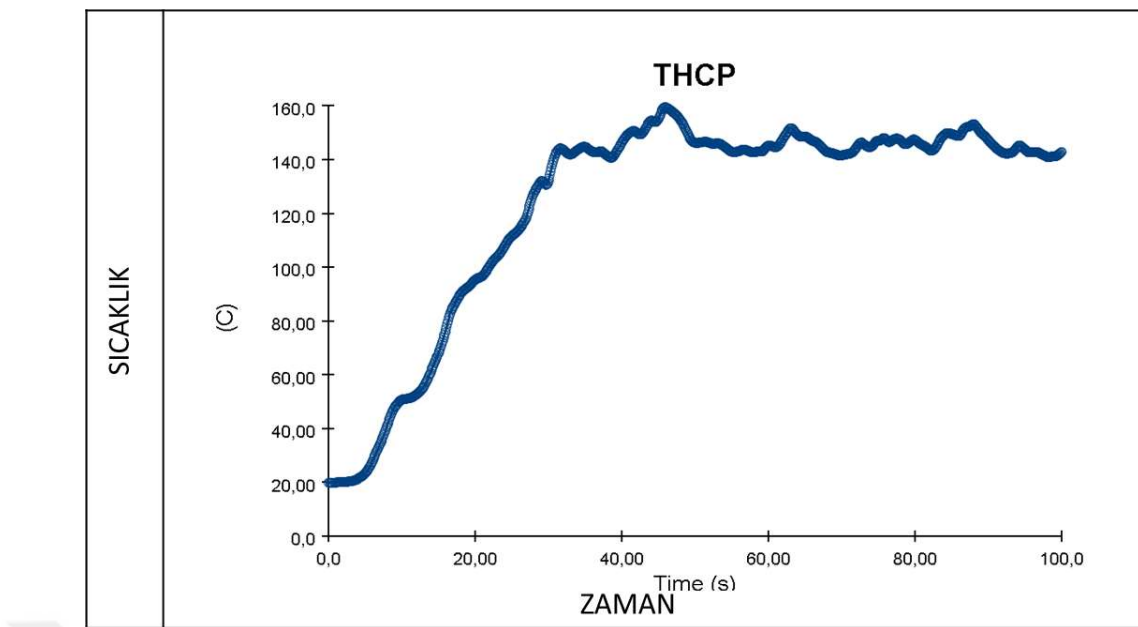
B3 senaryosunda oluşturulan tasarım yangını sonucunda ortaya çıkan alev ve sıcaklık yayılımının 10., 25., 50., 75. ve 100. saniyesine ait görüntüler Şekil 5.23' te görülmektedir. 10. saniyede alevin oda içerisinde olduğu görülmektedir. 25. saniyeden itibaren alevlerin yavaş yavaş cephe yüzeyine doğru hareket ettiği gözlemlenmiştir. 50. saniye ve sonrasında alevler odadan cepheye doğru geçerek yangının ortaya çıktığı kat üzerinde etkisini gösterdiği sonucuna ulaşılmıştır.



Şekil 5.23: B3 senaryosu sıcaklık yayılımı

100 saniyelik simülasyon sonucunda ıslı çiftten ölçülen en yüksek sıcaklık değeri  $160^{\circ}\text{C}$  olarak yaklaşık 45. saniyede görülmüştür. Aynı şekilde 100 saniyelik simülasyon süresince A3 senaryosundaki en yüksek HRR değeri  $845 \text{ kW}$  olarak yaklaşık 18.saniyede ölçülmüştür. Simülasyona ait HRR ve sıcaklık değerleri Şekil 5.24' te gösterilmiştir.

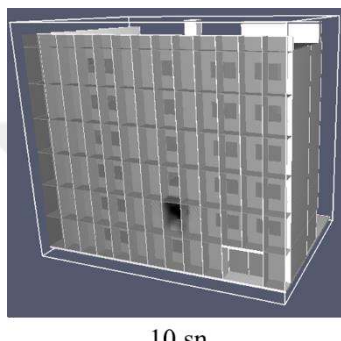




Şekil 5.24: B3 simülasyonu HRR-zaman ve sıcaklık-zaman grafiği

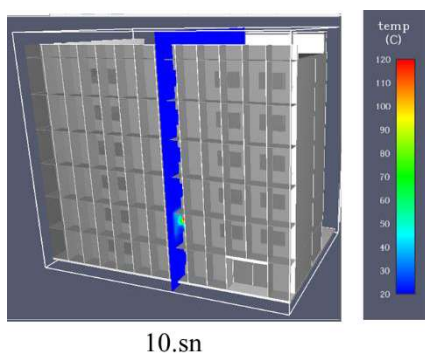
#### **B4 Senaryosu;**

B4 senaryosunda oluşturulan tasarım yangını sonucunda ortaya çıkan duman yayılımının 10. saniyesine ait görünüş Şekil 5.25' te görülmektedir. Cephe tipinin kutu tipi olması ve cephenin havalandırılmaması nedeniyle simülasyon hedeflenen süre kadar devam edememiştir. 10. saniyede dumanın yangının ortaya çıktığı odadan cepheye doğru ilerlediği görülmüştür. 16. saniyede yangının meydana geldiği oda ve cephe boşluğunu tamamen duman ile dolduğu gözlemlenmiştir.



Şekil 5.25: B4 senaryosu duman yayılımı

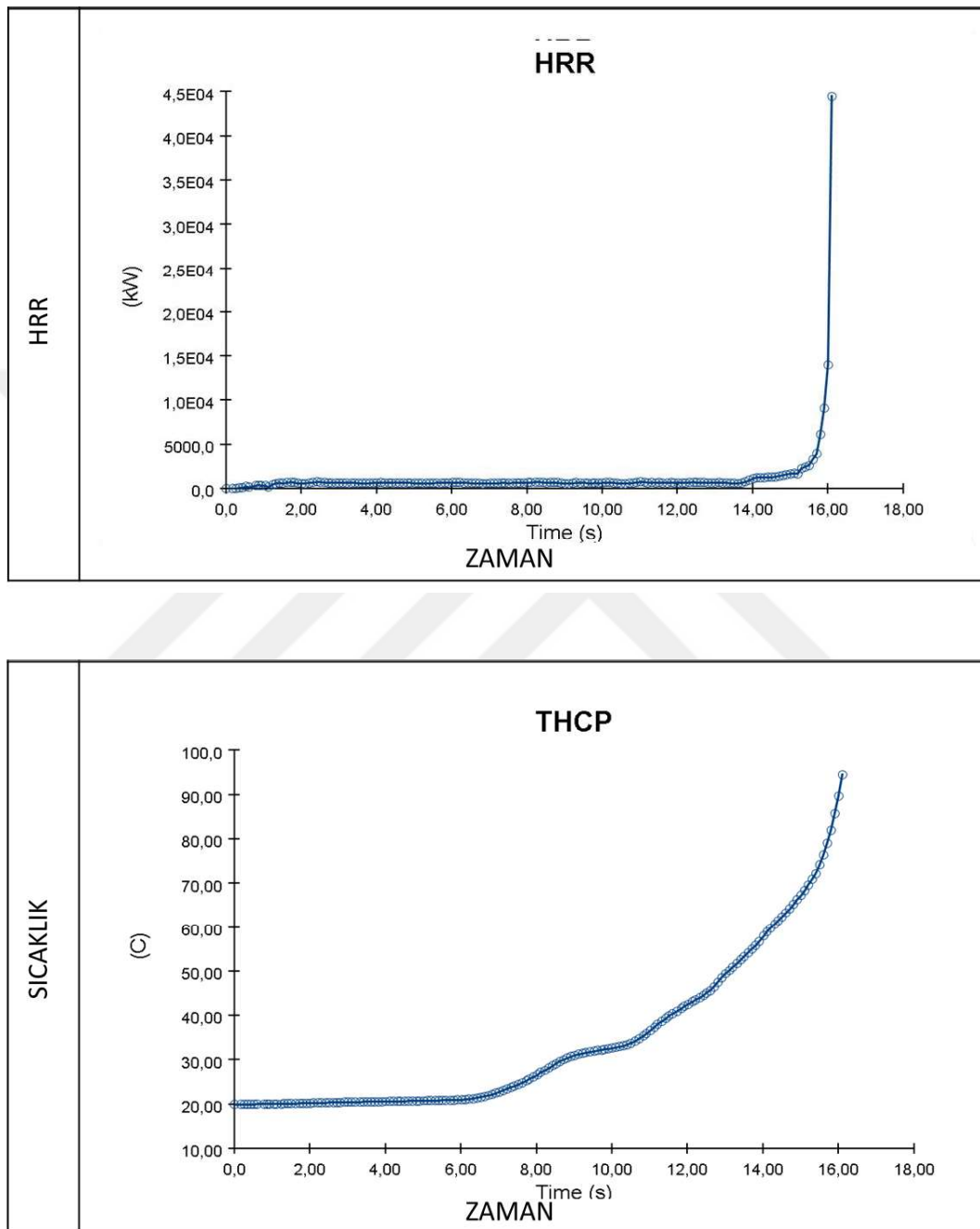
B4 senaryosunda oluşturulan tasarım yangını sonucunda ortaya çıkan alev ve sıcaklık yayılımının 10. saniyesine ait görünüş Şekil 5.26' da görülmektedir. 10. saniyede yangın sonucu ortaya çıkan alevin cephe yüzeyine doğru hareket ettiği gözlemlenmiştir.



Şekil 5.26: B4 senaryosu sıcaklık yayılımı

16 saniyelik simülasyon sonucunda ıslıl çiftten ölçülen en yüksek sıcaklık değeri  $95^{\circ}\text{C}$  olarak yaklaşık 16. saniyede görülmüştür. Aynı şekilde 16 saniyelik

simülasyon süresince B4 senaryosundaki en yüksek HRR değeri 44000 kW olarak yaklaşık 16.saniyede ölçülmüştür. Simülasyona ait HRR ve sıcaklık değerleri Şekil 5.27' de gösterilmiştir.

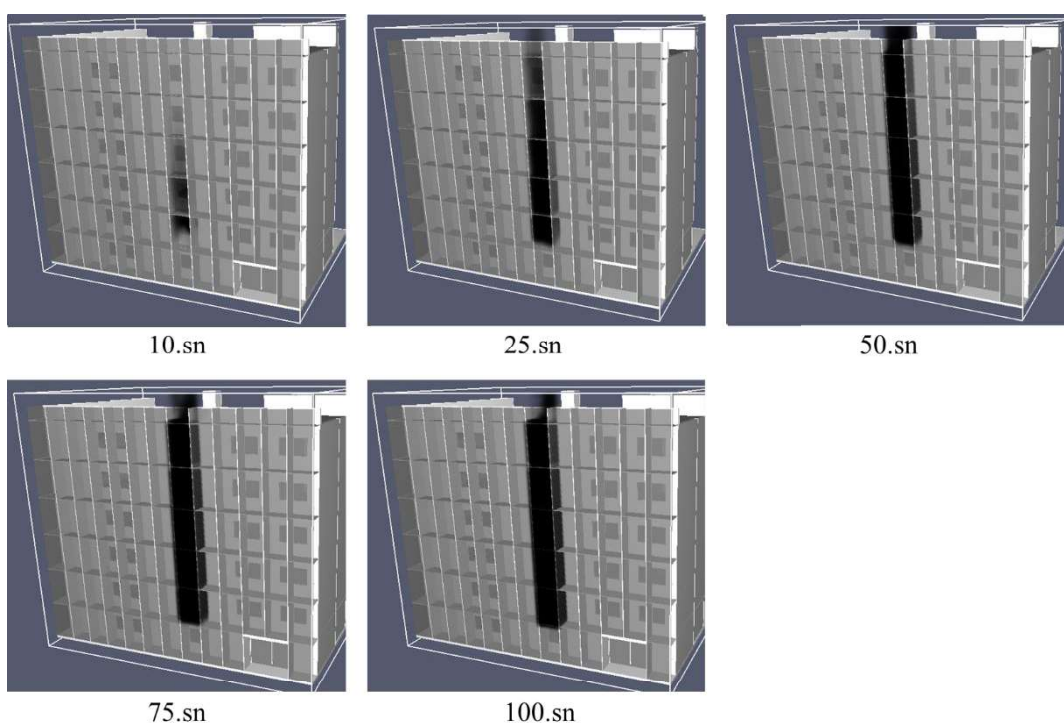


Şekil 5.27: B4 simülasyonu HRR-zaman ve sıcaklık-zaman grafiği

#### B4' Senaryosu:

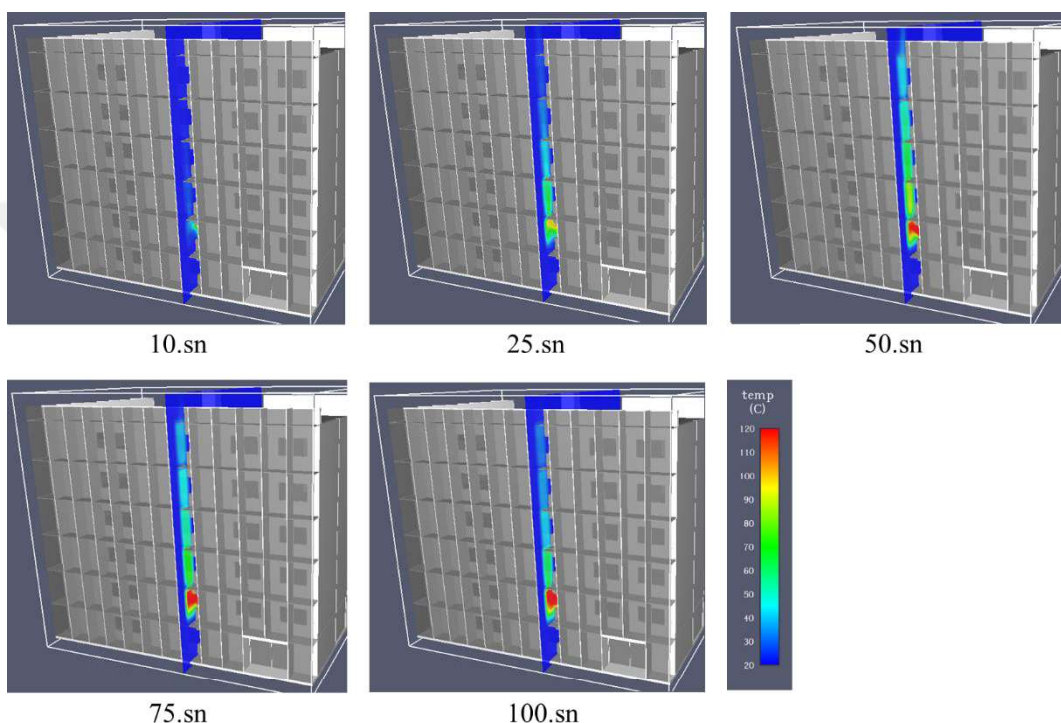
B4 senaryosunda oluşturulan tasarım yangını sonucunda ortaya çıkan duman ve alev yayılımı, cephede havalandırma unsuru göz ardı edilerek yapılan tasarım nedeniyle simülasyon süresi hedeflendiği gibi 100 saniyeye ulaşamamıştır ve simülasyon 16. saniyede son bulmuştur. Simülasyonda yangın sonucu oluşan duman ve alevin yayılım alanının kısıtlı olması nedeniyle ölçülen HRR değeri normal değerlerin üzerinde çıkmıştır. HRR değerinin bu kadar yüksek çıkması durumu bina statığı ve yangın anında içeride bulunan canlı sağlığı konusunda risk oluşturmuştur. Bu nedenle alev ve dumanın kontrolünün sağlanabilmesi açısından B4' senaryo oluşturulmuştur. B4' senaryoda tasarım yangının ortaya çıktığı odanın penceresi ve bu pencerenin hizasında bulunan tüm pencerelerin bulunduğu iki cephe arası boşlukta 20\*20 cm ölçülerine sahip 3 adet menfez görevi görecek bölüm yapılmıştır.

B4' senaryosunda oluşturulan tasarım yangın sonucu ortaya çıkan duman yayılımının 10., 25., 50., 75. ve 100. saniyesine ait görüntüler Şekil 5.28'de görülmektedir. 10. saniyede dumanın cephe yüzeyinde 1. kat seviyesinden çıkıp 2. kat seviyesine kadar gelmiş olduğu görülmektedir. 25. saniyede dumanların 1. kat seviyesinden 4. Kat seviyesine kadar yükseldiği ilerlediği gözlemlenmiştir.



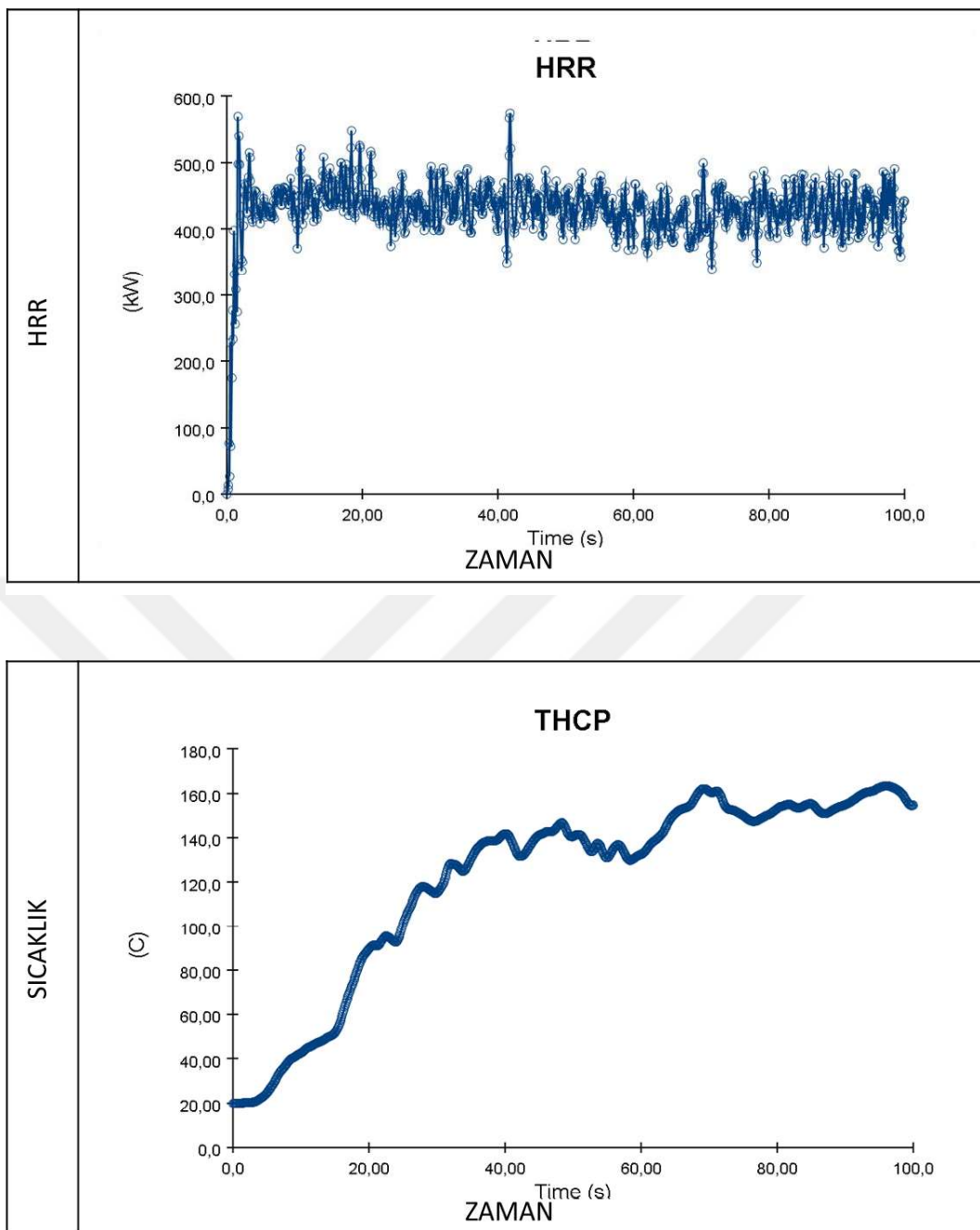
Şekil 5.28: B4' senaryosu duman yayılımı

B4' senaryosunda oluşturulan tasarım yangını sonucunda ortaya çıkan alev ve sıcaklık yayılımının 10., 25., 50., 75. ve 100. saniyesine ait görüntüler Şekil 5.29' da görülmektedir. 10. saniyede yangın sonucu ortaya çıkan alevin oda içerisinde olduğu görülmektedir. 25. saniyeden itibaren alevlerin yavaş yavaş cephe yüzeyine doğru hareket ettiği gözlemlenmiştir. 50. Saniye ve sonrasında alevler odadan cepheye doğru geçmiş ve 2. kat seviyesine ulaşmıştır.



Şekil 5.29: B4' senaryosu sıcaklık yayılımı

100 saniyelik simülasyon sonucunda ıslık çiftten ölçülen en yüksek sıcaklık değeri  $162^{\circ}\text{C}$  olarak yaklaşık 69. saniyede görülmüştür. Aynı şekilde 100 saniyelik simülasyon süresince B4' senaryosundaki en yüksek HRR değeri  $569 \text{ kW}$  olarak yaklaşık 1,6. saniyede ölçülmüştür. Simülasyona ait HRR ve sıcaklık değerleri Şekil 5.30' da gösterilmiştir.



Şekil 5.30: B4' simülasyonu HRR-zaman ve sıcaklık-zaman grafiği

Yapılan simülasyonlardan elde edilen HRR ve sıcaklık değerlerinin maksimum değerleri ve bu değerlerin görüldüğü saniyeler Tablo 5.1'de yer almaktadır. A senaryoları kendi içinde incelendiğinde maksimum HRR değerinin A4 senaryosu olarak adlandırılan modelde görüldüğü tespit edilmiştir. 36000 olarak ölçülen bu değerin 100 saniyelik simülasyonun kilitlenip hata verdiği 49. saniyesine ait olduğu belirlenmiştir. En yüksek sıcaklık değerinin de A4 senaryosu olarak adlandırılan modelde görüldüğü belirlenmiştir. 102°C olarak ölçülen bu değerin 100 saniyelik

simülasyonun kilitlenip hata verdiği 50. saniyesine ait olduğu belirlenmiştir. B senaryoları kendi içinde incelendiğinde maksimum HRR değerinin B4 senaryosu olarak adlandırılan modelde görüldüğü tespit edilmiştir. 44000 olarak ölçülen bu değerin 100 saniyelik simülasyonun kilitlenip hata verdiği 16. saniyesine ait olduğu belirlenmiştir. En yüksek sıcaklık değerinin ise B2 senaryosu olarak adlandırılan modelde görüldüğü belirlenmiştir. 200°C olarak ölçülen bu değerin 100 saniyelik simülasyonun 100. saniyesine ait olduğu belirlenmiştir. Tüm senaryolar bir araya getirildiğinde en yüksek HRR değerinin 44000 kW ile B4 en yüksek sıcaklık değerinin ise 200°C ile B2 senaryosuna ait olduğu saptanmıştır.

Tablo 5.1: Oluşturulan senaryolardan elde edilen sayısal bulguların karşılaştırmalı tablosu

| Model | Plan Tipi          | Cephe Tipi    | HRR Değeri     |    | Sıcaklık Değeri |     |
|-------|--------------------|---------------|----------------|----|-----------------|-----|
|       |                    |               | Maksimum değer | sn | Maksimum değer  | sn  |
| A1    | Açık plan          | Cephe boyunca | 820            | 55 | 75              | 63  |
| A2    | Açık plan          | Şaft tipi     | 840            | 82 | 85              | 40  |
| A3    | Açık plan          | Koridor tipi  | 880            | 35 | 80              | 90  |
| A4    | Açık plan          | Kutu tipi     | 36000          | 49 | 102             | 50  |
| B1    | Bölme duvarlı plan | Cephe boyunca | 957            | 91 | 127             | 47  |
| B2    | Bölme duvarlı plan | Şaft tipi     | 810            | 24 | 200             | 100 |
| B3    | Bölme duvarlı plan | Koridor tipi  | 845            | 18 | 160             | 45  |
| B4    | Bölme duvarlı plan | Kutu tipi     | 44000          | 16 | 95              | 16  |

100 saniyelik simülasyonun 10., 25., 50., 75. ve 100. saniyesinde ölçülen HRR ve sıcaklık değerleri Tablo 5.2'de verilmiştir. Tabloda saniyelere göre en yüksek değerler kırmızı, en düşük değerler ise sarı ile gösterilmiştir. Kritik değerin belirlenmesi için maksimum değerler baz alınmıştır, en yüksek HRR değerinin B4 olarak adlandırdığımız simülasyonda ortaya çıktığı görülmüştür. Bu değer simülasyonun 16. saniyesinde ölçülmüştür. Simülasyonda baz alınan saniyeler arasında olmamasına karşın ortaya çıkan bu değerin oldukça ciddi bir boyutta olmasından ötürü bu değere ayrı olarak yer verilmesi gerektiği düşünülmüştür.

Tablo 5.2: Belirlenen ortak saniyelerde elde edilen HRR ve sıcaklık değerleri

| Model | HRR değerleri |               |        |        |         | Sıcaklık değerleri |        |        |        |         |
|-------|---------------|---------------|--------|--------|---------|--------------------|--------|--------|--------|---------|
|       | 10. sn        | 25. sn        | 50. sn | 75. sn | 100. sn | 10. sn             | 25. sn | 50. sn | 75. sn | 100. sn |
| A1    | 632           | 635           | 617    | 609    | 565     | 43.9               | 52.9   | 65.7   | 59.6   | 43.3    |
| A2    | 632           | 731           | 664    | 718    | 654     | 53.2               | 58.5   | 68.3   | 71.6   | 62      |
| A3    | 619           | 644           | 599    | 603    | 547     | 46.4               | 59.5   | 75.4   | 75.5   | 77.7    |
| A4    | 656           | 693           | 18838  |        |         | 29.7               | 53.9   | 100.8  |        |         |
| B1    | 677           | 688           | 705    | 586    | 646     | 24.1               | 95.8   | 108.4  | 54.5   | 52.9    |
| B2    | 610           | 649           | 643    | 681    | 337     | 38.1               | 126.7  | 124    | 138.7  | 206.2   |
| B3    | 725           | 665           | 641    | 589    | 632     | 50.7               | 111.6  | 146.3  | 147    | 142.9   |
| B4    | 651           | 44496 (16.sn) |        |        |         | 32.6               |        |        |        |         |

Yukarıda bulunan Tablo 5.2 ‘de yer alan verilere bakarak en yüksek HRR değerlerinin kutu tipinde çift katmanlı cepheye sahip yapılarda görüldüğü açıkça ortaya çıkmıştır. Bu yapılar cephe olarak aynı tipte olmasına karşın plan tipi olarak farklılık göstermiştir. Plan tiplerine göre bakıldığı zaman açık plan tipine sahip olan A4 senaryosundaki yapının maksimum HRR değerine 50. Saniyede ulaşmasına karşı, B4 senaryosundaki yapının maksimum HRR değerine 16. saniyede ulaşmış olması oldukça kritik bir sonuç ortaya çıkarmıştır.

Simülasyonların yapım aşamasında havalandırma durumu göz ardı edildiği için A4 ve B4 simülasyonlarında açığa çıkan duman iki cephe arasında bulunan alanda hapsolup bulunduğu hacmi doldurmuş ve daha sonrasında hareket edemez hale gelmiştir, bu nedenle senaryolar simülasyon süresini tamamlayamayarak kendini sonlandırmıştır. Havalandırma göz ardı edilmeden bir tasarım yapılsaydı bu değerler nasıl olurdu konusu değerlendirilmek istendiğinden A4’ ve B4’ senaryoları oluşturulmuştur. Elde edilen sonuçlar Tablo 5.3’te yer almaktadır. Havalandırma durumu dahil edilen simülasyonlardan elde edilen değerlere bakıldığında değerlerin normal değerlerde olduğu ve simülasyonun 100 sonunu görebildiği belirlenmiştir.

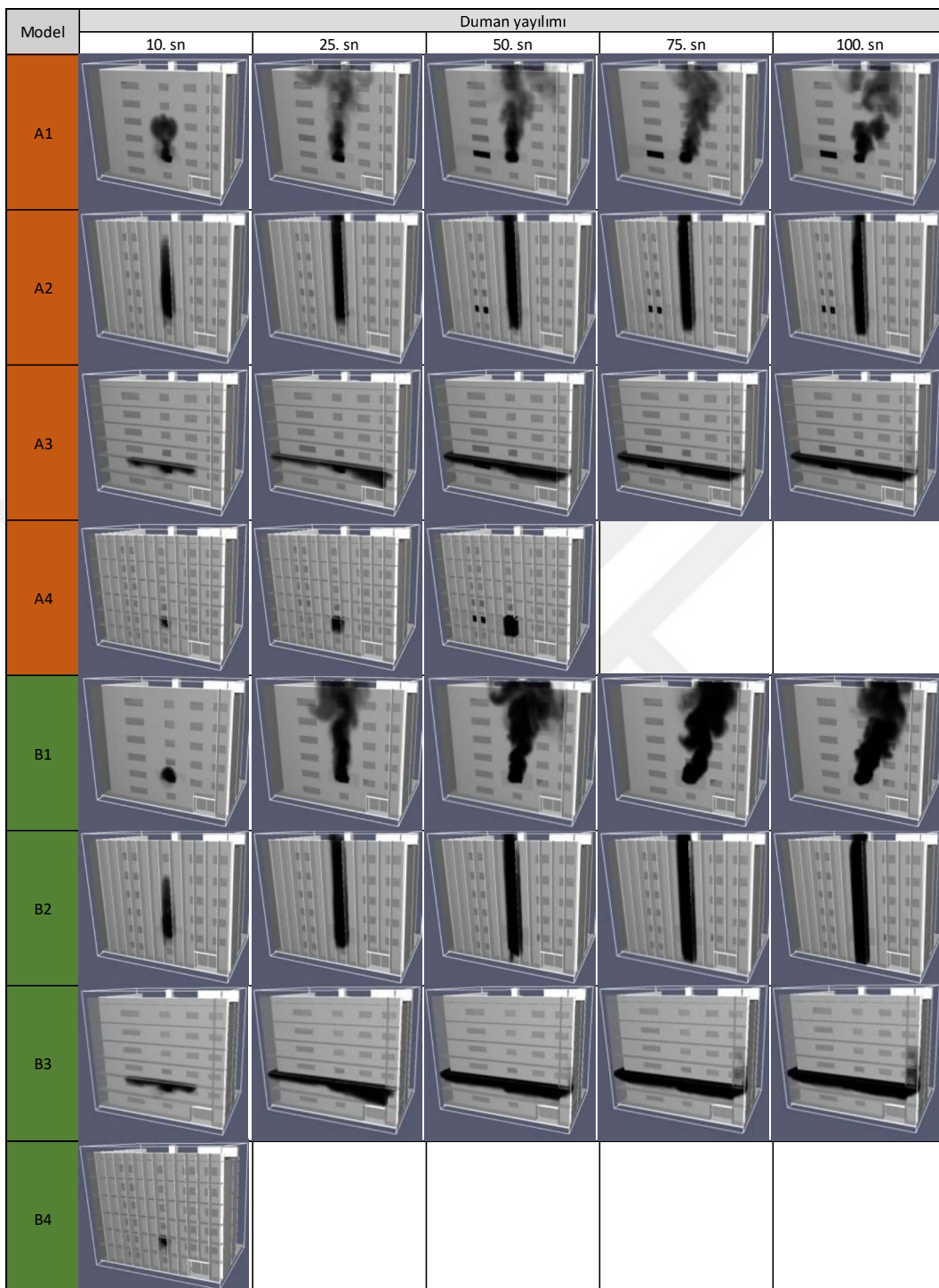
Tablo 5.3: A4, A4', B4 ve B4' senaryoları karşılaştırma tablosu

| Model | Plan Tipi          | Cephe Tipi | Cephe Özellikleri |    |                 |    |
|-------|--------------------|------------|-------------------|----|-----------------|----|
|       |                    |            | HRR Değeri        |    | Sıcaklık Değeri |    |
|       |                    |            | Maksimum değer    | sn | Maksimum değer  | sn |
| A4    | Açık plan          | Kutu tipi  | 36000             | 49 | 102             | 50 |
| A4'   | Açık plan          | Kutu tipi  | 851               | 93 | 108             | 80 |
| B4    | Bölme duvarlı plan | Kutu tipi  | 44000             | 16 | 95              | 16 |
| B4'   | Bölme duvarlı plan | Kutu tipi  | 574               | 41 | 163             | 96 |

Tablo 5.2 ‘de B tipi senaryoya sahip yapılardan elde edilen HRR değerlerinin A tipi senaryolardan elde edilen verilere kıyasla (A2 ve B2 senaryoları hariç) daha yüksek değerlerde olduğu görülmüştür. Bölme duvarlı plan tipine sahip yapılarda duman ve alevlerin hareket edememesi enerjinin de sıkışmasına neden olmuştur. Simülasyonlara bakıldığı zaman canlıların içinde bulunduğu alanı tahliye edebilmesi ve canlıların soluğu havadaki zehirli gazlara maruz kalması açısından bölme duvarlı plana sahip B tipi senaryoların kritik olabileceği gözlemlenmiştir. Bu faktörler baz alındığında açık plan tipine sahip yapılarda duman ve zehirli gazın tüm odaya yayılıyor olması yangın anında içeride bulunan canlıların bulunduğu alanı tahliye edebilmesi konusunda zaman tanıabilecegi sonucuna ulaşmıştır.

Tablo 5.2’de sıcaklık değerlerine bakıldığı zaman sıcaklık değerinin 10. saniyede A2 senaryosunda yüksek olduğu görülmüştür, bu andan sonra 25., 50., 75. ve 100. saniyede sıcaklık değerinin B tipi senaryolarda yüksek olduğu görülmüştür.

Tablo 5.4: Belirlenen ortak saniyelerde duman yayılım hareketi



Tablo 5.4'te duman yayılımının cephe üzerindeki etkileri görülmektedir. Duman yayılımını yanınan anında içerisinde bulunan canlıların tahliyesinin sağlanması ile cephede gösterdiği hareket açısından incelemenin doğru olacağı düşünülmüştür. A tipi senaryolar cephede duman yayılımı bakımından incelediği zaman A1 tipi senaryoda dumanın etki ettiği alanın diğer tiplere göre daha çok olduğu görülürken, A4 tipi

senaryoda dumanın etki ettiği alanın daha küçük bir alan olduğu görülmüştür. Duman yayılımı içerisinde bulunan canlılar ve bunların tahliye edilmesi bazında incelendiği zaman A modellerinin açık plana sahip olması dumanın tek bir odada yoğun etki göstermesindense birçok odaya daha az yayıldığını göstermiştir. İçeride bulunan canlılar ve bunların tahliye edilmesi konusunda en avantajlı cephennin A1 olduğu, dezavantajlı cephennin ise A4 olduğu sonucu çıkartılmıştır. B tipi senaryolar cephede duman yayılımı bakımından incelendiği zaman B1 tipi senaryoda dumanın etki ettiği alanın diğer tiplere göre daha çok olduğu görülürken, B4 tipi senaryoda dumanın etki ettiği alanın daha küçük bir alan olduğu görülmüştür. Duman yayılımı içerisinde bulunan canlılar ve bunların tahliye edilmesi bazında incelendiği zaman B modellerinin bölme duvarlı plana sahip olması dumanın tek bir odada yoğun etki gösterdiği belirlenmiştir. İçeride bulunan canlılar ve bunların tahliye edilmesi konusunda en avantajlı cephennin B1 olduğu, dezavantajlı cephennin ise B4 olduğu sonucu çıkartılmıştır.

Tüm senaryolar bir arada dumanın cephede yayılması konusunda incelendiğinde en riskli senaryonun B1 senaryosu olduğu tespit edilmiştir. Bunun nedeni bölme duvarlı plan tipinden dolayı oda hacmini dolduran dumanın açık pencereden cepheye doğru hareket etmesidir. Senaryolar canlıların tahliyesi bakımından incelendiğinde ise en riskli senaryo B4 senaryosu olarak karşımıza çıkmaktadır. Açıga çıkan dumanın bulunduğu hacmi doldurması ve artık hareket edemez hale gelmesi nedeniyle yanınan anında içeride bulunan bir canlı varsa zehirli gaza yüksek oranda maruz kalacaktır, bu nedenle canlı sağlığı açısından en riskli cephe tipinin bu olduğu kanaatine varılmıştır.

## **BEŞİNİ BÖLÜM**

### **5. SONUÇ VE ÖNERİLER**

20 yüzyıl başlarından beri uygulanmakta olan çift katmanlı yapı kabuğuna sahip yapılar, teknolojik gelişmelerin artması, yeni inşaat yapım tekniklerinin geliştirilmesi ve yeni malzemelerin keşfedilip uygulanmaya başlaması ile her geçen gün daha çok karşımıza çıkmaktadır. Bu tez çalışmasında orta yükseklikte çift katmanlı cepheye sahip açık planlı ve kapalı planlı yapılar üzerinde çalışılmıştır. Bu yapıların cephenin hava koridorunun bölünme şekline göre; kutu, şaft, koridor ve cephe boyunca olmak üzere olan ele alınarak bu yapılarda yanınan anında ortaya çıkan duman ve alev yayılımları simülasyon programı üzerinden incelenmiş ve elde edilen sonuçlar yorumlanmıştır.

Oluşturulan 8 farklı modelin simülasyonun 10., 25., 50., 75. ve 100. saniyelerine ait sıcaklık değerleri, HRR değerleri ve duman yayılımları önceki bölümlerde grafikler halinde sunulmuştur.

A senaryoları kendi içinde incelendiğinde maksimum HRR değerinin A4 senaryosu olarak adlandırılan modelde görüldüğü tespit edilmiştir. 36000 olarak ölçülen bu değerin 100 saniyelik simülasyonun kilitlenip hata verdiği 49. saniyesine ait olduğu belirlenmiştir. En yüksek sıcaklık değerinin de A4 senaryosu olarak adlandırılan modelde görüldüğü belirlenmiştir. 102°C olarak ölçülen bu değerin 100 saniyelik simülasyonun kilitlenip hata verdiği 50. saniyesine ait olduğu belirlenmiştir. B senaryoları kendi içinde incelendiğinde maksimum HRR değerinin B4 senaryosu olarak adlandırılan modelde görüldüğü tespit edilmiştir. 44000 olarak ölçülen bu değerin 100 saniyelik simülasyonun kilitlenip hata verdiği 16. saniyesine ait olduğu belirlenmiştir. En yüksek sıcaklık değerinin ise B2 senaryosu olarak adlandırılan modelde görüldüğü belirlenmiştir. 200°C olarak ölçülen bu değerin 100 saniyelik simülasyonun 100. saniyesine ait olduğu belirlenmiştir. Tüm senaryolar bir araya

getirildiğinde en yüksek HRR değerinin 44000 kW ile B4 en yüksek sıcaklık değerinin ise 200°C ile B2 senaryosuna ait olduğu saptanmıştır.

Verilere bakarak en yüksek HRR değerlerinin kutu tipinde çift katmanlı cepheye sahip yapılarda görüldüğü açıkça ortaya çıkmıştır. Bu yapılar cephe olarak aynı tipte olmasına karşın plan tipi olarak farklılık göstermiştir. Plan tiplerine göre bakıldığı zaman açık plan tipine sahip olan A4 senaryosundaki yapının maksimum HRR değerine 50. Saniyede ulaşmasına karşı, B4 senaryosundaki yapının maksimum HRR değerine 16. saniyede ulaşmış olması oldukça kritik bir sonuç ortaya çıkarmıştır.

Simülasyonların yapım aşamasında havalandırma durumu göz ardı edildiği için A4 ve B4 simülasyonlarında açığa çıkan duman iki cephe arasında bulunan alanda hapsolup bulunduğu hacmi doldurmuş ve daha sonrasında hareket edemez hale gelmiştir, bu nedenle senaryolar simülasyon süresini tamamlayamayarak kendini sonlandırmıştır. Havalandırma göz ardı edilmeden bir tasarım yapılsaydı bu değerler nasıl olurdu konusu değerlendirilmek istendiğinden A4' ve B4' senaryoları oluşturulmuştur.

B tipi senaryoya sahip yapılardan elde edilen HRR değerlerinin A tipi senaryolardan elde edilen verilere kıyasla (A2 ve B2 senaryoları hariç) daha yüksek değerlerde olduğu görülmüştür. Bölme duvarlı plan tipine sahip yapılarda duman ve alevlerin hareket edememesi enerjinin de sıkışmasına neden olmuştur. Simülasyonlara bakıldığı zaman canlıların içinde bulunduğu alanı tahliye edebilmesi ve canlıların soluğu havadaki zehirli gazlara maruz kalması açısından bölme duvarlı plana sahip B tipi senaryoların kritik olabileceği gözlemlenmiştir. Bu faktörler baz alındığında açık plan tipine sahip yapılarda duman ve zehirli gazın tüm odaya yayılıyor olması yanın anında içerisinde bulunan canlıların bulunduğu alanı tahliye edebilmesi konusunda zaman tanıabilecegi sonucuna ulaşılmıştır.

Sıcaklık değerlerine bakıldığı zaman sıcaklık değerinin 10. saniyede A2 senaryosunda yüksek olduğu görülmüştür, bu andan sonra 25., 50., 75. ve 100. saniyede sıcaklık değerinin B tipi senaryolarda yüksek olduğu görülmüştür.

A tipi senaryolar cephede duman yayılımı bakımından incelendiği zaman A1 tipi senaryoda dumanın etki ettiği alanın diğer tiplere göre daha çok olduğu görülürken, A4 tipi senaryoda dumanın etki ettiği alanın daha küçük bir alan olduğu görülmüştür. Duman yayılımı içerisinde bulunan canlılar ve bunların tahliye edilmesi bazında incelendiği zaman A modellerinin açık plana sahip olması dumanın tek bir odada yoğun etki göstermesindense birçok odaya daha az yayıldığını göstermiştir.

İçeride bulunan canlılar ve bunların tahliye edilmesi konusunda en avantajlı cephennin A1 olduğu, dezavantajlı cephennin ise A4 olduğu sonucu çıkartılmıştır. B tipi senaryolar cephede duman yayılımı bakımından incelendiği zaman B1 tipi senaryoda dumanın etki ettiği alanın diğer tiplere göre daha çok olduğu görülürken, B4 tipi senaryoda dumanın etki ettiği alanın daha küçük bir alan olduğu görülmüştür. Duman yayılımı içinde bulunan canlılar ve bunların tahliye edilmesi bazında incelendiği zaman B modellerinin bölme duvarlı plana sahip olması dumanın tek bir odada yoğun etki gösterdiği belirlenmiştir. İçeride bulunan canlılar ve bunların tahliye edilmesi konusunda en avantajlı cephennin B1 olduğu, dezavantajlı cephennin ise B4 olduğu sonucu çıkartılmıştır.

Tüm senaryolar bir arada dumanın cephede yayılması konusunda incelendiğinde en riskli senaryonun B1 senaryosu olduğu tespit edilmiştir. Bunun nedeni bölme duvarlı plan tipinden dolayı oda hacmini dolduran dumanın açık pencereden cepheye doğru hareket etmesidir. Senaryolar canlıların tahliyesi bakımından incelendiğinde ise en riskli senaryo B4 senaryosu olarak karşımıza çıkmaktadır. Açığa çıkan dumanın bulunduğu hacmi doldurması ve artık hareket edemez hale gelmesi nedeniyle yanınan anında içerde bulunan bir canlı varsa zehirli gaza yüksek oranda maruz kalacaktır, bu nedenle canlı sağlığı açısından en riskli cephe tipinin bu olduğu kanaatine varılmıştır.

Yapılan bu çalışma sonucunda hala kullanımda olan Binaların Yangından Korunması Hakkında Yönetmeliğin tasarım, malzeme seçimi ve uygulama aşamasında tasarımcılara kılavuz bir kaynak olma konusunda eksikliklerinin olduğu görülmüştür. Yönetmeliğin daha çok yararlanılan bir kaynak olabilmesi için yönetmelikte düzenlemelerin yapılması, yönetmeliğin gelişmeleri takip ederek geliştirilmesi gereği, yönetmelikte standart tanımlamalara daha detaylı ve açıklayıcı bir biçimde yer verilmesi gereği ve verilen bilgilerin kullanıcıya yönelik daha anlaşılır olası gereği düşünülmektedir.

Yanınan anında bina bütünlüğünü bozulmaması ve bina içerisinde bulunan canlıların güvenli bir şekilde tahliyesinin sağlanabilmesi için tasarımcıların bina tasarlama sürecinde yapının biçimini, malzeme seçimi ve birleşim detayları gibi noktaları göz önünde bulundurması gereği sonucu ortaya çıkmıştır. Sadece tasarım aşamasında değil binanın yapım aşamasında da inşaat teknikleri ve malzeme birleşim detayları deneyimli bir ekibin kontrolünde uygulanmalıdır sonucuna varılmıştır. Gelişen teknolojiyle birlikte binaların yapım aşamasından önce afetlere karşı önlemler

alınabilmesi adına dünya çapında tasarım aşamasından itibaren simülasyon programlarından ve model prototiplerinden yararlanılmaktadır. Simülasyonlar sonucunda afetler anında binanın göstereceği performansın görülmesinin yanı sıra, yapının kritik noktaları ve dikkat edilmesi gereken yerleri de belirlenebilmektedir. Bu simülasyonlar ve prototipler sayesinde afetler yaşanmadan önce birtakım önlemler alınabilmekte ve felaketlerin önüne geçilmektedir.

Bu çalışma kapsamında modeller oluşturulurken kullanılan malzemelerin özellikleri, birleşim detayları, rüzgâr hızı ve yönü gibi çevresel faktörler göz ardı edilmiştir. İleride yapılacak olan çalışmalarda malzeme özelliklerinin detaylı olarak simülasyon programına işlenmesi elde edilecek verilerin daha sağlıklı olmasını sağlayacaktır. Orta kat yüksekliğine sahip yapılar baz alınarak yapılan bu çalışma düşük katlı ve yüksek katlı yapılar üzerinde incelemenin dahil edilmesiyle birlikte yanım anında ortaya çıkan alev, duman, sıcaklık ve gazlar üzerinde yüksekliğin etkisi ortaya çıkarılabilir. Havalandırma faktörünün göz ardı edilmediği çift katmanlı cephelerin simülasyonları ile yapılacak çalışmalar ile araştırma daha kapsamlı hale getirilebilir.



## KAYNAKLAR

1. Arpacıoğlu, Ü. (2004). *Cephe yangınları ve cephe kaplamalarının yanım güvenliği açısından değerlendirilmesi*. 1. Ulusal Çatı ve Cephe Kaplamalarında Çağdaş Malzeme ve Teknolojiler Sempozyumu, İstanbul.
2. Ding, W., Hasemi, Y., Yamada, T. (2005). *Smoke control using a double-skin facade*. Fire Safety Science-Proceedings of the Eighth International Symposium, Japan.
3. Ayçam, İ. (2011). *Enerji Etkin Ofis Binalarında Gelişmiş Cephe Sistemlerinin İncelenmesi*, 10. Ulusal Tesisat Mühendisliği Kongresi, İzmir.
4. Chow, C. L. (2013). *A Qualitative Investigation On Double-Skin Façade Fires*. 1st International Seminar for Fire Safety of Facades, Paris.
5. Bavilolyaei, Y. *Çift Cidarlı Cephelerde Farklı Havalandırma Koşullarında Duman Hareketlerinin Sayısal Yöntemle İncelenmesi*, Yüksek Lisans Tezi, İstanbul Teknik Üniversitesi Fen Bilimleri Enstitüsü, 2016.
6. Wang, R., He, S., Yue, H. (2017). *Numerical Study of Smoke Spread upon Shaft-box Type Double Skin Façade*. 8th International Conference on Fire Science and Fire Protection Engineering, China
7. Yaman, M. *Cephe Yangın Güvenlik Önlemleri*. Yüksek Lisans Tezi, Gazi Üniversitesi Fen Bilimleri Enstitüsü, 2018.
8. Karakoyun, Ç. E. *Kapalı Hacim Yangınlarında Güneş Kırıcı Elemanların Dışey Yangın Yayılımına Etkisinin Sayısal Modelleme Yöntemi İle İncelenmesi*, Yüksek Lisans Tezi, İstanbul Teknik Üniversitesi Fen Bilimleri Enstitüsü, 2018.
9. Giraldo, M., Lacasta, A., Avellaneda, J., ve Burgos, C. *Computer Simulation Study On Fire Behaviour In The Ventilated Cavity Of Ventilated Façade Systems*. MATEC Web of Conferences 9, 2013.

10. Yakovchuk, R., Kuzyk, A., Skorobagatko, T., Yemelyanenko, S., Borys, O., Dobrostan, O. *Computer Simulation Of Fire Test Parameters Façade Heat Insulating System For Fire Spread In Fire Dynamics Simulator (FDS)*. Series of Geology And Technical Sciences. Sayı: 4 s. 35-44.
11. <https://onlinelibrary.wiley.com/doi/epdf/10.1002/fam.2759> (E.T:09.09.2021)
12. İplikçi, E. *Binalarda Yangın Güvenlik Önlemlerinin Analizi ve Yangın Güvenlikli Bina Tasarımına İlişkin Performans Kriterlerinin Ortaya Konması*. Yüksek Lisans Tezi, Gazi Üniversitesi Fen Bilimleri Enstitüsü, 2006.
13. İnternet Erişimi: [http://www.pmdyangin.com.tr/assets/pdf\\_dokumanlar/1.pdf](http://www.pmdyangin.com.tr/assets/pdf_dokumanlar/1.pdf) (E.T:17.03.2021)
14. Civelek, E. *Cephe Geometrisinin Yangın Güvenliği Üzerindeki Etkisinin Performansa Dayalı Analiz Yöntemleri İle Değerlendirilmesi*. Doktora Tezi, Gazi Üniversitesi Fen Bilimleri Enstitüsü, 2020.
15. Yazıcı, C., Koşatepe, A. (2019). *Çelik Yapılarda Kullanılan Birleşim Elemanlarının Yangın Etkisinin Deneysel Olarak İncelenmesi*. 4. Uluslararası Temel ve Uygulamalı Bilimlerdeki Gelişmeler Konferansı, Ağrı
16. Kılıç, A. (2012). *Cephe Kaplamaları ve Cephe Yangın Güvenliği*. Yangın Ve Güvenlik. Sayı: 152, s. 8-10.
17. Altındaş, S. (2014). *Cephelerde Yangın Oluşumu ve Yayılımı*. 7. Ulusal Çatı & Cephe Sempozyumu, İstanbul.
18. Yorulmaz, G. *Yangından Korunma ve Binalarda Yangın Güvenlik Önlemleri*. Yüksek Lisans Tezi, Selçuk Üniversitesi Fen Bilimleri Enstitüsü, 2001.
19. Başdemir, H., Demirel, F. (2010). *Binalarda Pasif Yangın Güvenlik Önlemleri Bağlamında Bir Literatür Araştırması*. Politeknik Dergisi. Sayı: 2, s. 101-109.
20. Erturan, B. *Akıllı Cephe Tasarım İlkeleri ve Uygulama Örneklerinin İncelenmesi*. Yüksek Lisans Tezi, Mimar Sinan Güzel Sanatlar Üniversitesi Fen Bilimleri Enstitüsü, 2010.
21. Kanan Özeler, N., Beyhan, F. (2013). *Enerji Etkin Binalarda Çift Katmanlı Cephe Sistemlerinin Yangın Güvenliği*. 11. Ulusal Tesisat Mühendisliği Kongresi, İzmir.

22. Hausladen G., Saldanha M., Liedl P., 2006. *Climate Skin*, Birkhauser, Basel, Boston, Berlin
23. Begeç, H., Savaşır, K., 2004. *Akıllı Giydirmeye Cephe Sistemlerinin Havalandırma Şekillerinin İncelenmesi*, 5. Ulusal Çatı ve Cephe Sempozyumu, İstanbul, 5-16 Nisan.
24. Oesterle, E., Lieb, R.D., Lutz, M. and Heusler, W. (2001). *Double-Skin Façades, Integrated Planning*. Prestel Verlag, Munich.
25. Uuttu S (2001). *Study of current structure of double-skin facade*.Master thesis dissertation. Department of civil and environmental engineering, Helsinki university of tecnology.
26. Poirazis, H. (2004). *Double Skin Façades for office buildings. Literature Review*. Division of Energy and Building Design, Lund University, Lund.
27. Waldner, R., Flamant, G., Kluttig, H., Farou, I., Duarte, R. and Duarte, C. (2007). *Best practice for double skin facades*. WP5 Best Practise Guidelines. Intelligent Energy, University of Lund.
28. Motevalian, E. (2014). *Double skin facades performance: Effects on daylight and visual comfort in office spaces*. Master Thesis, University of Southern California, Faculty of the USC School of Architecture, Los Angeles, 43-45.
29. ElGhazi, Y. S. *Building Skins In The A ge Of Information Technology*, Master Thesis, Cario University,2009.
30. Alakavuk, E., *Sıcak İklim Bölgelerinde Çift Kabuk Cam Cephe Sistemlerinin Tasarımı İçin Kullanılabilecek Bir Yaklaşım*, Doktora Tezi, İzmir Dokuz Eylül Üniversitesi Fen Bilimleri Enstitüsü, 2010.
31. Vaglio, J. *Aerophysics of Double Skin Facades Simulation Based Determination of Pressure Coefficients for Multi Story Double Skin Facades*, Doktora Tezi, Southern California Üniversity, 2015.
32. ÜNAL, M. *Çift Kabuk Cephelerin Sistematik Analizi ve Uygulama Örneklerinin İncelenmesi*. Yüksek Lisans Tezi, Mimar Sinan Güzel Sanatlar Üniversitesi Fen Bilimleri Enstitüsü, 2006.

33. Lamberto, M., Cancelliere, P. (2013). *The Italian National Guidelines for the fire safety of facades*. 1st International Seminar for Fire Safety of Facades, Paris.
34. Kanan, N.Ö. (2014). *Enerji verimli yapı kabuğunun yangın anındaki davranışları: Cephe yangınları*. 7. Ulusal Çatı & Cephe Sempozyumu, Yıldız Teknik Üniversitesi, Beşiktaş, İstanbul.
35. İnternet Erişimi: <https://santiyede.com/tasyunu-nedir-kullanim-alanlarimantolama/>(E.T:16.12.19)
36. <https://www.youtube.com/watch?v=kud49aEwr-U>, (E.T:1.04.2021)
37. <https://www.youtube.com/watch?v=ijq637ykE14>, (E.T:1.04.2021)
38. <https://www.youtube.com/watch?v=fV61r23yOKQ>, (E.T:1.04.2021)
39. <https://www.ntv.com.tr/turkiye/ankarada-is-merkezinde-yangin,XIdxF3L490i0dw3ospQ6Zw>, (E.T:1.04.2021)
40. <https://www.yenisafak.com/dunya/baede-gokdelende-buyuk-yangin-3538203>, (E.T:1.04.2021)
41. <http://itfaiye.ibb.gov.tr/tr/ferman.html> (E.T: 18.12.19)
42. *Binaların Yangından Korunması Hakkında Yönetmelik*. (2015). Bakanlar Kurulu, Ankara.
43. İnternet Erişimi: [http://www.yapi.com.tr/Haberler/metrocitykonut-ve-alisveris-merkezi\\_61103.html](http://www.yapi.com.tr/Haberler/metrocitykonut-ve-alisveris-merkezi_61103.html), (E.T:1.04.2021)
44. İnternet Erişimi: <http://turgutmotors.blogspot.com/2016/05/bmw-merkez-binasi-nn-tasarm-hikayesi.html?view=sidebar>, (E.T:1.04.2021)
45. İnternet Erişimi: <https://www.avmgezgini.com/upload/images/avm-fotograflari/istinye-park-kapak.jpg>, (E.T:1.04.2021)
46. İnternet Erişimi: <https://www.vitracagdasmimarlikdizisi.com/projeler/Raif-Dinckok-Kultur-Merkezi.aspx>, (E.T:1.04.2021)
47. İnternet Erişimi: <https://www.yollardan.com/lingotto-eski-fiat-otomobil-fabrikasi/>, (E.T:1.04.2021)
48. İnternet Erişimi: <https://divisare.com/projects/311759-foster-partners-hong-kong-and-shanghai-bank-headquarters-hong-kong>, (E.T:1.04.2021)

49. İnternet Erişimi: [https://tr.wikipedia.org/wiki/%C4%B0stanbul\\_Adalet\\_Saray%C4%B1](https://tr.wikipedia.org/wiki/%C4%B0stanbul_Adalet_Saray%C4%B1), (E.T:1.04.2021)
50. İnternet Erişimi: <https://tr.wikipedia.org/wiki/Dosya:Lloyd%27sLifts.JPG>, (E.T:1.04.2021)
51. İnternet Erişimi: [https://archnet.org/sites/6602/media\\_contents/70999](https://archnet.org/sites/6602/media_contents/70999), (E.T:1.04.2021)
52. İnternet Erişimi: <https://www.structureinsider.com/post/commerzbank-tower-frankfurt>, (E.T:1.04.2021)
53. İnternet Erişimi: <https://en.wikipedia.org/wiki/Arag-Tower>, (E.T:1.04.2021)
54. İnternet Erişimi: <https://fcbstudios.com/work/view/new-environmental-office-bre>, (E.T:1.04.2021)
55. İnternet Erişimi: <https://www.trhastane.com/ozel-acibadem-maslak-hastanesi-11078.html>, (E.T:1.04.2021)
56. İnternet Erişimi: [https://en.wikipedia.org/wiki/File:Torre\\_Agbar\\_-Barcelona,\\_Spain\\_-\\_Jan\\_2007.jpg](https://en.wikipedia.org/wiki/File:Torre_Agbar_-Barcelona,_Spain_-_Jan_2007.jpg), (E.T:1.04.2021)
57. İnternet Erişimi: <http://www.kelesogluholding.com/projeler/atakoy-a-plus-avm/> (E.T:1.04.2021)
58. İnternet Erişimi: <https://blog.quintinlake.com/2013/07/25/evolution-of-the-reichstag-building-in-photos/>, (E.T:20.05.2019)
59. İnternet Erişimi: <https://www.archdaily.com/49066/dogan-media-center-tabanlioglu>, (E.T:1.04.2021)



## EKLER

### Ek-1

Tablo ek 1.1: Metrocity konut, ofis ve AVM kompleksi

| RESİMLER  | Yapı Adı   | Metrocity Konut, Ofis ve Alışveriş Kompleksi |
|---|------------|--|
|  | Yapı Yeri  | İstanbul                                     |
|   | Cephe Tipi | Tek katmanlı basit cephe                     |

Resim ek 1.1: Metrocity konut, ofis ve AVM kompleksi [43]

Tablo ek 1.2: BMW genel merkez binası

| RESİMLER  | Yapı Adı   | BMW Genel Merkez Binası  |
|---|------------|--------------------------|
|  | Yapı Yeri  | Almanya                  |
|   | Cephe Tipi | Tek katmanlı basit cephe |

Resim ek 1.2: BMW genel merkez binası [44]

Tablo ek 1. 3: İstinye park alışveriş merkezi

| RESİMLER  | Yapı Adı   | İstinye Park Alışveriş Merkezi |
|---|------------|--------------------------------|
|  | Yapı Yeri  | İstanbul                       |
|   | Cephe Tipi | Tek katmanlı giydirmeye cephe  |

Resim ek 1.3: İstinye park alışveriş merkezi [45]

Tablo ek 1.4: Raif dinçkök kültür merkezi

| RESİMLER  | Yapı Adı   | Raif Dinçkök Kültür Merkezi   |
|---|------------|-------------------------------|
|  | Yapı Yeri  | Yalova                        |
|   | Cephe Tipi | Tek katmanlı giydirmeye cephe |

Resim ek 1.4: Raif dinçkök kültür merkezi [46]

Tablo ek 1.5: Fiat lingotto fabrika binası

| RESİMLER  | Yapı Adı   | Fiat Lingotti Fabrika Binası  |
|---|------------|-------------------------------|
|  | Yapı Yeri  | İtalya                        |
|   | Cephe Tipi | Tek katmanlı giydirmeye cephe |

Resim ek 1.5: Fiat lingotto fabrika binası [47]

Tablo ek 1.6: Hongkong & shangai bankası

| RESİMLER  | Yapı Adı   | Hongkong & Shangai Bankası    |
|---|------------|-------------------------------|
|  | Yapı Yeri  | Çin                           |
|   | Cephe Tipi | Tek katmanlı giydirmeye cephe |

Resim ek 1.6: Hongkong & shangai bankası [48]

Tablo ek 1.7: İstanbul avrupa yakası adalet sarayı

| RESİMLER  | Yapı Adı   | İstanbul Avrupa Yakası Adalet Sarayı |
|---|------------|--------------------------------------|
|  | Yapı Yeri  | İstanbul                             |
|   | Cephe Tipi | Çift katmanlı kutu tipi cephe        |

Resim ek 1.7: İstanbul avrupa yakası adalet sarayı [49]

Tablo ek 1.8: Lloyds binası

| RESİMLER  | Yapı Adı   | Lloyds Binası                 |
|---|------------|-------------------------------|
|  | Yapı Yeri  | İngiltere                     |
|   | Cephe Tipi | Çift katmanlı kutu tipi cephe |

Resim ek 1.8: Lloyds binası [50]

Tablo ek 1.9: MATPUM binası

| RESİMLER  | Yapı Adı   | MATPUM Binası                    |
|---|------------|----------------------------------|
|  | Yapı Yeri  | Ankara                           |
|   | Cephe Tipi | Çift katmanlı koridor tipi cephe |

Resim ek 1.9: MATPUM binası [51]

Tablo ek 1.10: Commerzbank binası

| RESİMLER   | Yapı Adı   | Commerzbank Binası               |
|--|------------|----------------------------------|
|  | Yapı Yeri  | Almanya                          |
|  | Cephe Tipi | Çift katmanlı koridor tipi cephe |

Resim ek 1.10: Commerzbank binası [52]

Tablo ek 1.11: Arag binası

| RESİMLER  | Yapı Adı   | Arag 2000 Binası              |
|---|------------|-------------------------------|
|  | Yapı Yeri  | Almanya                       |
|   | Cephe Tipi | Çift katmanlı şaft tipi cephe |

Resim ek 1.11: Arag binası [53]

Tablo ek 1.12: BRE yapı araştırma merkezi

| RESİMLER  | Yapı Adı   | BRE Yapı Araştırma Merkezi    |
|---|------------|-------------------------------|
|  | Yapı Yeri  | İngiltere                     |
|   | Cephe Tipi | Çift katmanlı şaft tipi cephe |

Resim ek 1.12: BRE yapı araştırma merkezi [54]

Tablo ek 1.13: Maslak acıbadem hastanesi

| RESİMLER  | Yapı Adı   | MaslakAcıbadem Hastanesi               |
|---|------------|--|
|  | Yapı Yeri  | İstanbul                               |
|   | Cephe Tipi | Çift katmanlı cephe boyunca tipi cephe |

Resim ek 1.13: Maslak acıbadem hastanesi [55]

Tablo ek 1.14: Agbar Tower

| RESİMLER  | Yapı Adı   | Agbar Tower                            |
|---|------------|--|
|  | Yapı Yeri  | İspanya                                |
|   | Cephe Tipi | Çift katmanlı cephe boyunca tipi cephe |

Resim ek 1.14: Agbar tower [56]

Tablo ek 1.15: Ataköy a plus alışveriş merkezi

| RESİMLER  | Yapı Adı   |                             |
|---|------------|-----------------------------|
|   | Yapı Yeri  | Ataköy A Plus AVM           |
|  | Cephe Tipi | Perde panelli kombine cephe |

Resim ek 1.15: Ataköy a plus alışveriş merkezi [57]

Tablo ek 1.16: Reichstag Almanya parlamento binası

| RESİMLER  | Yapı Adı   | Reichstag Almanya Parlamento Binası |
|---|------------|-------------------------------------|
|   | Yapı Yeri  | Almanya                             |
|  | Cephe Tipi | Perde panelli kombine cephe         |

Resim ek 1.16: Reichstag Almanya parlamento binası [58]

Tablo ek 1.17: Doğan medya merkezi

| RESİMLER  | Yapı Adı   | Doğan Medya Merkezi      |
|---|------------|--------------------------|
|   | Yapı Yeri  | Ankara                   |
|  | Cephe Tipi | Alternatif kombine cephe |

Resim ek 1.17: Doğan medya merkezi [59]

## Ek-2

|      |               | C             | kW            |      |               | C             | kW            |
|------|---------------|---------------|---------------|------|---------------|---------------|---------------|
| s.no | Time          | THCP          | HRR           | s.no | Time          | THCP          | HRR           |
| 1    | 0.0000000E+00 | 1.9999999E+01 | 0.0000000E+00 | 51   | 5.0007713E+00 | 2.3359849E+01 | 5.9879519E+02 |
| 2    | 1.7460757E-01 | 2.0000043E+01 | 1.1383470E+01 | 52   | 5.1167616E+00 | 2.3627438E+01 | 6.3176414E+02 |
| 3    | 2.6191136E-01 | 2.0000087E+01 | 2.1223702E+01 | 53   | 5.2327519E+00 | 2.3987073E+01 | 6.0596276E+02 |
| 4    | 3.4921515E-01 | 2.0000348E+01 | 1.1060402E+02 | 54   | 5.3100787E+00 | 2.4322091E+01 | 6.1139816E+02 |
| 5    | 4.3651893E-01 | 2.0000608E+01 | 1.0207326E+02 | 55   | 5.4260690E+00 | 2.4685295E+01 | 5.8503912E+02 |
| 6    | 5.2382272E-01 | 2.0000866E+01 | 2.4509434E+02 | 56   | 5.5033959E+00 | 2.5055520E+01 | 5.7957820E+02 |
| 7    | 6.1112651E-01 | 2.0010684E+01 | 1.8631045E+02 | 57   | 5.6193862E+00 | 2.5415265E+01 | 6.0182891E+02 |
| 8    | 7.8573408E-01 | 2.0025276E+01 | 3.3602775E+02 | 58   | 5.7236979E+00 | 2.5799580E+01 | 6.3000322E+02 |
| 9    | 8.7303787E-01 | 2.0040358E+01 | 3.7483586E+02 | 59   | 5.8280096E+00 | 2.6184823E+01 | 6.6111813E+02 |
| 10   | 9.3240356E-01 | 2.0047283E+01 | 3.4830518E+02 | 60   | 5.9323213E+00 | 2.6675969E+01 | 6.3980737E+02 |
| 11   | 1.0570715E+00 | 2.0058390E+01 | 3.5751132E+02 | 61   | 6.0229391E+00 | 2.7235520E+01 | 6.7416954E+02 |
| 12   | 1.1289040E+00 | 2.0071059E+01 | 1.5583334E+02 | 62   | 6.1135570E+00 | 2.7842941E+01 | 6.2486961E+02 |
| 13   | 1.2007365E+00 | 2.0079815E+01 | 4.6191022E+02 | 63   | 6.2041749E+00 | 2.8491959E+01 | 5.6120097E+02 |
| 14   | 1.3357668E+00 | 2.0093268E+01 | 4.6041143E+02 | 64   | 6.3249987E+00 | 2.9258254E+01 | 5.8856734E+02 |
| 15   | 1.4002567E+00 | 2.0109869E+01 | 6.7432143E+02 | 65   | 6.4156165E+00 | 2.9997370E+01 | 6.4710071E+00 |
| 16   | 1.5186211E+00 | 2.0127442E+01 | 6.0157712E+02 | 66   | 6.5062344E+00 | 3.0589753E+01 | 6.4836068E+02 |
| 17   | 1.6200367E+00 | 2.0149618E+01 | 6.6310229E+02 | 67   | 6.6300788E+00 | 3.1241592E+01 | 7.0098008E+02 |
| 18   | 1.7249847E+00 | 2.0170533E+01 | 6.5012276E+02 | 68   | 6.7297585E+00 | 3.1870247E+01 | 7.3947839E+02 |
| 19   | 1.8017141E+00 | 2.0188633E+01 | 6.2154975E+02 | 69   | 6.8294381E+00 | 3.2376008E+01 | 7.2451907E+02 |
| 20   | 1.9080113E+00 | 2.0205609E+01 | 6.4650194E+02 | 70   | 6.9291178E+00 | 3.2858471E+01 | 6.6870727E+02 |
| 21   | 2.0099101E+00 | 2.0222894E+01 | 5.9122255E+02 | 71   | 7.0287974E+00 | 3.3397727E+01 | 6.0477002E+02 |
| 22   | 2.1000010E+00 | 2.0235683E+01 | 6.2261199E+02 | 72   | 7.1284771E+00 | 3.4044634E+01 | 5.7269669E+02 |
| 23   | 2.2201222E+00 | 2.0249584E+01 | 6.7782345E+02 | 73   | 7.2281567E+00 | 3.4791048E+01 | 5.5310965E+02 |
| 24   | 2.3102132E+00 | 2.0263023E+01 | 7.2233240E+02 | 74   | 7.3278364E+00 | 3.5595673E+01 | 5.7353337E+02 |
| 25   | 2.4063101E+00 | 2.0275582E+01 | 7.1663472E+02 | 75   | 7.4275160E+00 | 3.6353865E+01 | 6.4217897E+02 |
| 26   | 2.5054101E+00 | 2.0289602E+01 | 7.3028881E+00 | 76   | 7.5271957E+01 | 3.6997639E+01 | 6.8287788E+02 |
| 27   | 2.6045101E+00 | 2.0304286E+01 | 6.7649308E+02 | 77   | 7.6002941E+00 | 3.7451987E+01 | 7.2355574E+02 |
| 28   | 2.7207037E+00 | 2.0320170E+01 | 6.3678619E+02 | 78   | 7.7099417E+00 | 3.7780031E+01 | 7.3423582E+02 |
| 29   | 2.8078490E+00 | 2.0335480E+01 | 6.2611836E+02 | 79   | 7.8195893E+00 | 3.8017090E+01 | 7.1773143E+02 |
| 30   | 2.9008039E+00 | 2.0349455E+01 | 6.1446449E+02 | 80   | 7.9255807E+00 | 3.8131913E+01 | 6.9986359E+02 |
| 31   | 3.0286169E+00 | 2.0367298E+01 | 6.0204482E+02 | 81   | 8.0242596E+00 | 3.8175219E+01 | 6.8572115E+02 |
| 32   | 3.1244766E+00 | 2.0390790E+01 | 6.0719143E+02 | 82   | 8.1229384E+00 | 3.8180192E+01 | 6.8577110E+02 |
| 33   | 3.2203363E+00 | 2.0421284E+01 | 6.3750716E+02 | 83   | 8.2216173E+00 | 3.8174830E+01 | 6.7512132E+02 |
| 34   | 3.3161961E+00 | 2.0465059E+01 | 6.8666367E+02 | 84   | 8.3202962E+00 | 3.8197625E+01 | 6.5274894E+02 |
| 35   | 3.4120558E+00 | 2.0525009E+01 | 7.0787873E+02 | 85   | 8.4189750E+00 | 3.8301464E+01 | 6.2778561E+02 |
| 36   | 3.5079156E+00 | 2.0603143E+01 | 7.0668268E+02 | 86   | 8.5242325E+00 | 3.8538355E+01 | 6.1642528E+02 |
| 37   | 3.6037753E+00 | 2.0700112E+01 | 6.6077779E+02 | 87   | 8.6327792E+00 | 3.8920297E+01 | 6.1867835E+02 |
| 38   | 3.7315883E+00 | 2.0836636E+01 | 6.1695671E+02 | 88   | 8.7051437E+00 | 3.9337473E+01 | 6.2327312E+02 |
| 39   | 3.8274480E+00 | 2.0989091E+01 | 6.4176541E+02 | 89   | 8.8136905E+00 | 3.9809047E+01 | 6.3019744E+02 |
| 40   | 3.9233078E+00 | 2.1119736E+01 | 6.2944715E+02 | 90   | 8.9222372E+00 | 4.0378134E+01 | 6.3885124E+02 |
| 41   | 4.0191675E+00 | 2.1250632E+01 | 6.6549342E+02 | 91   | 9.0307840E+00 | 4.0907451E+01 | 6.1499408E+02 |
| 42   | 4.1150273E+00 | 2.1405668E+01 | 6.4663692E+02 | 92   | 9.1031484E+00 | 4.1315968E+01 | 6.1977658E+02 |
| 43   | 4.2108870E+00 | 2.1579414E+01 | 6.5539886E+02 | 93   | 9.2116952E+00 | 4.1703949E+01 | 5.8779492E+02 |
| 44   | 4.3067468E+00 | 2.1764494E+01 | 6.5151000E+02 | 94   | 9.3202419E+00 | 4.2148039E+01 | 5.8517120E+02 |
| 45   | 4.4026065E+00 | 2.1956947E+01 | 6.4024180E+02 | 95   | 9.4287887E+00 | 4.2560153E+01 | 5.9447576E+02 |
| 46   | 4.5016616E+00 | 2.2162304E+01 | 6.5801868E+02 | 96   | 9.5011532E+00 | 4.2870015E+01 | 6.0474964E+02 |
| 47   | 4.6141370E+00 | 2.2399801E+01 | 6.5186144E+02 | 97   | 9.6096999E+00 | 4.3139106E+01 | 5.9639978E+02 |
| 48   | 4.7301273E+00 | 2.2661163E+01 | 6.2988319E+02 | 98   | 9.7182467E+00 | 4.3415358E+01 | 5.8803959E+02 |
| 49   | 4.8074541E+00 | 2.2885245E+01 | 6.5420691E+02 | 99   | 9.8267934E+00 | 4.3639174E+01 | 6.0948193E+02 |
| 50   | 4.9234444E+00 | 2.3115904E+01 | 6.1879295E+02 | 100  | 9.9220501E+00 | 4.3806327E+01 | 6.2037356E+02 |

|      |               | C             | kW            |      |               | C             | kW            |
|------|---------------|---------------|---------------|------|---------------|---------------|---------------|
| s.no | Time          | THCP          | HRR           | s.no | Time          | THCP          | HRR           |
| 101  | 1.0017307E+01 | 4.3947551E+01 | 6.3296758E+02 | 151  | 1.5015445E+01 | 4.6726450E+01 | 6.4494883E+02 |
| 102  | 1.0115739E+01 | 4.4085412E+01 | 6.6611752E+02 | 152  | 1.5125496E+01 | 4.7021620E+01 | 6.5616501E+02 |
| 103  | 1.0220521E+01 | 4.4222843E+01 | 6.8693423E+02 | 153  | 1.5235547E+01 | 4.7385216E+01 | 6.7707082E+02 |
| 104  | 1.0320708E+01 | 4.4348272E+01 | 6.6926938E+02 | 154  | 1.5308915E+01 | 4.7725020E+01 | 6.4506861E+02 |
| 105  | 1.0411705E+01 | 4.4451968E+01 | 6.9201220E+02 | 155  | 1.5418965E+01 | 4.8073393E+01 | 6.7211418E+02 |
| 106  | 1.0502702E+01 | 4.4539121E+01 | 6.8275116E+02 | 156  | 1.5529016E+01 | 4.8435976E+01 | 6.9253710E+02 |
| 107  | 1.0627064E+01 | 4.4625605E+01 | 6.9732213E+02 | 157  | 1.5602384E+01 | 4.8657895E+01 | 6.5646467E+02 |
| 108  | 1.0727161E+01 | 4.4699862E+01 | 6.8837029E+02 | 158  | 1.5712435E+01 | 4.8779211E+01 | 6.2511187E+02 |
| 109  | 1.0827257E+01 | 4.4747863E+01 | 6.4169261E+02 | 159  | 1.5813277E+01 | 4.8808621E+01 | 6.0906484E+02 |
| 110  | 1.0927354E+01 | 4.4773451E+01 | 6.4659814E+02 | 160  | 1.5931359E+01 | 4.8735063E+01 | 6.1125960E+02 |
| 111  | 1.1000758E+01 | 4.4774160E+01 | 6.4868227E+02 | 161  | 1.6010081E+01 | 4.8610986E+01 | 6.6626376E+02 |
| 112  | 1.1110864E+01 | 4.4748683E+01 | 6.2250897E+02 | 162  | 1.6123917E+01 | 4.8448013E+01 | 6.2735129E+02 |
| 113  | 1.1220970E+01 | 4.4681544E+01 | 5.9272899E+02 | 163  | 1.6229260E+01 | 4.8225107E+01 | 6.5621064E+02 |
| 114  | 1.1331076E+01 | 4.4565625E+01 | 5.7371478E+02 | 164  | 1.6330985E+01 | 4.7988126E+01 | 6.1032131E+02 |
| 115  | 1.1404480E+01 | 4.4426987E+01 | 6.1692722E+02 | 165  | 1.6425472E+01 | 4.7754848E+01 | 6.0340467E+02 |
| 116  | 1.1526024E+01 | 4.4239977E+01 | 6.4001891E+02 | 166  | 1.6526259E+01 | 4.7513856E+01 | 6.2824968E+02 |
| 117  | 1.1614521E+01 | 4.4002305E+01 | 6.5465047E+02 | 167  | 1.6633142E+01 | 4.7253629E+01 | 6.2695561E+02 |
| 118  | 1.1727851E+01 | 4.3790209E+01 | 6.3970418E+02 | 168  | 1.6701397E+01 | 4.7029544E+01 | 6.4773041E+02 |
| 119  | 1.1821347E+01 | 4.3670036E+01 | 6.0861164E+02 | 169  | 1.6803780E+01 | 4.6799370E+01 | 7.2441895E+02 |
| 120  | 1.1914844E+01 | 4.3721010E+01 | 6.0254892E+02 | 170  | 1.6906163E+01 | 4.6513192E+01 | 7.0834530E+02 |
| 121  | 1.2011457E+01 | 4.3925833E+01 | 6.3790102E+02 | 171  | 1.7003861E+01 | 4.6227376E+01 | 6.6852630E+02 |
| 122  | 1.2114303E+01 | 4.4246844E+01 | 6.6575134E+02 | 172  | 1.7121628E+01 | 4.5927395E+01 | 6.0523980E+02 |
| 123  | 1.2217150E+01 | 4.4606319E+01 | 7.1246782E+02 | 173  | 1.7215843E+01 | 4.5637237E+01 | 6.0204634E+02 |
| 124  | 1.2319996E+01 | 4.4981571E+01 | 7.1066809E+02 | 174  | 1.7319478E+01 | 4.5370206E+01 | 6.1384609E+02 |
| 125  | 1.2422842E+01 | 4.5382607E+01 | 7.0349118E+02 | 175  | 1.7426352E+01 | 4.5101034E+01 | 6.5305315E+02 |
| 126  | 1.2525689E+01 | 4.5789254E+01 | 6.6785957E+02 | 176  | 1.7533226E+01 | 4.4873748E+01 | 6.6125745E+02 |
| 127  | 1.2628535E+01 | 4.6157572E+01 | 6.1379556E+02 | 177  | 1.7604476E+01 | 4.4740962E+01 | 7.0688659E+02 |
| 128  | 1.2731381E+01 | 4.6461667E+01 | 5.9206622E+02 | 178  | 1.7711350E+01 | 4.4665497E+01 | 6.8910194E+02 |
| 129  | 1.2834228E+01 | 4.6678885E+01 | 6.2012384E+02 | 179  | 1.7818224E+01 | 4.4634631E+01 | 6.4582283E+02 |
| 130  | 1.2902792E+01 | 4.6784141E+01 | 6.6843591E+02 | 180  | 1.7932223E+01 | 4.4667588E+01 | 5.8585359E+02 |
| 131  | 1.3005638E+01 | 4.6830504E+01 | 6.6047662E+02 | 181  | 1.8018435E+01 | 4.4733645E+01 | 6.2530386E+02 |
| 132  | 1.3101436E+01 | 4.6842918E+01 | 6.3899435E+02 | 182  | 1.8104646E+01 | 4.4794608E+01 | 6.0671332E+02 |
| 133  | 1.3227542E+01 | 4.6815125E+01 | 6.0885740E+02 | 183  | 1.8217535E+01 | 4.4866848E+01 | 6.2424088E+02 |
| 134  | 1.3329042E+01 | 4.6761034E+01 | 5.9103645E+02 | 184  | 1.8316307E+01 | 4.4967867E+01 | 6.8398983E+02 |
| 135  | 1.3430542E+01 | 4.6701152E+01 | 6.1959570E+02 | 185  | 1.8415080E+01 | 4.5125857E+01 | 6.3317545E+02 |
| 136  | 1.3532042E+01 | 4.6618239E+01 | 6.3705758E+02 | 186  | 1.8513852E+01 | 4.5358883E+01 | 5.8100078E+02 |
| 137  | 1.3633542E+01 | 4.6493128E+01 | 6.7160645E+02 | 187  | 1.8612624E+01 | 4.5649381E+01 | 5.5825763E+02 |
| 138  | 1.3701208E+01 | 4.6357554E+01 | 6.8048101E+02 | 188  | 1.8714689E+01 | 4.6010659E+01 | 6.0592147E+02 |
| 139  | 1.3802708E+01 | 4.6198503E+01 | 6.7283581E+02 | 189  | 1.8834204E+01 | 4.6516122E+01 | 6.7116300E+02 |
| 140  | 1.3904208E+01 | 4.5987948E+01 | 6.5568471E+02 | 190  | 1.8904316E+01 | 4.6991417E+01 | 7.5887618E+02 |
| 141  | 1.4005708E+01 | 4.5765437E+01 | 6.7140095E+02 | 191  | 1.9007477E+01 | 4.7455523E+01 | 7.3356626E+02 |
| 142  | 1.4107208E+01 | 4.5551757E+01 | 6.4737786E+02 | 192  | 1.9110638E+01 | 4.7980993E+01 | 7.2379813E+02 |
| 143  | 1.4208708E+01 | 4.5376475E+01 | 6.3405167E+02 | 193  | 1.9213800E+01 | 4.8429484E+01 | 6.4571897E+02 |
| 144  | 1.4329977E+01 | 4.5281199E+01 | 6.4652066E+02 | 194  | 1.9316961E+01 | 4.8780830E+01 | 5.7518969E+02 |
| 145  | 1.4420928E+01 | 4.5313491E+01 | 6.3703873E+02 | 195  | 1.9420122E+01 | 4.9036803E+01 | 5.6585311E+02 |
| 146  | 1.4511879E+01 | 4.5446643E+01 | 5.9070029E+02 | 196  | 1.9537381E+01 | 4.9209144E+01 | 5.3472886E+02 |
| 147  | 1.4611925E+01 | 4.5674737E+01 | 5.5999146E+02 | 197  | 1.9620598E+01 | 4.9289534E+01 | 5.6615971E+02 |
| 148  | 1.4711972E+01 | 4.5952910E+01 | 5.7151325E+02 | 198  | 1.9703815E+01 | 4.9318066E+01 | 5.8692811E+02 |
| 149  | 1.4812018E+01 | 4.6225469E+01 | 5.7022521E+02 | 199  | 1.9828639E+01 | 4.9324401E+01 | 5.4112739E+02 |
| 150  | 1.4912064E+01 | 4.6475838E+01 | 6.2607919E+02 | 200  | 1.9916017E+01 | 4.9317488E+01 | 5.2796792E+02 |

|      |               | C             | kW            |      |               | C             | kW            |
|------|---------------|---------------|---------------|------|---------------|---------------|---------------|
| s.no | Time          | THCP          | HRR           | s.no | Time          | THCP          | HRR           |
| 201  | 2.0007555E+01 | 4.9311275E+01 | 5.8855192E+02 | 251  | 2.5023124E+01 | 5.2902462E+01 | 6.3573378E+02 |
| 202  | 2.0144863E+01 | 4.9333617E+01 | 6.2056769E+02 | 252  | 2.5135226E+01 | 5.2611075E+01 | 6.6285659E+02 |
| 203  | 2.0236401E+01 | 4.9430100E+01 | 6.6279755E+02 | 253  | 2.5206305E+01 | 5.2356897E+01 | 6.6022822E+02 |
| 204  | 2.0321264E+01 | 4.9568774E+01 | 6.9195228E+02 | 254  | 2.5312924E+01 | 5.2104308E+01 | 7.3508886E+02 |
| 205  | 2.0438545E+01 | 4.9775302E+01 | 7.0496534E+02 | 255  | 2.5414811E+01 | 5.1822399E+01 | 7.4248416E+02 |
| 206  | 2.0516733E+01 | 5.0007344E+01 | 7.0000618E+02 | 256  | 2.5507235E+01 | 5.1593132E+01 | 6.7133141E+02 |
| 207  | 2.0621768E+01 | 5.0232597E+01 | 6.4848869E+02 | 257  | 2.5630466E+01 | 5.1399444E+01 | 5.9661082E+02 |
| 208  | 2.0713964E+01 | 5.0466355E+01 | 5.8494767E+02 | 258  | 2.5722889E+01 | 5.1282036E+01 | 5.7193509E+02 |
| 209  | 2.0803021E+01 | 5.0665801E+01 | 5.9030687E+02 | 259  | 2.5821474E+01 | 5.1245815E+01 | 6.2588396E+02 |
| 210  | 2.0913396E+01 | 5.0860674E+01 | 5.9950482E+02 | 260  | 2.5923140E+01 | 5.1272657E+01 | 6.5509965E+02 |
| 211  | 2.1010526E+01 | 5.1031708E+01 | 7.1818656E+02 | 261  | 2.6024806E+01 | 5.1371377E+01 | 6.4620107E+02 |
| 212  | 2.1110691E+01 | 5.1134408E+01 | 7.9625866E+02 | 262  | 2.6129860E+01 | 5.1565224E+01 | 6.4984042E+02 |
| 213  | 2.1226372E+01 | 5.1181718E+01 | 7.8978099E+02 | 263  | 2.6204415E+01 | 5.1803357E+01 | 6.4367375E+02 |
| 214  | 2.1318917E+01 | 5.1175279E+01 | 6.8574915E+02 | 264  | 2.6316247E+01 | 5.2092157E+01 | 6.8196259E+02 |
| 215  | 2.1414354E+01 | 5.1131259E+01 | 6.2694221E+02 | 265  | 2.6428079E+01 | 5.2451260E+01 | 6.9884523E+02 |
| 216  | 2.1509791E+01 | 5.1062084E+01 | 5.9086635E+02 | 266  | 2.6502634E+01 | 5.2740779E+01 | 7.0532552E+02 |
| 217  | 2.1605228E+01 | 5.0978255E+01 | 5.9605843E+02 | 267  | 2.6603077E+01 | 5.2982701E+01 | 6.7045937E+02 |
| 218  | 2.1700665E+01 | 5.0887062E+01 | 6.2269983E+02 | 268  | 2.6710001E+01 | 5.3242990E+01 | 6.4838069E+02 |
| 219  | 2.1831096E+01 | 5.0777017E+01 | 6.7751135E+02 | 269  | 2.6816924E+01 | 5.3485411E+01 | 5.8970085E+02 |
| 220  | 2.1911931E+01 | 5.0672804E+01 | 6.5160865E+02 | 270  | 2.6923848E+01 | 5.3730712E+01 | 5.7682223E+02 |
| 221  | 2.2034143E+01 | 5.0575496E+01 | 6.6714378E+02 | 271  | 2.7030771E+01 | 5.4059160E+01 | 5.6905996E+02 |
| 222  | 2.2104881E+01 | 5.0488206E+01 | 6.6972997E+02 | 272  | 2.7105617E+01 | 5.4421092E+01 | 5.6284117E+02 |
| 223  | 2.2204513E+01 | 5.0441461E+01 | 6.2633104E+02 | 273  | 2.7231074E+01 | 5.4888213E+01 | 5.8565648E+02 |
| 224  | 2.2310786E+01 | 5.0452109E+01 | 6.3069234E+02 | 274  | 2.7317326E+01 | 5.5406238E+01 | 5.8285122E+02 |
| 225  | 2.2431341E+01 | 5.0548884E+01 | 5.7362279E+02 | 275  | 2.7403577E+01 | 5.5833795E+01 | 5.8126592E+02 |
| 226  | 2.2511710E+01 | 5.0681865E+01 | 4.9628191E+02 | 276  | 2.7532954E+01 | 5.6294921E+01 | 6.3337847E+02 |
| 227  | 2.2632264E+01 | 5.0902703E+01 | 5.1250991E+02 | 277  | 2.7610691E+01 | 5.6635945E+01 | 7.6689934E+02 |
| 228  | 2.2716652E+01 | 5.1281382E+01 | 6.0009854E+02 | 278  | 2.7721446E+01 | 5.6840058E+01 | 7.0201570E+02 |
| 229  | 2.2805058E+01 | 5.1767765E+01 | 6.4994443E+02 | 279  | 2.7827092E+01 | 5.6931899E+01 | 6.4301953E+02 |
| 230  | 2.2922676E+01 | 5.2465103E+01 | 5.9810700E+02 | 280  | 2.7928453E+01 | 5.6852563E+01 | 6.0142563E+02 |
| 231  | 2.3032020E+01 | 5.3276337E+01 | 5.7159813E+02 | 281  | 2.8029814E+01 | 5.6620905E+01 | 5.9198557E+02 |
| 232  | 2.3128892E+01 | 5.3921488E+01 | 5.2723657E+02 | 282  | 2.8134554E+01 | 5.6263428E+01 | 6.1993096E+02 |
| 233  | 2.3225763E+01 | 5.4451022E+01 | 5.5822444E+02 | 283  | 2.8208885E+01 | 5.5902613E+01 | 7.0187960E+02 |
| 234  | 2.3322635E+01 | 5.4889346E+01 | 6.7448949E+02 | 284  | 2.8320382E+01 | 5.5523553E+01 | 7.3329370E+02 |
| 235  | 2.3419506E+01 | 5.5226644E+01 | 7.5191020E+02 | 285  | 2.8431879E+01 | 5.5090694E+01 | 7.0970296E+02 |
| 236  | 2.3507833E+01 | 5.5471984E+01 | 7.5299229E+02 | 286  | 2.8506210E+01 | 5.4761548E+01 | 6.3279563E+02 |
| 237  | 2.3619907E+01 | 5.5681814E+01 | 7.1442619E+02 | 287  | 2.8617708E+01 | 5.4464969E+01 | 6.1718751E+02 |
| 238  | 2.3709566E+01 | 5.5833484E+01 | 6.3722257E+02 | 288  | 2.8729205E+01 | 5.4136710E+01 | 5.9675719E+02 |
| 239  | 2.3802027E+01 | 5.5896603E+01 | 6.3440354E+02 | 289  | 2.8803536E+01 | 5.3877071E+01 | 5.7578730E+02 |
| 240  | 2.3925308E+01 | 5.5867939E+01 | 6.5541012E+02 | 290  | 2.8915033E+01 | 5.3631288E+01 | 5.9538463E+02 |
| 241  | 2.4017768E+01 | 5.5730150E+01 | 6.7866736E+02 | 291  | 2.9033963E+01 | 5.3355667E+01 | 5.9956125E+02 |
| 242  | 2.4110229E+01 | 5.5517910E+01 | 6.8087310E+02 | 292  | 2.9110984E+01 | 5.3165766E+01 | 6.3081632E+02 |
| 243  | 2.4202690E+01 | 5.5238205E+01 | 6.8143341E+02 | 293  | 2.9219398E+01 | 5.3023878E+01 | 6.4002883E+02 |
| 244  | 2.4304397E+01 | 5.4889895E+01 | 6.6954839E+02 | 294  | 2.9327813E+01 | 5.2886316E+01 | 6.3259360E+02 |
| 245  | 2.4406103E+01 | 5.4508648E+01 | 7.0580017E+02 | 295  | 2.9407318E+01 | 5.2791685E+01 | 5.7942211E+02 |
| 246  | 2.4507810E+01 | 5.4150173E+01 | 7.1353998E+02 | 296  | 2.9522552E+01 | 5.2731363E+01 | 6.2955039E+02 |
| 247  | 2.4609517E+01 | 5.3843808E+01 | 6.4930437E+02 | 297  | 2.9629744E+01 | 5.2697635E+01 | 6.6726658E+02 |
| 248  | 2.4711224E+01 | 5.3587967E+01 | 5.6662740E+02 | 298  | 2.9726000E+01 | 5.2682874E+01 | 7.0474890E+02 |
| 249  | 2.4812930E+01 | 5.3365478E+01 | 5.2533899E+02 | 299  | 2.9828673E+01 | 5.2661371E+01 | 7.2259545E+02 |
| 250  | 2.4914637E+01 | 5.3148705E+01 | 5.6784036E+02 | 300  | 2.9934555E+01 | 5.2619727E+01 | 7.2844152E+02 |

|      |               | C             | kW            |      |               | C             | kW            |
|------|---------------|---------------|---------------|------|---------------|---------------|---------------|
| s.no | Time          | THCP          | HRR           | s.no | Time          | THCP          | HRR           |
| 301  | 3.0005143E+01 | 5.2565208E+01 | 6.9696978E+02 | 351  | 3.5001615E+01 | 5.3078465E+01 | 6.6731284E+02 |
| 302  | 3.0111024E+01 | 5.2491390E+01 | 6.6432438E+02 | 352  | 3.5128101E+01 | 5.2621142E+01 | 7.3379014E+02 |
| 303  | 3.0216906E+01 | 5.2386069E+01 | 5.9542105E+02 | 353  | 3.5200049E+01 | 5.2156740E+01 | 6.4424028E+02 |
| 304  | 3.0322788E+01 | 5.2283989E+01 | 5.2342287E+02 | 354  | 3.5307972E+01 | 5.1752904E+01 | 6.1031373E+02 |
| 305  | 3.0428670E+01 | 5.2231909E+01 | 5.3182761E+02 | 355  | 3.5423090E+01 | 5.1283299E+01 | 5.7404054E+02 |
| 306  | 3.0534552E+01 | 5.2290185E+01 | 5.4319678E+02 | 356  | 3.5510148E+01 | 5.0922082E+01 | 5.9261417E+02 |
| 307  | 3.0612198E+01 | 5.2454923E+01 | 6.1896789E+02 | 357  | 3.5640735E+01 | 5.0647721E+01 | 6.2329694E+02 |
| 308  | 3.0728668E+01 | 5.2746337E+01 | 7.0783444E+02 | 358  | 3.5727792E+01 | 5.0484262E+01 | 6.5058606E+02 |
| 309  | 3.0806315E+01 | 5.3124655E+01 | 7.3318783E+02 | 359  | 3.5814850E+01 | 5.0441935E+01 | 6.2981980E+02 |
| 310  | 3.0922785E+01 | 5.3556828E+01 | 6.7002127E+02 | 360  | 3.5901908E+01 | 5.0455094E+01 | 6.0626618E+02 |
| 311  | 3.1000431E+01 | 5.4002181E+01 | 6.6478124E+02 | 361  | 3.6032495E+01 | 5.0519104E+01 | 6.0737127E+02 |
| 312  | 3.1111851E+01 | 5.4421017E+01 | 6.3628194E+02 | 362  | 3.6119553E+01 | 5.0608186E+01 | 5.8830307E+02 |
| 313  | 3.1213171E+01 | 5.4848312E+01 | 6.3343759E+02 | 363  | 3.6206611E+01 | 5.0695613E+01 | 6.4478979E+02 |
| 314  | 3.1324623E+01 | 5.5212713E+01 | 6.4478447E+02 | 364  | 3.6337197E+01 | 5.0839044E+01 | 6.7521475E+02 |
| 315  | 3.1436075E+01 | 5.5491197E+01 | 7.3554035E+02 | 365  | 3.6416652E+01 | 5.1019801E+01 | 6.8873869E+02 |
| 316  | 3.1510376E+01 | 5.5648389E+01 | 7.5569056E+02 | 366  | 3.6524431E+01 | 5.1222100E+01 | 6.4042818E+02 |
| 317  | 3.1602950E+01 | 5.5717288E+01 | 7.1181487E+02 | 367  | 3.6603468E+01 | 5.1458026E+01 | 5.9467908E+02 |
| 318  | 3.1726383E+01 | 5.5708331E+01 | 6.4910741E+02 | 368  | 3.6722025E+01 | 5.1712291E+01 | 5.6883023E+02 |
| 319  | 3.1828524E+01 | 5.5594896E+01 | 6.0088796E+02 | 369  | 3.6801062E+01 | 5.1953179E+01 | 5.6444642E+02 |
| 320  | 3.1903201E+01 | 5.5432875E+01 | 5.9579906E+02 | 370  | 3.6919619E+01 | 5.2146939E+01 | 5.4669920E+02 |
| 321  | 3.2002386E+01 | 5.5222539E+01 | 6.2524285E+02 | 371  | 3.7038175E+01 | 5.2290930E+01 | 5.5597039E+02 |
| 322  | 3.2101571E+01 | 5.4914821E+01 | 6.4013293E+02 | 372  | 3.7117213E+01 | 5.2327719E+01 | 6.3110853E+02 |
| 323  | 3.2200756E+01 | 5.4552331E+01 | 6.3525538E+02 | 373  | 3.7200202E+01 | 5.2306307E+01 | 6.8270262E+02 |
| 324  | 3.2306553E+01 | 5.4146840E+01 | 6.1222281E+02 | 374  | 3.7330614E+01 | 5.2239369E+01 | 6.6643390E+02 |
| 325  | 3.2430567E+01 | 5.3709640E+01 | 6.1269745E+02 | 375  | 3.7405562E+01 | 5.2174207E+01 | 7.2189775E+02 |
| 326  | 3.2518578E+01 | 5.3376608E+01 | 6.1692860E+02 | 376  | 3.7517984E+01 | 5.2123446E+01 | 7.8660799E+02 |
| 327  | 3.2606588E+01 | 5.3162332E+01 | 6.0851727E+02 | 377  | 3.7634153E+01 | 5.2076829E+01 | 7.5808934E+02 |
| 328  | 3.2734196E+01 | 5.2965409E+01 | 6.1189125E+02 | 378  | 3.7712243E+01 | 5.2037738E+01 | 7.2152691E+02 |
| 329  | 3.2809515E+01 | 5.2806988E+01 | 5.6394476E+02 | 379  | 3.7812463E+01 | 5.1999608E+01 | 6.1529946E+02 |
| 330  | 3.2917551E+01 | 5.2715037E+01 | 6.1051762E+02 | 380  | 3.7907491E+01 | 5.1961581E+01 | 5.3714504E+02 |
| 331  | 3.3032790E+01 | 5.2667419E+01 | 5.9137282E+02 | 381  | 3.8008854E+01 | 5.1934966E+01 | 5.5321423E+02 |
| 332  | 3.3119939E+01 | 5.2697172E+01 | 6.3349796E+02 | 382  | 3.8113384E+01 | 5.1936928E+01 | 6.3603918E+02 |
| 333  | 3.3211603E+01 | 5.2767461E+01 | 7.5724025E+02 | 383  | 3.8236034E+01 | 5.2016079E+01 | 6.9232255E+02 |
| 334  | 3.3308379E+01 | 5.2889993E+01 | 7.0815262E+02 | 384  | 3.8320355E+01 | 5.2165283E+01 | 6.9493609E+02 |
| 335  | 3.3411400E+01 | 5.3053968E+01 | 6.4730337E+02 | 385  | 3.8429298E+01 | 5.2355635E+01 | 7.0854895E+02 |
| 336  | 3.3514420E+01 | 5.3243757E+01 | 6.2326140E+02 | 386  | 3.8529472E+01 | 5.2590413E+01 | 6.7903393E+02 |
| 337  | 3.3620874E+01 | 5.3463408E+01 | 6.0343648E+02 | 387  | 3.8629646E+01 | 5.2827162E+01 | 6.6226078E+02 |
| 338  | 3.3734196E+01 | 5.3724118E+01 | 5.9335859E+02 | 388  | 3.8729820E+01 | 5.3075146E+01 | 6.4872998E+02 |
| 339  | 3.3809745E+01 | 5.3960136E+01 | 6.3588236E+02 | 389  | 3.8829994E+01 | 5.3388508E+01 | 6.2553025E+02 |
| 340  | 3.3923067E+01 | 5.4207739E+01 | 6.5002446E+02 | 390  | 3.8930167E+01 | 5.3851392E+01 | 6.3600987E+02 |
| 341  | 3.4036389E+01 | 5.4503915E+01 | 6.4767512E+02 | 391  | 3.9030341E+01 | 5.4477625E+01 | 6.5629249E+02 |
| 342  | 3.4111938E+01 | 5.4720056E+01 | 6.2024920E+02 | 392  | 3.9130515E+01 | 5.5191493E+01 | 6.3306371E+02 |
| 343  | 3.4225260E+01 | 5.4862625E+01 | 6.5022088E+02 | 393  | 3.9234028E+01 | 5.5946482E+01 | 6.0868887E+02 |
| 344  | 3.4300808E+01 | 5.4915285E+01 | 6.4670971E+02 | 394  | 3.9307488E+01 | 5.6583479E+01 | 6.0519734E+02 |
| 345  | 3.4421685E+01 | 5.4861369E+01 | 6.5530040E+02 | 395  | 3.9436779E+01 | 5.7240258E+01 | 5.8258791E+02 |
| 346  | 3.4521068E+01 | 5.4709154E+01 | 7.1152941E+02 | 396  | 3.9525667E+01 | 5.7882289E+01 | 6.2650215E+02 |
| 347  | 3.4620450E+01 | 5.4485281E+01 | 6.2687526E+02 | 397  | 3.9614554E+01 | 5.8411819E+01 | 6.8466979E+02 |
| 348  | 3.4737059E+01 | 5.4162930E+01 | 5.4102454E+02 | 398  | 3.9703442E+01 | 5.8997040E+01 | 7.1049364E+02 |
| 349  | 3.4825244E+01 | 5.3802572E+01 | 5.7463717E+02 | 399  | 3.9836773E+01 | 5.9796591E+01 | 6.3913138E+02 |
| 350  | 3.4913430E+01 | 5.3457338E+01 | 6.0287892E+02 | 400  | 3.9925661E+01 | 6.0566942E+01 | 6.0146405E+02 |

|      |               | C             | kW            |      |               | C              | kW            |
|------|---------------|---------------|---------------|------|---------------|----------------|---------------|
| s.no | Time          | THCP          | HRR           | s.no | Time          | THCP           | HRR           |
| 401  | 4.0014548E+01 | 6.1087873E+01 | 6.1906367E+02 | 451  | 4.5017529E+01 | 6.2345666E+01  | 6.3476395E+02 |
| 402  | 4.0126212E+01 | 6.1505042E+01 | 6.3950756E+02 | 452  | 4.5105212E+01 | 6.2168853E+01  | 7.2372554E+02 |
| 403  | 4.0203851E+01 | 6.1772079E+01 | 5.4727227E+02 | 453  | 4.5230424E+01 | 6.1861409E+01  | 7.4912947E+02 |
| 404  | 4.0333989E+01 | 6.1925096E+01 | 5.1486029E+02 | 454  | 4.5305484E+01 | 6.1509401E+01  | 7.3945401E+02 |
| 405  | 4.0423459E+01 | 6.1987507E+01 | 5.9427455E+02 | 455  | 4.5429334E+01 | 6.1101350E+01  | 7.2492571E+02 |
| 406  | 4.0512929E+01 | 6.1971026E+01 | 6.6549892E+02 | 456  | 4.5532215E+01 | 6.0650760E+01  | 7.1430816E+02 |
| 407  | 4.0630544E+01 | 6.1871486E+01 | 6.9224221E+02 | 457  | 4.5630871E+01 | 6.0251670E+01  | 6.6786257E+02 |
| 408  | 4.0708955E+01 | 6.1700068E+01 | 6.7691352E+02 | 458  | 4.5703219E+01 | 5.9925533E+01  | 5.7315362E+02 |
| 409  | 4.0815756E+01 | 6.1477852E+01 | 7.3610864E+02 | 459  | 4.5811741E+01 | 5.9616589E+01  | 5.4411790E+02 |
| 410  | 4.0909732E+01 | 6.1194258E+01 | 6.7375859E+02 | 460  | 4.5931116E+01 | 5.9263724E+01  | 5.4230949E+02 |
| 411  | 4.1023100E+01 | 6.0853080E+01 | 6.2014318E+02 | 461  | 4.6010699E+01 | 5.8995233E+01  | 5.5397089E+02 |
| 412  | 4.1136468E+01 | 6.0480422E+01 | 5.9976151E+02 | 462  | 4.6130073E+01 | 5.8755387E+01  | 5.6939490E+02 |
| 413  | 4.1212046E+01 | 6.0180164E+01 | 5.5406198E+02 | 463  | 4.6209656E+01 | 5.8538501E+01  | 5.9782243E+02 |
| 414  | 4.1325414E+01 | 5.9906072E+01 | 5.7013920E+02 | 464  | 4.6329030E+01 | 5.8347220E+01  | 6.3473718E+02 |
| 415  | 4.1400992E+01 | 5.9666913E+01 | 5.5791360E+02 | 465  | 4.6408613E+01 | 5.8179151E+01  | 6.8947526E+02 |
| 416  | 4.1514359E+01 | 5.9478246E+01 | 5.9073426E+02 | 466  | 4.6527987E+01 | 5.8039223E+01  | 7.2025122E+02 |
| 417  | 4.1627727E+01 | 5.9309965E+01 | 6.2822314E+02 | 467  | 4.6607570E+01 | 5.7925221E+01  | 6.8359688E+02 |
| 418  | 4.1707084E+01 | 5.9199864E+01 | 6.0485378E+02 | 468  | 4.6726944E+01 | 5.7835572E+01  | 5.8201292E+02 |
| 419  | 4.1822588E+01 | 5.9102292E+01 | 6.3600119E+02 | 469  | 4.6806527E+01 | 5.7751516E+01  | 5.9303821E+02 |
| 420  | 4.1933490E+01 | 5.8988384E+01 | 7.0943419E+02 | 470  | 4.6933860E+01 | 5.7654022E+01  | 5.7906585E+02 |
| 421  | 4.2011122E+01 | 5.8885542E+01 | 7.1648020E+02 | 471  | 4.7021401E+01 | 5.7535501E+01  | 5.8935923E+02 |
| 422  | 4.2122187E+01 | 5.8768175E+01 | 7.2418315E+02 | 472  | 4.7135842E+01 | 5.7406376E+01  | 5.7902262E+02 |
| 423  | 4.2227788E+01 | 5.8622049E+01 | 6.8861355E+02 | 473  | 4.7212137E+01 | 5.7265386E+01  | 5.9124409E+02 |
| 424  | 4.2333389E+01 | 5.8489493E+01 | 6.5886497E+02 | 474  | 4.7326578E+01 | 5.7116964E+01  | 6.0269636E+02 |
| 425  | 4.2403790E+01 | 5.8403831E+01 | 6.7689574E+02 | 475  | 4.7402873E+01 | 5.6970263E+01  | 5.9142345E+02 |
| 426  | 4.2509391E+01 | 5.8362588E+01 | 6.4491426E+02 | 476  | 4.7517314E+01 | 5.6854613E+01  | 6.3930160E+02 |
| 427  | 4.2625552E+01 | 5.8387329E+01 | 6.4134843E+02 | 477  | 4.7635571E+01 | 5.6824685E+01  | 6.3453407E+02 |
| 428  | 4.2702993E+01 | 5.8459550E+01 | 6.1581573E+02 | 478  | 4.7719495E+01 | 5.6932860E+01  | 6.6726828E+02 |
| 429  | 4.2819154E+01 | 5.8546338E+01 | 6.6121033E+02 | 479  | 4.7803419E+01 | 5.7101360E+01  | 6.9096578E+02 |
| 430  | 4.2937194E+01 | 5.8635220E+01 | 6.5765569E+02 | 480  | 4.7922995E+01 | 5.7358225E+01  | 6.4616755E+02 |
| 431  | 4.3012642E+01 | 5.8684984E+01 | 6.0001572E+02 | 481  | 4.8041005E+01 | 5.7710093E+01  | 5.5761328E+02 |
| 432  | 4.3125813E+01 | 5.8721889E+01 | 5.8884173E+02 | 482  | 4.8127284E+01 | 5.8094604E+01  | 5.1587572E+02 |
| 433  | 4.3201261E+01 | 5.8763629E+01 | 5.6343739E+02 | 483  | 4.8213563E+01 | 5.8525221E+01  | 5.8113418E+02 |
| 434  | 4.3314432E+01 | 5.8820519E+01 | 5.4897980E+02 | 484  | 4.8342982E+01 | 5.9305277E+01  | 6.0762739E+02 |
| 435  | 4.3427604E+01 | 5.8912756E+01 | 5.9355474E+02 | 485  | 4.8417959E+01 | 6.02959230E+01 | 6.3099621E+02 |
| 436  | 4.3503051E+01 | 5.9015302E+01 | 6.6360125E+02 | 486  | 4.8530425E+01 | 6.1310441E+01  | 6.7744511E+02 |
| 437  | 4.3616223E+01 | 5.9157615E+01 | 7.0899355E+02 | 487  | 4.8605402E+01 | 6.2357290E+01  | 6.7619805E+02 |
| 438  | 4.3729394E+01 | 5.9399272E+01 | 7.0294986E+02 | 488  | 4.8717868E+01 | 6.3331674E+01  | 6.1652353E+02 |
| 439  | 4.3800056E+01 | 5.9658668E+01 | 6.6712989E+02 | 489  | 4.8830334E+01 | 6.4298328E+01  | 6.5724822E+02 |
| 440  | 4.3931810E+01 | 6.0012694E+01 | 6.3198063E+02 | 490  | 4.8905312E+01 | 6.4833544E+01  | 7.1925349E+02 |
| 441  | 4.4030626E+01 | 6.0467670E+01 | 6.5301280E+02 | 491  | 4.9017778E+01 | 6.5043785E+01  | 8.1386313E+02 |
| 442  | 4.4132735E+01 | 6.0866922E+01 | 6.6505688E+02 | 492  | 4.9120358E+01 | 6.5037235E+01  | 7.4278124E+02 |
| 443  | 4.4205200E+01 | 6.1189401E+01 | 7.1703966E+02 | 493  | 4.9205926E+01 | 6.4937544E+01  | 6.3096077E+02 |
| 444  | 4.4313897E+01 | 6.1484021E+01 | 6.8693996E+02 | 494  | 4.9327377E+01 | 6.4799502E+01  | 6.0453766E+02 |
| 445  | 4.4422594E+01 | 6.1793899E+01 | 6.5050398E+02 | 495  | 4.9421502E+01 | 6.4668655E+01  | 6.4490634E+02 |
| 446  | 4.4531291E+01 | 6.2053367E+01 | 6.2376720E+02 | 496  | 4.9525039E+01 | 6.4593682E+01  | 6.3994029E+02 |
| 447  | 4.4611002E+01 | 6.2239134E+01 | 6.0441443E+02 | 497  | 4.9602191E+01 | 6.4584870E+01  | 6.2246153E+02 |
| 448  | 4.4730569E+01 | 6.2380491E+01 | 5.5417754E+02 | 498  | 4.9723429E+01 | 6.4700002E+01  | 6.3328740E+02 |
| 449  | 4.4810280E+01 | 6.2466345E+01 | 5.5352372E+02 | 499  | 4.9804255E+01 | 6.4962166E+01  | 5.9495270E+02 |
| 450  | 4.4929847E+01 | 6.2457005E+01 | 5.8926288E+02 | 500  | 4.9925494E+01 | 6.5348592E+01  | 5.8465420E+02 |

|      |               | C             | kW            |      |               | C             | kW            |
|------|---------------|---------------|---------------|------|---------------|---------------|---------------|
| s.no | Time          | THCP          | HRR           | s.no | Time          | THCP          | HRR           |
| 501  | 5.0006320E+01 | 6.5797860E+01 | 6.1764038E+02 | 551  | 5.5025636E+01 | 6.6276509E+01 | 7.1284020E+02 |
| 502  | 5.0127558E+01 | 6.6236862E+01 | 6.0974608E+02 | 552  | 5.5103994E+01 | 6.6279930E+01 | 7.1222418E+02 |
| 503  | 5.0208384E+01 | 6.6582088E+01 | 6.1402116E+02 | 553  | 5.5221533E+01 | 6.6347948E+01 | 6.4531732E+02 |
| 504  | 5.0321317E+01 | 6.6772561E+01 | 6.0783970E+02 | 554  | 5.5339071E+01 | 6.6517447E+01 | 6.1709971E+02 |
| 505  | 5.0430097E+01 | 6.6853082E+01 | 5.4874602E+02 | 555  | 5.5417429E+01 | 6.6722579E+01 | 5.8028295E+02 |
| 506  | 5.0506243E+01 | 6.6849950E+01 | 5.7163014E+02 | 556  | 5.5534967E+01 | 6.6967096E+01 | 6.0743496E+02 |
| 507  | 5.0625901E+01 | 6.6809714E+01 | 5.9839140E+02 | 557  | 5.5613326E+01 | 6.7220169E+01 | 6.5845566E+02 |
| 508  | 5.0709661E+01 | 6.6773631E+01 | 6.3724550E+02 | 558  | 5.5730864E+01 | 6.7479455E+01 | 7.3328966E+02 |
| 509  | 5.0841285E+01 | 6.6838342E+01 | 6.6596435E+02 | 559  | 5.5809223E+01 | 6.7747476E+01 | 6.2420624E+02 |
| 510  | 5.0929034E+01 | 6.7110855E+01 | 6.7522965E+02 | 560  | 5.5938515E+01 | 6.8046241E+01 | 5.7011710E+02 |
| 511  | 5.1016784E+01 | 6.7491992E+01 | 6.6506149E+02 | 561  | 5.6024710E+01 | 6.8353920E+01 | 5.4545565E+02 |
| 512  | 5.1132096E+01 | 6.7997529E+01 | 6.6912676E+02 | 562  | 5.6110904E+01 | 6.8604933E+01 | 5.1295132E+02 |
| 513  | 5.1208970E+01 | 6.8483995E+01 | 6.7034323E+02 | 563  | 5.6240196E+01 | 6.8958345E+01 | 5.4962957E+02 |
| 514  | 5.1324283E+01 | 6.8896474E+01 | 6.8476655E+02 | 564  | 5.6326391E+01 | 6.9383291E+01 | 5.9831242E+02 |
| 515  | 5.1401157E+01 | 6.9184947E+01 | 6.8945475E+02 | 565  | 5.6412585E+01 | 6.9816304E+01 | 6.5754707E+02 |
| 516  | 5.1516469E+01 | 6.9331894E+01 | 7.1146446E+02 | 566  | 5.6541877E+01 | 7.0481227E+01 | 7.1697647E+02 |
| 517  | 5.1631782E+01 | 6.9419350E+01 | 6.7939618E+02 | 567  | 5.6628072E+01 | 7.1241583E+01 | 7.3483560E+02 |
| 518  | 5.1700427E+01 | 6.9485812E+01 | 6.4012915E+02 | 568  | 5.6714267E+01 | 7.1896255E+01 | 7.3914127E+02 |
| 519  | 5.1803395E+01 | 6.9614898E+01 | 6.2096721E+02 | 569  | 5.6833859E+01 | 7.2640961E+01 | 6.9183890E+02 |
| 520  | 5.1906364E+01 | 6.9868103E+01 | 5.9805344E+02 | 570  | 5.6910354E+01 | 7.3228341E+01 | 6.4365345E+02 |
| 521  | 5.2009332E+01 | 7.0295111E+01 | 5.7674706E+02 | 571  | 5.7025096E+01 | 7.3606503E+01 | 6.7139969E+02 |
| 522  | 5.2112300E+01 | 7.0819866E+01 | 5.7604955E+02 | 572  | 5.7101591E+01 | 7.3802600E+01 | 6.8622050E+02 |
| 523  | 5.2215268E+01 | 7.1341647E+01 | 6.1785034E+02 | 573  | 5.7207624E+01 | 7.3758837E+01 | 6.2510425E+02 |
| 524  | 5.2328534E+01 | 7.1829690E+01 | 6.2798318E+02 | 574  | 5.7316081E+01 | 7.3438244E+01 | 5.4809554E+02 |
| 525  | 5.2404044E+01 | 7.2178688E+01 | 6.5195180E+02 | 575  | 5.7435384E+01 | 7.2830693E+01 | 4.8608401E+02 |
| 526  | 5.2517309E+01 | 7.2420255E+01 | 6.3286156E+02 | 576  | 5.7517404E+01 | 7.2131176E+01 | 4.9086439E+02 |
| 527  | 5.2630574E+01 | 7.2551413E+01 | 6.1205944E+02 | 577  | 5.7644536E+01 | 7.1263375E+01 | 5.4574977E+02 |
| 528  | 5.2706084E+01 | 7.2529659E+01 | 5.8251653E+02 | 578  | 5.7739269E+01 | 7.0202202E+01 | 6.1067108E+02 |
| 529  | 5.2819349E+01 | 7.2407169E+01 | 5.9412289E+02 | 579  | 5.7833256E+01 | 6.9229569E+01 | 6.5479910E+02 |
| 530  | 5.2932614E+01 | 7.2170003E+01 | 6.0165083E+02 | 580  | 5.7921985E+01 | 6.8263822E+01 | 7.0641201E+02 |
| 531  | 5.3008124E+01 | 7.1919192E+01 | 6.0538845E+02 | 581  | 5.8020878E+01 | 6.7322568E+01 | 8.0333345E+02 |
| 532  | 5.3121389E+01 | 7.1659077E+01 | 6.2376880E+02 | 582  | 5.8124071E+01 | 6.6301018E+01 | 7.1872199E+02 |
| 533  | 5.3234654E+01 | 7.1390157E+01 | 6.4975569E+02 | 583  | 5.8200566E+01 | 6.5492986E+01 | 6.3930207E+02 |
| 534  | 5.3310164E+01 | 7.1203728E+01 | 6.6588945E+02 | 584  | 5.8309218E+01 | 6.4894796E+01 | 5.8212074E+02 |
| 535  | 5.3423429E+01 | 7.1021134E+01 | 6.6333590E+02 | 585  | 5.8417871E+01 | 6.4494858E+01 | 5.7646171E+02 |
| 536  | 5.3536695E+01 | 7.0774949E+01 | 6.4558866E+02 | 586  | 5.8526523E+01 | 6.4449256E+01 | 5.7030607E+02 |
| 537  | 5.3612205E+01 | 7.0542608E+01 | 6.4193026E+02 | 587  | 5.8606201E+01 | 6.4679004E+01 | 6.3334571E+02 |
| 538  | 5.3725470E+01 | 7.0287847E+01 | 6.5334142E+02 | 588  | 5.8722943E+01 | 6.5082294E+01 | 6.6097382E+02 |
| 539  | 5.3800980E+01 | 7.0008926E+01 | 6.5970396E+02 | 589  | 5.8834134E+01 | 6.5586759E+01 | 7.5885067E+02 |
| 540  | 5.3914245E+01 | 6.9679155E+01 | 6.4161304E+02 | 590  | 5.8932096E+01 | 6.5991058E+01 | 7.2567017E+02 |
| 541  | 5.4027510E+01 | 6.9224363E+01 | 6.6098164E+02 | 591  | 5.9001618E+01 | 6.6234230E+01 | 6.8532070E+02 |
| 542  | 5.4103020E+01 | 6.8814543E+01 | 7.2082338E+02 | 592  | 5.9105900E+01 | 6.6364611E+01 | 6.8174818E+02 |
| 543  | 5.4216285E+01 | 6.8392155E+01 | 7.5228758E+02 | 593  | 5.9210183E+01 | 6.6363298E+01 | 6.5127197E+02 |
| 544  | 5.4329550E+01 | 6.7897638E+01 | 6.7218896E+02 | 594  | 5.9314466E+01 | 6.6220385E+01 | 6.4661095E+02 |
| 545  | 5.4429450E+01 | 6.7484389E+01 | 5.8991925E+02 | 595  | 5.9418748E+01 | 6.5987291E+01 | 6.4419884E+02 |
| 546  | 5.4529349E+01 | 6.7137930E+01 | 5.8727709E+02 | 596  | 5.9529983E+01 | 6.5686886E+01 | 6.7633887E+02 |
| 547  | 5.4635909E+01 | 6.6840676E+01 | 5.7453413E+02 | 597  | 5.9606457E+01 | 6.5417943E+01 | 6.4503522E+02 |
| 548  | 5.4720524E+01 | 6.6620028E+01 | 5.6325907E+02 | 598  | 5.9721168E+01 | 6.5194828E+01 | 6.2114642E+02 |
| 549  | 5.4809168E+01 | 6.6468437E+01 | 6.3295207E+02 | 599  | 5.9805289E+01 | 6.5045188E+01 | 6.8316065E+02 |
| 550  | 5.4942134E+01 | 6.6337890E+01 | 6.7674085E+02 | 600  | 5.9917240E+01 | 6.4997764E+01 | 6.9957297E+02 |

|      |               | C             | kW            |      |               | C             | kW            |
|------|---------------|---------------|---------------|------|---------------|---------------|---------------|
| s.no | Time          | THCP          | HRR           | s.no | Time          | THCP          | HRR           |
| 601  | 6.0032557E+01 | 6.5030763E+01 | 6.7290024E+09 | 651  | 6.5004722E+01 | 6.3229451E+01 | 5.9022790E+09 |
| 602  | 6.0109436E+01 | 6.5165929E+01 | 6.5319571E+09 | 652  | 6.5123398E+01 | 6.2274832E+01 | 6.4067842E+09 |
| 603  | 6.0224753E+01 | 6.5610345E+01 | 6.0154406E+09 | 653  | 6.5212405E+01 | 6.1398177E+01 | 6.6619101E+09 |
| 604  | 6.0301632E+01 | 6.6410986E+01 | 5.3988592E+09 | 654  | 6.5310313E+01 | 6.0680955E+01 | 6.4381138E+09 |
| 605  | 6.0416950E+01 | 6.7502220E+01 | 5.0698720E+09 | 655  | 6.5411484E+01 | 6.0020673E+01 | 6.2649095E+09 |
| 606  | 6.0532267E+01 | 6.8932711E+01 | 5.1686558E+09 | 656  | 6.5519182E+01 | 5.9444453E+01 | 6.0067846E+09 |
| 607  | 6.0616834E+01 | 7.0141825E+01 | 5.5816997E+09 | 657  | 6.5626881E+01 | 5.8992573E+01 | 5.9201685E+09 |
| 608  | 6.0709857E+01 | 7.1075245E+01 | 5.9154212E+09 | 658  | 6.5734579E+01 | 5.8666343E+01 | 5.6839553E+09 |
| 609  | 6.0802879E+01 | 7.1816720E+01 | 6.0282591E+09 | 659  | 6.5806378E+01 | 5.8457964E+01 | 5.9953506E+09 |
| 610  | 6.0942414E+01 | 7.2379888E+01 | 6.4665635E+09 | 660  | 6.5914076E+01 | 5.8276253E+01 | 6.3289341E+09 |
| 611  | 6.1018578E+01 | 7.2625112E+01 | 6.6847045E+09 | 661  | 6.6021775E+01 | 5.8081265E+01 | 6.5066442E+09 |
| 612  | 6.1132823E+01 | 7.2690146E+01 | 6.3678155E+09 | 662  | 6.6129473E+01 | 5.7914529E+01 | 6.3883804E+09 |
| 613  | 6.1208987E+01 | 7.2687643E+01 | 6.0976774E+09 | 663  | 6.6201272E+01 | 5.7790760E+01 | 6.1775539E+09 |
| 614  | 6.1327041E+01 | 7.2672545E+01 | 5.5994206E+09 | 664  | 6.6308970E+01 | 5.7680359E+01 | 6.3072678E+09 |
| 615  | 6.1410821E+01 | 7.2705362E+01 | 5.8222165E+09 | 665  | 6.6416669E+01 | 5.7571710E+01 | 6.3354337E+09 |
| 616  | 6.1517243E+01 | 7.2827507E+01 | 6.3207281E+09 | 666  | 6.6535137E+01 | 5.7451094E+01 | 6.3411962E+09 |
| 617  | 6.1623664E+01 | 7.3094488E+01 | 6.6224899E+09 | 667  | 6.6614116E+01 | 5.7295037E+01 | 6.4219619E+09 |
| 618  | 6.1730085E+01 | 7.3478803E+01 | 6.8121618E+09 | 668  | 6.6732584E+01 | 5.7041484E+01 | 6.5399569E+09 |
| 619  | 6.1801033E+01 | 7.3838967E+01 | 6.1895776E+09 | 669  | 6.6819461E+01 | 5.6693096E+01 | 7.4309784E+09 |
| 620  | 6.1907454E+01 | 7.4194340E+01 | 6.1431152E+09 | 670  | 6.6927387E+01 | 5.6353759E+01 | 7.1654497E+09 |
| 621  | 6.2013875E+01 | 7.4575526E+01 | 6.7232536E+09 | 671  | 6.7002936E+01 | 5.6017255E+01 | 6.2581245E+09 |
| 622  | 6.2120297E+01 | 7.4831433E+01 | 6.3303640E+09 | 672  | 6.7121655E+01 | 5.5660958E+01 | 6.2100965E+09 |
| 623  | 6.2237360E+01 | 7.4905280E+01 | 6.4028151E+09 | 673  | 6.7228254E+01 | 5.5258366E+01 | 5.9883054E+09 |
| 624  | 6.2315402E+01 | 7.4790853E+01 | 6.7476281E+09 | 674  | 6.7334853E+01 | 5.4860400E+01 | 6.4029346E+09 |
| 625  | 6.2432466E+01 | 7.4506612E+01 | 6.6685492E+09 | 675  | 6.7405919E+01 | 5.4509178E+01 | 6.8381259E+09 |
| 626  | 6.2510508E+01 | 7.4103064E+01 | 6.5627713E+09 | 676  | 6.7512519E+01 | 5.4116536E+01 | 6.2983307E+09 |
| 627  | 6.2627572E+01 | 7.3588572E+01 | 6.5176796E+09 | 677  | 6.7619118E+01 | 5.3574614E+01 | 5.5942874E+09 |
| 628  | 6.2713418E+01 | 7.2986704E+01 | 6.4454553E+09 | 678  | 6.7722031E+01 | 5.2971987E+01 | 5.7790980E+09 |
| 629  | 6.2831104E+01 | 7.2402944E+01 | 6.4879544E+09 | 679  | 6.7817570E+01 | 5.2358558E+01 | 6.1938482E+09 |
| 630  | 6.2905866E+01 | 7.1905346E+01 | 6.7312433E+09 | 680  | 6.7922663E+01 | 5.1694248E+01 | 6.6075244E+09 |
| 631  | 6.3018010E+01 | 7.1644211E+01 | 6.7902795E+09 | 681  | 6.8027755E+01 | 5.1004747E+01 | 6.5988524E+09 |
| 632  | 6.3130153E+01 | 7.1828533E+01 | 6.8470703E+09 | 682  | 6.8132848E+01 | 5.0329579E+01 | 6.9543534E+09 |
| 633  | 6.3204916E+01 | 7.2370734E+01 | 6.6432048E+09 | 683  | 6.8202910E+01 | 4.9790219E+01 | 6.8973769E+09 |
| 634  | 6.3305723E+01 | 7.3027661E+01 | 6.3297278E+09 | 684  | 6.8308003E+01 | 4.9289267E+01 | 6.8109586E+09 |
| 635  | 6.3406530E+01 | 7.3783431E+01 | 6.3815150E+09 | 685  | 6.8413096E+01 | 4.8755034E+01 | 6.6554336E+09 |
| 636  | 6.3507337E+01 | 7.4435595E+01 | 6.6103923E+09 | 686  | 6.8510584E+01 | 4.8335786E+01 | 6.8471348E+09 |
| 637  | 6.3611504E+01 | 7.4878377E+01 | 6.7232980E+09 | 687  | 6.8604268E+01 | 4.8036260E+01 | 6.9697141E+09 |
| 638  | 6.3722392E+01 | 7.5064997E+01 | 6.4010913E+09 | 688  | 6.8729181E+01 | 4.7825961E+01 | 6.6629212E+09 |
| 639  | 6.3833280E+01 | 7.4965978E+01 | 6.2246445E+09 | 689  | 6.8822866E+01 | 4.7749760E+01 | 6.7146812E+09 |
| 640  | 6.3907205E+01 | 7.4647787E+01 | 5.9573037E+09 | 690  | 6.8916550E+01 | 4.7786191E+01 | 6.0937606E+09 |
| 641  | 6.4018093E+01 | 7.4095842E+01 | 6.0485482E+09 | 691  | 6.9016481E+01 | 4.7899749E+01 | 6.2633000E+09 |
| 642  | 6.4128981E+01 | 7.3178070E+01 | 5.8843676E+09 | 692  | 6.9119534E+01 | 4.8092678E+01 | 6.6733019E+09 |
| 643  | 6.4202906E+01 | 7.2251877E+01 | 5.9724784E+09 | 693  | 6.9232892E+01 | 4.8408431E+01 | 6.4243542E+09 |
| 644  | 6.4324883E+01 | 7.1112845E+01 | 5.8704768E+09 | 694  | 6.9308465E+01 | 4.8775695E+01 | 6.4245578E+09 |
| 645  | 6.4406201E+01 | 6.9880931E+01 | 6.2253123E+09 | 695  | 6.9421823E+01 | 4.9235219E+01 | 5.9270487E+09 |
| 646  | 6.4540375E+01 | 6.8531366E+01 | 7.1761084E+09 | 696  | 6.9535181E+01 | 4.9885081E+01 | 6.0748891E+09 |
| 647  | 6.4606509E+01 | 6.7392583E+01 | 7.3943796E+09 | 697  | 6.9610754E+01 | 5.0492890E+01 | 6.2325503E+09 |
| 648  | 6.4720827E+01 | 6.6312827E+01 | 6.5605811E+09 | 698  | 6.9724112E+01 | 5.1136859E+01 | 6.2994664E+09 |
| 649  | 6.4826708E+01 | 6.5099504E+01 | 6.6671439E+09 | 699  | 6.9837470E+01 | 5.1907262E+01 | 6.8589705E+09 |
| 650  | 6.4915715E+01 | 6.4107324E+01 | 6.3986051E+09 | 700  | 6.9913043E+01 | 5.2514400E+01 | 6.6687461E+09 |

|      |               | C             | kW            |      |               | C             | kW            |
|------|---------------|---------------|---------------|------|---------------|---------------|---------------|
| s.no | Time          | THCP          | HRR           | s.no | Time          | THCP          | HRR           |
| 701  | 7.0026401E+01 | 5.3043585E+01 | 6.5695845E+09 | 751  | 7.5011025E+01 | 5.9659115E+01 | 6.0920146E+09 |
| 702  | 7.0101973E+01 | 5.3445866E+01 | 6.3957400E+09 | 752  | 7.5138173E+01 | 6.0814600E+01 | 6.2145625E+09 |
| 703  | 7.0205417E+01 | 5.3672682E+01 | 6.0406888E+09 | 753  | 7.5222938E+01 | 6.1998176E+01 | 6.4505442E+09 |
| 704  | 7.0303903E+01 | 5.3761779E+01 | 5.8001879E+09 | 754  | 7.5300623E+01 | 6.2864725E+01 | 6.4985201E+09 |
| 705  | 7.0419460E+01 | 5.3615091E+01 | 5.6534241E+09 | 755  | 7.5413591E+01 | 6.3825217E+01 | 5.7000867E+09 |
| 706  | 7.0538628E+01 | 5.3230576E+01 | 5.8331130E+09 | 756  | 7.5524843E+01 | 6.4854058E+01 | 6.0277267E+09 |
| 707  | 7.0618073E+01 | 5.2786568E+01 | 5.6876728E+09 | 757  | 7.5625603E+01 | 6.5698785E+01 | 6.3364491E+09 |
| 708  | 7.0701491E+01 | 5.2357689E+01 | 6.3315341E+09 | 758  | 7.5726363E+01 | 6.5698785E+01 | 5.8970174E+09 |
| 709  | 7.0828134E+01 | 5.1791604E+01 | 7.1543958E+09 | 759  | 7.5827124E+01 | 6.6908270E+01 | 6.3417491E+09 |
| 710  | 7.0906640E+01 | 5.1312774E+01 | 7.0333647E+09 | 760  | 7.5901014E+01 | 6.7215467E+01 | 6.4576762E+09 |
| 711  | 7.1024400E+01 | 5.1053821E+01 | 6.9814662E+09 | 761  | 7.6003415E+01 | 6.7341435E+01 | 6.8648104E+09 |
| 712  | 7.1131226E+01 | 5.1031559E+01 | 6.4153087E+09 | 762  | 7.6101599E+01 | 6.7337448E+01 | 6.5585558E+09 |
| 713  | 7.1232584E+01 | 5.1211187E+01 | 6.5689552E+09 | 763  | 7.6203055E+01 | 6.7234172E+01 | 6.2670868E+09 |
| 714  | 7.1310629E+01 | 5.1486704E+01 | 6.2814336E+09 | 764  | 7.6311056E+01 | 6.7102993E+01 | 6.1799638E+09 |
| 715  | 7.1433273E+01 | 5.1904095E+01 | 6.2948846E+09 | 765  | 7.6411041E+01 | 6.7012052E+01 | 6.3991857E+09 |
| 716  | 7.1515035E+01 | 5.2399374E+01 | 6.3461664E+09 | 766  | 7.6507018E+01 | 6.6934997E+01 | 6.4669244E+09 |
| 717  | 7.1637678E+01 | 5.2901758E+01 | 6.0826072E+09 | 767  | 7.6602995E+01 | 6.6808856E+01 | 6.7809410E+09 |
| 718  | 7.1719440E+01 | 5.3359880E+01 | 6.4242928E+09 | 768  | 7.6730965E+01 | 6.6491993E+01 | 6.8262186E+09 |
| 719  | 7.1832022E+01 | 5.3720216E+01 | 6.8139928E+09 | 769  | 7.6826942E+01 | 6.6012091E+01 | 6.8639475E+09 |
| 720  | 7.1903722E+01 | 5.4009298E+01 | 6.9465449E+09 | 770  | 7.6922919E+01 | 6.5554713E+01 | 6.9041181E+09 |
| 721  | 7.2011273E+01 | 5.4254931E+01 | 7.3413495E+09 | 771  | 7.7018896E+01 | 6.5109214E+01 | 6.6446313E+09 |
| 722  | 7.2118824E+01 | 5.4534868E+01 | 7.6957613E+09 | 772  | 7.7124471E+01 | 6.4729191E+01 | 6.5421869E+09 |
| 723  | 7.2226375E+01 | 5.4813696E+01 | 7.1398171E+09 | 773  | 7.7230045E+01 | 6.4510194E+01 | 6.6253656E+09 |
| 724  | 7.2325659E+01 | 5.5076364E+01 | 6.3994955E+09 | 774  | 7.7300428E+01 | 6.4466614E+01 | 6.7086069E+09 |
| 725  | 7.2420810E+01 | 5.5313806E+01 | 5.8859588E+09 | 775  | 7.7406003E+01 | 6.4561779E+01 | 6.4326109E+09 |
| 726  | 7.2515961E+01 | 5.5522648E+01 | 5.6309076E+09 | 776  | 7.7511578E+01 | 6.4829183E+01 | 6.4461622E+09 |
| 727  | 7.2620627E+01 | 5.5710852E+01 | 5.4510699E+09 | 777  | 7.7617153E+01 | 6.5181848E+01 | 6.3891951E+09 |
| 728  | 7.2725293E+01 | 5.5886605E+01 | 5.0005643E+09 | 778  | 7.7722727E+01 | 6.5478291E+01 | 6.2969205E+09 |
| 729  | 7.2829959E+01 | 5.6071684E+01 | 4.9087023E+09 | 779  | 7.7828302E+01 | 6.5620320E+01 | 6.3533473E+09 |
| 730  | 7.2903225E+01 | 5.6260149E+01 | 5.0868277E+09 | 780  | 7.7902204E+01 | 6.5591503E+01 | 6.4677995E+09 |
| 731  | 7.3018358E+01 | 5.6509517E+01 | 5.6927135E+09 | 781  | 7.8018337E+01 | 6.5409083E+01 | 6.5566993E+09 |
| 732  | 7.3133491E+01 | 5.6859392E+01 | 6.3678868E+09 | 782  | 7.8130534E+01 | 6.5034208E+01 | 6.5802594E+09 |
| 733  | 7.3210246E+01 | 5.7172051E+01 | 6.4663951E+09 | 783  | 7.8200085E+01 | 6.4648765E+01 | 6.6277527E+09 |
| 734  | 7.3325379E+01 | 5.7484744E+01 | 6.6819814E+09 | 784  | 7.8311366E+01 | 6.4222381E+01 | 6.3416898E+09 |
| 735  | 7.3402134E+01 | 5.7776246E+01 | 6.1617508E+09 | 785  | 7.8426126E+01 | 6.3792846E+01 | 5.6662632E+09 |
| 736  | 7.3520249E+01 | 5.8019970E+01 | 6.7143135E+09 | 786  | 7.8532123E+01 | 6.3430207E+01 | 5.7714547E+09 |
| 737  | 7.3632817E+01 | 5.8213170E+01 | 7.4465358E+09 | 787  | 7.8633740E+01 | 6.3219581E+01 | 6.3284089E+09 |
| 738  | 7.3707862E+01 | 5.8291020E+01 | 6.8961904E+09 | 788  | 7.8701484E+01 | 6.3084029E+01 | 6.4750103E+09 |
| 739  | 7.3803390E+01 | 5.8293922E+01 | 6.5337950E+09 | 789  | 7.8803100E+01 | 6.2974058E+01 | 6.6362551E+09 |
| 740  | 7.3933945E+01 | 5.8191548E+01 | 6.6962991E+09 | 790  | 7.8914878E+01 | 6.2884476E+01 | 6.9526000E+09 |
| 741  | 7.4003999E+01 | 5.7993498E+01 | 7.0237543E+09 | 791  | 7.9021505E+01 | 6.2869041E+01 | 6.7222105E+09 |
| 742  | 7.4109080E+01 | 5.7730032E+01 | 7.0446047E+09 | 792  | 7.9117831E+01 | 6.2891493E+01 | 6.3841199E+09 |
| 743  | 7.4214161E+01 | 5.7345211E+01 | 6.9201996E+09 | 793  | 7.9214156E+01 | 6.2913590E+01 | 6.0295752E+09 |
| 744  | 7.4319242E+01 | 5.6969762E+01 | 7.0085454E+09 | 794  | 7.9320114E+01 | 6.2919135E+01 | 5.8754754E+09 |
| 745  | 7.4424323E+01 | 5.6729892E+01 | 6.8398415E+09 | 795  | 7.9426073E+01 | 6.2922234E+01 | 5.8976012E+09 |
| 746  | 7.4529404E+01 | 5.6709041E+01 | 6.5338004E+09 | 796  | 7.9532031E+01 | 6.2963733E+01 | 5.9797475E+09 |
| 747  | 7.4606463E+01 | 5.6861690E+01 | 6.2640484E+09 | 797  | 7.9602669E+01 | 6.3063137E+01 | 5.9820812E+09 |
| 748  | 7.4722052E+01 | 5.7209562E+01 | 5.8201176E+09 | 798  | 7.9708627E+01 | 6.3254255E+01 | 6.0854840E+09 |
| 749  | 7.4841494E+01 | 5.7930970E+01 | 5.7200027E+09 | 799  | 7.9814585E+01 | 6.3629724E+01 | 5.9760729E+09 |
| 750  | 7.4926259E+01 | 5.8807266E+01 | 5.9815607E+09 | 800  | 7.9920543E+01 | 6.4178858E+01 | 5.9850232E+09 |

|      |               | C             | kW            |      |               | C             | kW            |
|------|---------------|---------------|---------------|------|---------------|---------------|---------------|
| s.no | Time          | THCP          | HRR           | s.no | Time          | THCP          | HRR           |
| 801  | 8.0037097E+01 | 6.4903264E+01 | 6.4511083E+02 | 851  | 8.5026932E+01 | 5.7142258E+01 | 7.3904345E+02 |
| 802  | 8.0114800E+01 | 6.5578389E+01 | 6.8689933E+02 | 852  | 8.5100487E+01 | 5.6353756E+01 | 7.4543260E+02 |
| 803  | 8.0231354E+01 | 6.6252573E+01 | 6.7312664E+02 | 853  | 8.5210819E+01 | 5.5536596E+01 | 6.7819126E+02 |
| 804  | 8.0316826E+01 | 6.6925599E+01 | 6.2277195E+02 | 854  | 8.5321152E+01 | 5.4563549E+01 | 6.2776993E+02 |
| 805  | 8.0402299E+01 | 6.7430603E+01 | 6.0451782E+02 | 855  | 8.5431484E+01 | 5.3625410E+01 | 6.0514921E+02 |
| 806  | 8.0520985E+01 | 6.7954347E+01 | 6.0652837E+02 | 856  | 8.5505039E+01 | 5.2876691E+01 | 5.6738844E+02 |
| 807  | 8.0634909E+01 | 6.8467526E+01 | 6.1925138E+02 | 857  | 8.5615371E+01 | 5.2161612E+01 | 5.4133506E+02 |
| 808  | 8.0710859E+01 | 6.8839801E+01 | 6.6427515E+02 | 858  | 8.5725704E+01 | 5.1347471E+01 | 5.5832009E+02 |
| 809  | 8.0824783E+01 | 6.9205290E+01 | 6.9540547E+02 | 859  | 8.5836036E+01 | 5.0591506E+01 | 6.4571123E+02 |
| 810  | 8.0900732E+01 | 6.9623185E+01 | 6.6666713E+02 | 860  | 8.5909591E+01 | 5.0007805E+01 | 6.7320167E+02 |
| 811  | 8.1014656E+01 | 7.0087204E+01 | 6.5362581E+02 | 861  | 8.6030956E+01 | 4.9429622E+01 | 6.5704226E+02 |
| 812  | 8.1128581E+01 | 7.0576182E+01 | 6.1207557E+02 | 862  | 8.6100277E+01 | 4.8935955E+01 | 6.6916159E+02 |
| 813  | 8.1204530E+01 | 7.0842257E+01 | 5.7478812E+02 | 863  | 8.6211189E+01 | 4.8501502E+01 | 6.3846765E+02 |
| 814  | 8.1318454E+01 | 7.0922401E+01 | 5.5837432E+02 | 864  | 8.6325567E+01 | 4.8033819E+01 | 6.7104245E+02 |
| 815  | 8.1436176E+01 | 7.0787231E+01 | 5.5355020E+02 | 865  | 8.6431567E+01 | 4.7660653E+01 | 7.1407631E+02 |
| 816  | 8.1519720E+01 | 7.0511325E+01 | 6.0188302E+02 | 866  | 8.6506229E+01 | 4.7406436E+01 | 6.9635603E+02 |
| 817  | 8.1603265E+01 | 7.0201681E+01 | 6.1349822E+02 | 867  | 8.6608043E+01 | 4.7224689E+01 | 6.6672873E+02 |
| 818  | 8.1728581E+01 | 6.9735796E+01 | 6.6256348E+02 | 868  | 8.6704767E+01 | 4.7080858E+01 | 6.1930473E+02 |
| 819  | 8.1812126E+01 | 6.9199541E+01 | 6.6993052E+02 | 869  | 8.6801491E+01 | 4.7011681E+01 | 6.0419456E+02 |
| 820  | 8.1937442E+01 | 6.8571305E+01 | 6.7225529E+02 | 870  | 8.6930456E+01 | 4.7063615E+01 | 5.5242988E+02 |
| 821  | 8.2020986E+01 | 6.7850516E+01 | 6.9388335E+02 | 871  | 8.7001387E+01 | 4.7249793E+01 | 5.6413373E+02 |
| 822  | 8.2104531E+01 | 6.7203443E+01 | 6.6271799E+02 | 872  | 8.7107783E+01 | 4.7544413E+01 | 6.1706761E+02 |
| 823  | 8.2229847E+01 | 6.6312364E+01 | 6.4349204E+02 | 873  | 8.7224819E+01 | 4.8066452E+01 | 6.8705057E+02 |
| 824  | 8.2313392E+01 | 6.5348465E+01 | 6.1000198E+02 | 874  | 8.7302843E+01 | 4.8589137E+01 | 6.7581270E+02 |
| 825  | 8.2422827E+01 | 6.4436010E+01 | 6.2911734E+02 | 875  | 8.7419879E+01 | 4.9114299E+01 | 6.6948326E+02 |
| 826  | 8.2512569E+01 | 6.3481453E+01 | 5.9198850E+02 | 876  | 8.7530594E+01 | 4.9660608E+01 | 6.2917424E+02 |
| 827  | 8.2602312E+01 | 6.2588934E+01 | 5.7563635E+02 | 877  | 8.7628671E+01 | 5.0053734E+01 | 5.8399983E+02 |
| 828  | 8.2721968E+01 | 6.1561424E+01 | 6.6284524E+02 | 878  | 8.7726747E+01 | 5.0331265E+01 | 5.4318450E+02 |
| 829  | 8.2823975E+01 | 6.0494376E+01 | 7.1463039E+02 | 879  | 8.7824823E+01 | 5.0538979E+01 | 5.7251869E+02 |
| 830  | 8.2928391E+01 | 5.9578204E+01 | 6.8705756E+02 | 880  | 8.7922899E+01 | 5.0717596E+01 | 6.3528363E+02 |
| 831  | 8.3024461E+01 | 5.8772328E+01 | 7.1917923E+02 | 881  | 8.8030783E+01 | 5.0905286E+01 | 6.7144128E+02 |
| 832  | 8.3126935E+01 | 5.8022445E+01 | 7.3368737E+02 | 882  | 8.8109897E+01 | 5.1076459E+01 | 6.6000905E+02 |
| 833  | 8.3232612E+01 | 5.7322816E+01 | 6.5962042E+02 | 883  | 8.8228569E+01 | 5.1264516E+01 | 6.9797591E+02 |
| 834  | 8.3303063E+01 | 5.6819968E+01 | 6.2451201E+02 | 884  | 8.8307684E+01 | 5.1467410E+01 | 7.3227813E+02 |
| 835  | 8.3408740E+01 | 5.6429080E+01 | 6.5291233E+02 | 885  | 8.8421877E+01 | 5.1652291E+01 | 7.5383544E+02 |
| 836  | 8.3514416E+01 | 5.6429080E+01 | 6.7390820E+02 | 886  | 8.8527111E+01 | 5.1801191E+01 | 7.1540701E+02 |
| 837  | 8.3620093E+01 | 5.6005970E+01 | 6.7386982E+02 | 887  | 8.8632345E+01 | 5.1898825E+01 | 6.5509748E+02 |
| 838  | 8.3725770E+01 | 5.6066404E+01 | 6.6800596E+02 | 888  | 8.8702501E+01 | 5.1972773E+01 | 6.2860027E+02 |
| 839  | 8.3831447E+01 | 5.6263405E+01 | 6.3610361E+02 | 889  | 8.8810784E+01 | 5.2056540E+01 | 6.2277511E+02 |
| 840  | 8.3908943E+01 | 5.6501524E+01 | 6.2018308E+02 | 890  | 8.8914643E+01 | 5.2161372E+01 | 6.3791186E+02 |
| 841  | 8.4025187E+01 | 5.6790378E+01 | 6.3105712E+02 | 891  | 8.9021964E+01 | 5.2239863E+01 | 6.4058189E+02 |
| 842  | 8.4106558E+01 | 5.7137070E+01 | 6.4266874E+02 | 892  | 8.9136209E+01 | 5.2266187E+01 | 6.1807217E+02 |
| 843  | 8.4229892E+01 | 5.7574291E+01 | 6.2293782E+02 | 893  | 8.9212372E+01 | 5.2238772E+01 | 6.2946771E+02 |
| 844  | 8.4301413E+01 | 5.8047963E+01 | 6.0319241E+02 | 894  | 8.9326616E+01 | 5.2143776E+01 | 5.9308423E+02 |
| 845  | 8.4401715E+01 | 5.8496548E+01 | 5.9312255E+02 | 895  | 8.9402779E+01 | 5.1995332E+01 | 6.1122364E+02 |
| 846  | 8.4502017E+01 | 5.8932754E+01 | 5.4749299E+02 | 896  | 8.9517024E+01 | 5.1814552E+01 | 6.1101882E+02 |
| 847  | 8.4602320E+01 | 5.9134618E+01 | 5.1350714E+02 | 897  | 8.9631269E+01 | 5.1581100E+01 | 6.3739274E+02 |
| 848  | 8.4702622E+01 | 5.9037179E+01 | 5.7333928E+02 | 898  | 8.9707432E+01 | 5.1383692E+01 | 6.7219004E+02 |
| 849  | 8.4806267E+01 | 5.8656888E+01 | 6.5068964E+02 | 899  | 8.9821676E+01 | 5.1188221E+01 | 6.5210549E+02 |
| 850  | 8.4916600E+01 | 5.7997390E+01 | 7.1649808E+02 | 900  | 8.9928293E+01 | 5.0964456E+01 | 6.7638710E+02 |

|      |               | C             | kW            |      |               | C             | kW            |
|------|---------------|---------------|---------------|------|---------------|---------------|---------------|
| s.no | Time          | THCP          | HRR           | s.no | Time          | THCP          | HRR           |
| 901  | 9.0031095E+01 | 5.0750726E+01 | 6.6108402E+02 | 951  | 9.5026667E+01 | 3.9808785E+01 | 6.5895663E+02 |
| 902  | 9.0133898E+01 | 5.0544255E+01 | 6.5993588E+02 | 952  | 9.5128278E+01 | 3.9820193E+01 | 5.6144171E+02 |
| 903  | 9.0202433E+01 | 5.0378370E+01 | 6.3507458E+02 | 953  | 9.5229890E+01 | 3.9887092E+01 | 5.5183082E+02 |
| 904  | 9.0305235E+01 | 5.0219671E+01 | 5.8878798E+02 | 954  | 9.5331501E+01 | 4.0021887E+01 | 6.1515090E+02 |
| 905  | 9.0408038E+01 | 5.0035020E+01 | 5.6959827E+02 | 955  | 9.5409742E+01 | 4.0211704E+01 | 6.3941756E+02 |
| 906  | 9.0510840E+01 | 4.9846747E+01 | 6.0937108E+02 | 956  | 9.5532692E+01 | 4.0504819E+01 | 6.1444020E+02 |
| 907  | 9.0613642E+01 | 4.9642034E+01 | 6.2957275E+02 | 957  | 9.5605065E+01 | 4.0846251E+01 | 6.0820644E+02 |
| 908  | 9.0716445E+01 | 4.9408958E+01 | 5.9979083E+02 | 958  | 9.5713623E+01 | 4.1232171E+01 | 5.9897340E+02 |
| 909  | 9.0819247E+01 | 4.9135935E+01 | 6.0853306E+02 | 959  | 9.5825801E+01 | 4.1767600E+01 | 6.1426646E+02 |
| 910  | 9.0932330E+01 | 4.8797188E+01 | 6.2317532E+02 | 960  | 9.5905410E+01 | 4.2251076E+01 | 6.2857701E+02 |
| 911  | 9.1007718E+01 | 4.8477144E+01 | 6.0321858E+02 | 961  | 9.6024825E+01 | 4.2699261E+01 | 6.8068609E+02 |
| 912  | 9.1120801E+01 | 4.8139346E+01 | 6.3795759E+02 | 962  | 9.6104435E+01 | 4.3055610E+01 | 7.1775698E+02 |
| 913  | 9.1233884E+01 | 4.7725213E+01 | 6.1923255E+02 | 963  | 9.6223849E+01 | 4.3271807E+01 | 7.0729481E+02 |
| 914  | 9.1309272E+01 | 4.7384395E+01 | 6.6281966E+02 | 964  | 9.6331422E+01 | 4.3367489E+01 | 6.6902147E+02 |
| 915  | 9.1422335E+01 | 4.7063353E+01 | 7.0682697E+02 | 965  | 9.6433075E+01 | 4.3319972E+01 | 6.3157199E+02 |
| 916  | 9.1529758E+01 | 4.6727775E+01 | 7.2459815E+02 | 966  | 9.6500844E+01 | 4.3192242E+01 | 6.1974109E+02 |
| 917  | 9.1625803E+01 | 4.6464280E+01 | 6.3100272E+02 | 967  | 9.6612662E+01 | 4.2955742E+01 | 6.2778584E+02 |
| 918  | 9.1721848E+01 | 4.6249869E+01 | 5.6881297E+02 | 968  | 9.6724479E+01 | 4.2576031E+01 | 6.8027109E+02 |
| 919  | 9.1824296E+01 | 4.6069387E+01 | 5.6591805E+02 | 969  | 9.6840025E+01 | 4.2576031E+01 | 6.6351974E+02 |
| 920  | 9.1901772E+01 | 4.6069387E+01 | 5.8603842E+02 | 970  | 9.6922025E+01 | 4.1679967E+01 | 6.0606883E+02 |
| 921  | 9.2021860E+01 | 4.5835106E+01 | 6.3457503E+02 | 971  | 9.7004024E+01 | 4.1309724E+01 | 5.9415226E+02 |
| 922  | 9.2107084E+01 | 4.5742756E+01 | 7.1069887E+02 | 972  | 9.7135224E+01 | 4.0818940E+01 | 5.9490943E+02 |
| 923  | 9.2226078E+01 | 4.5667629E+01 | 7.4415505E+02 | 973  | 9.7218569E+01 | 4.0341924E+01 | 6.5768236E+02 |
| 924  | 9.2302459E+01 | 4.5628212E+01 | 7.3133304E+02 | 974  | 9.7328554E+01 | 3.9934880E+01 | 6.8191483E+02 |
| 925  | 9.2417032E+01 | 4.5672631E+01 | 6.9231765E+02 | 975  | 9.7435738E+01 | 3.9496111E+01 | 6.5219769E+02 |
| 926  | 9.2531605E+01 | 4.5843369E+01 | 6.4377936E+02 | 976  | 9.7516796E+01 | 3.9142244E+01 | 6.0143990E+02 |
| 927  | 9.2607987E+01 | 4.6055286E+01 | 5.9369266E+02 | 977  | 9.7638383E+01 | 3.8815594E+01 | 6.1730701E+02 |
| 928  | 9.2709283E+01 | 4.6252469E+01 | 6.0163008E+02 | 978  | 9.7719442E+01 | 3.8542438E+01 | 5.7860341E+02 |
| 929  | 9.2810579E+01 | 4.6421073E+01 | 6.0350221E+02 | 979  | 9.7800500E+01 | 3.8381429E+01 | 5.8675764E+02 |
| 930  | 9.2922005E+01 | 4.6457771E+01 | 5.9251367E+02 | 980  | 9.7903532E+01 | 3.8269580E+01 | 6.0274338E+02 |
| 931  | 9.3033431E+01 | 4.6302467E+01 | 6.1265680E+02 | 981  | 9.8006564E+01 | 3.8241529E+01 | 6.5709263E+02 |
| 932  | 9.3131582E+01 | 4.6010429E+01 | 6.4296483E+02 | 982  | 9.8109595E+01 | 3.8331322E+01 | 6.9019812E+02 |
| 933  | 9.3229733E+01 | 4.5632280E+01 | 6.3865229E+02 | 983  | 9.8212627E+01 | 3.8518953E+01 | 6.6853571E+02 |
| 934  | 9.3327884E+01 | 4.5188992E+01 | 6.7097301E+02 | 984  | 9.8325962E+01 | 3.8808747E+01 | 6.7412559E+02 |
| 935  | 9.3435850E+01 | 4.4669196E+01 | 6.5315218E+02 | 985  | 9.8401519E+01 | 3.9186170E+01 | 6.6904180E+02 |
| 936  | 9.3500186E+01 | 4.4231048E+01 | 6.5392256E+02 | 986  | 9.8514854E+01 | 3.9782830E+01 | 6.4980547E+02 |
| 937  | 9.3632073E+01 | 4.3710363E+01 | 6.3206537E+02 | 987  | 9.8628189E+01 | 4.0842982E+01 | 6.7298769E+02 |
| 938  | 9.3702842E+01 | 4.3176928E+01 | 6.5804168E+02 | 988  | 9.8703746E+01 | 4.2042307E+01 | 7.0629813E+02 |
| 939  | 9.3808996E+01 | 4.2742091E+01 | 6.6519844E+02 | 989  | 9.8828414E+01 | 4.3538084E+01 | 6.6625525E+02 |
| 940  | 9.3915150E+01 | 4.2260316E+01 | 6.6360113E+02 | 990  | 9.8901877E+01 | 4.4910701E+01 | 6.4182279E+02 |
| 941  | 9.4016710E+01 | 4.1835641E+01 | 6.2907759E+02 | 991  | 9.9012071E+01 | 4.5967378E+01 | 5.9400121E+02 |
| 942  | 9.4112163E+01 | 4.1471258E+01 | 6.2939628E+02 | 992  | 9.9122265E+01 | 4.6746680E+01 | 5.4899260E+02 |
| 943  | 9.4213775E+01 | 4.1133503E+01 | 6.2503685E+02 | 993  | 9.9232459E+01 | 4.7031251E+01 | 5.4169899E+02 |
| 944  | 9.4315386E+01 | 4.0823399E+01 | 6.0139066E+02 | 994  | 9.9305922E+01 | 4.7004616E+01 | 5.9002088E+02 |
| 945  | 9.4416998E+01 | 4.0553816E+01 | 5.7317051E+02 | 995  | 9.9416116E+01 | 4.6760828E+01 | 6.7266188E+02 |
| 946  | 9.4518609E+01 | 4.0327493E+01 | 5.9547591E+02 | 996  | 9.9537329E+01 | 4.6204022E+01 | 7.0175943E+02 |
| 947  | 9.4620221E+01 | 4.0144306E+01 | 6.3584403E+02 | 997  | 9.9618138E+01 | 4.5593531E+01 | 7.4746202E+02 |
| 948  | 9.4721832E+01 | 4.0005340E+01 | 6.5435328E+02 | 998  | 9.9739351E+01 | 4.4948465E+01 | 7.0843676E+02 |
| 949  | 9.4823444E+01 | 3.9905603E+01 | 6.9342799E+02 | 999  | 9.9808115E+01 | 4.4374224E+01 | 6.5712209E+02 |
| 950  | 9.4925055E+01 | 3.9839965E+01 | 7.3306560E+02 | 1000 | 9.9911259E+01 | 4.3862108E+01 | 5.9113267E+02 |
|      |               |               |               | 1001 | 1.0000000E+02 | 4.3326433E+01 | 5.6535401E+02 |